

**METODE NUMERICE
SI
EXPERIMENTALE**

CUPRINS

Capitolul 1

Ecuatii diferentiale cu derivate partiale.....	3
--	---

Capitolul 2

Calcul cu diferente finite	50
----------------------------------	----

Capitolul 3

Calcul cu elemente finite	58
---------------------------------	----

Capitolul 4

MATCAD Presentare generala	67
----------------------------------	----

Capitolul 5

MATLAB Presentare generala	78
----------------------------------	----

CAPITOLUL 1

ECUAȚII DIFERENȚIALE CU DERIVATE PARȚIALE

1.1. INTRODUCERE

Ecuațiile dinamicii fluidelor constituie expresia *principiilor generale de conservare* completate cu o serie de *relații constitutive* de închidere. Evoluția unui sistem fizic este complet determinată de anumite legi de conservare: *conservarea masei, impulsului și energiei*, deși există proprietăți fizice care nu pot fi exprimate sub formă conservativă (de exemplu, entropia sau presiunea). Majoritatea modelelor matematice ale mecanicii mediilor continue conține ecuații și sisteme de ecuații diferențiale cu derivate parțiale. Deoarece fiecare model reprezintă un anumit fenomen fizic din natură, este foarte importantă înțelegerea semnificației fizice a acestora. Mai mult, analiza proprietăților fizice ale ecuațiilor și sistemelor diferențiale cu derivate parțiale este de o importanță deosebită, având în vedere că integrarea numerică trebuie întotdeauna făcută în concordanță cu acestea. Ecuațiile dinamicii fluidelor sunt ecuații diferențiale care conțin derivate de ordinul întâi sau al doilea în spațiu și doar de ordinul întâi în timp. Fluxurile convective conțin derivate de ordinul întâi, pe când cele difuzive, derivate de ordinul al doilea. Dacă derivatele temporale sunt liniare, cele spațiale pot fi fie liniare, fie neliniare. Cu excepția ecuației potențialului, toate celelalte modele ale dinamicii fluidelor sunt reprezentate de mai mult de o ecuație diferențială, deci de sisteme diferențiale cu derivate parțiale.

Un obiectiv major al acestui capitol îl constituie analiza teoretică a legăturii între ecuațiile și sistemele de ecuații diferențiale cu derivate parțiale și condițiile la limită și inițiale asociate lor, pentru asigurarea formulării unei probleme bine puse. Ansamblul format din ecuațiile cu derivate parțiale și condițiile inițiale și la limită asociate acestora formează o problemă bine pusă din punct de vedere matematic, dacă sunt îndeplinite condițiile: 1) soluția problemei există, 2) soluția problemei este unică, 3) soluția depinde în mod continuu de condițiile inițiale și la limită (Hadamard, [122]).

Asigurarea existenței *soluției numerice* a unei anumite probleme se face, în general, fără dificultate. Există însă și excepții, spre exemplu, în cazul utilizării soluției exacte a ecuației Laplace (soluția de tip sursă), când soluția nu există în punctul în care este poziționată sursa. De regulă, în contextul metodelor numerice, această problemă este evitată prin poziționarea surselor în afara domeniului de calcul.

Cauza uzuală care face ca soluția unei probleme să nu fie unică este neconcordanța între ecuațiile sau sistemele diferențiale cu derivate parțiale și condițiile la limită asociate. Vom analiza, pentru fiecare tip de problemă, (eliptică, parabolică sau hiperbolică) modalitatea de formulare a condițiilor la limită și a condițiilor inițiale pentru asigurarea unicității soluției. Trebuie totuși să facem observația că într-un calcul numeric, pe lângă *condițiile la limită fizice* impuse prin formularea matematică a unei anumite probleme, vor trebui definite și o serie de *condiții la limită numerice*. Acestea pot fi specifice unui anumit algoritm de calcul, sau pot fi mai generale, legate de specificul abordării numerice a unei anumite probleme. Spre exemplu, dacă în formularea matematică a unui model de curgere exterioră putem presupune frontiera domeniului de analiză la o distanță infinită de configurația geometrică analizată, iar pe aceasta presupunem condițiile unei curgeri uniforme, într-un calcul numeric frontiera exterioră a domeniului de calcul va fi întotdeauna la distanță finită, ceea ce necesită definirea unor condiții la limită la distanță finită, condiții care vor depinde de soluția calculată în interiorul domeniului.

Asigurarea unicității soluției numerice este în strânsă legătură cu asigurarea semnificației fizice a acesteia. Există situații, ca în cazul ecuațiilor și sistemelor de ecuații neliniare, când însuși modelul matematic admite soluții multiple. În acest caz este necesară formularea unor condiții suplimentare, exterioare modelului matematic al problemei, pentru ca soluția numerică să aibă relevanță fizică (de exemplu, condiția de entropie).

A treia cerință pentru a avea o problemă bine pusă impune ca variații mici în condițiile inițiale și la limită să conducă la variații mici ale soluției calculate. De regulă, într-un calcul numeric implementarea condițiilor la limită se face aproximativ, și pe lângă condițiile la limită fizice apar și condiții la limită numerice. În consecință, dacă soluția exactă a problemei abordate depinde în mod continuu de condițiile inițiale și la limită, orice eroare în implementarea numerică a acestora se va propaga și în interiorul domeniului afectând acuratețea soluției numerice.

Acest capitol debutează cu o clasificare a ecuațiilor și sistemelor diferențiale din Dinamica fluidelor pe considerente fizice, urmată de prezentarea principalelor ecuații model întâlnite în domeniul mecanicii mediilor continue. Se continuă cu prezentarea proprietăților matematice fundamentale ale ecuațiilor diferențiale cu derivate parțiale de ordinul întâi și de ordinul al doilea. Studiul proprietăților matematice permite formularea corectă a condițiilor la limită și inițiale și determinarea domeniilor de dependență și, respectiv, de influență fizică, care vor sta la baza discretizării numerice. Se vor analiza, pe rând, ecuațiile și sistemele cu derivate parțiale liniare și neliniare, insistându-se asupra proprietăților sistemelor de tip hiperbolic, care prezintă un interes deosebit în domeniul metodelor numerice din Dinamica fluidelor. În finalul capitolului sunt date reprezentările integrale ale soluțiilor ecuațiilor Laplace și Prandtl-Glauert, pe care se bazează metodele de simulare numerică cu singularități utilizate în aerodinamica liniară.

1.2. CLASIFICARE PE BAZA PROPRIETĂȚILOR FIZICE

Modelele matematice ale Dinamicii fluidelor reprezintă o reflectare a proprietăților fizice ale mișcării fluidelor, în condițiile unor ipoteze specifice. Mișcarea unui fluid este rezultatul interacțiunii dintre fluxurile convective, fluxurile difuzive și surse interne sau externe. Raportul dintre cele două tipuri de fluxuri va determina caracterul eliptic, parabolic sau hiperbolic al modelului.

Din punct de vedere fizic, modelele Dinamicii fluidelor descriu două tipuri de fenomene: fenomene de echilibru și fenomene de propagare (transport). Vom prezenta în continuare elementele specifice celor două clase de fenomene, având în vedere implicațiile asupra formulării corecte a unui model matematic.

1.2.1. Fenomene de echilibru

Fenomenele de echilibru sunt descrise de o ecuație (sau sistem de ecuații) cu derivate parțiale pe un domeniu închis, având asociate un set de condiții la limită specifice pe frontiera acestuia (fig. 1.1). Problemele de echilibru sunt numite și *probleme de domeniu*, deoarece soluția în interiorul domeniului depinde de condițiile la limită pe frontiera acestuia. Orice punct de pe frontieră va influența toate punctele din interiorul domeniului. Pentru ca informația de la frontieră să fie recepționată în toate punctele interioare, este necesar ca orice punct interior să influențeze toate celelalte puncte interioare, sau, invers, un punct interior să fie influențat de orice alt punct.

Vom denumi *domeniu de dependență fizică* a unui punct oarecare, domeniul format de mulțimea punctelor care influențează punctul dat. Invers, *domeniul de influență fizică* a unui punct reprezintă mulțimea punctelor influențate de punctul dat. Pentru fenomenele de echilibru, domeniul de dependență fizică al unui punct arbitrar este identic cu domeniul de influență fizică și identic cu domeniul de analiză. Din categoria fenomenelor de echilibru de interes în mecanica mediilor continue putem cita: curgerile potențiale subsonice și staționare, transferul termic conductiv în solide, echilibrul tensiunilor elastice în corpurile rigide etc.

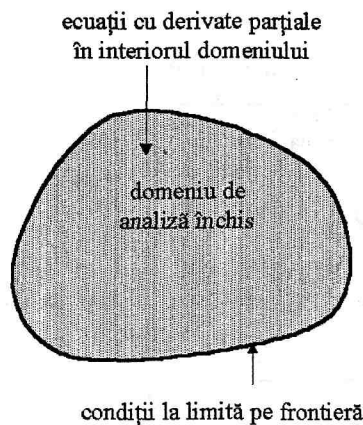


Fig. 1.1. Formularea unei probleme de echilibru.

Din punct de vedere matematic, fenomenele de echilibru sunt fenomene staționare, descrise de ecuații diferențiale de tip eliptic. De remarcat faptul că nu toate fenomenele staționare sunt în același timp și probleme de domeniu (eliptice). Spre exemplu, curgerea potențială staționară în regim supersonic este de tip hiperbolic; mișcarea în stratul limită staționar este de tip parabolic.

1.2.2. Fenomene de propagare

Fenomenele de propagare (sau transport) sunt descrise de ecuații cu derivate parțiale pe un domeniu deschis având asociate un set de condiții inițiale și la limită (fig. 1.2).

Domeniul de analiză, deși poate fi mărginit în timp și spațiu, este *deschis*, deoarece există *porțiuni libere ale frontierei*, în sensul că, pe acestea nu trebuie impuse condiții la limită. Valorile necunoscutele pe frontierele libere sunt determinate de modul cum se dezvoltă soluția în interiorul domeniului. Analiza unui fenomen de transport presupune: cunoașterea stării inițiale (condițiile de start) și/sau a unor condiții la limită pe o serie de segmente ale frontierei. Soluția se va determina în punctele din interiorul domeniului, prin integrarea ecuațiilor cu derivate parțiale, pornind de la condițiile inițiale (sau din secțiunea de start), parcurgându-l în sensul impus de fenomenul de transport și, impunând condițiile la limită corespunzătoare.

Din punct de vedere matematic, fenomenele de propagare sunt reprezentate prin ecuații și sisteme de tip parabolic și hiperbolic. Pentru fenomenele de propagare, domeniile fizice de dependență și, respectiv, influență, ale unui punct arbitrar nu mai sunt identice cu domeniul de calcul; ele vor fi reprezentate de subdomenii închise de o serie de *suprafețe* sau curbe *caracteristice*, în funcție de dimensiunea spațială a problemei și în funcție de direcția și sensul de propagare.

Fenomenele de transport sunt *fenomene nestaționare* (sau *tranzitorii*), caz în care direcția de dezvoltare a soluției este timpul. Există însă și modele staționare în care soluția se dezvoltă preferențial în anumite direcții. Am citat deja mai sus problema stratului limită staționar și modelul potențial staționar în regim supersonic. Pentru astfel de probleme, specificarea condițiilor la limită impune o analiză a propagării informației într-un hiperspațiu spațiu-timp.

1.2.3. Ecuații model în dinamica fluidelor

Mișcarea fluidelor poate fi considerată ca un proces extrem de complex în care coexistă și interacționează diverse fenomene fizice, fiecare dintre acestea caracterizându-se prin mecanisme specifice. Mecanismele prin care un anumit fenomen apare și se dezvoltă sunt reflectate printr-o serie de mărimi specifice, numite *scări* (scări de lungimi, de viteze și de timp). Dacă *scările de timp* ale diverselor procese fizice au același ordin de mărime, atunci acestea vor interacționa între ele, fiind prezente simultan în ecuațiile care descriu fenomenul respectiv.

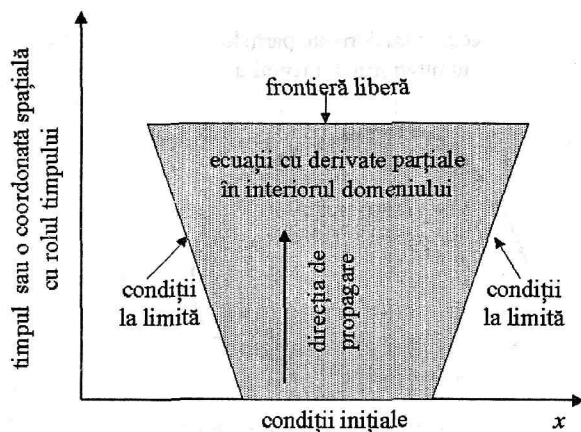


Fig. 1.2. Formularea unei probleme de propagare.

Mișcarea unui fluid este rezultatul unor interacțiuni complexe între procesele de transport convectiv, de difuzie vâscoasă și de difuzie turbulentă la care se adaugă efectul „surselor” de impuls și energie. Complexitatea proceselor fizice de bază, dar mai ales complexitatea interacțiunilor dintre acestea, conduc la modele matematice diferențiale cu derivate parțiale neliniare, cu structuri foarte complicate. Integrarea acestora *se face în funcție de proprietățile lor matematice*. Este deci utilă analiza proprietăților matematice, pe modele matematice mai simple, care să aproximeze, la un anumit nivel de precizie, fie fenomenul mișcării unui fluid, fie un anumit proces fizic ce intervine în acest fenomen.

Din punct de vedere numeric, ecuațiile model servesc la conceperea și dezvoltarea unor tipuri de scheme de discretizare care să fie în concordanță cu proprietățile fizice ale procesului sau fenomenului analizat. Ecuațiile model simple se dovedesc foarte utile și sub aspectul *probării directe* a convergenței diverșilor algoritmi numerici, deoarece pentru multe dintre aceste modele se cunoaște soluția exactă. Dintre ecuațiile model cu relevanță în mecanica mediilor continue și, în particular, în dinamica fluidelor, menționăm:

1. Ecuația liniară de transport convectiv. Transportul convectiv al mărimii scalare u , cu viteza constantă a , este descris de ecuația:

$$\frac{\partial u}{\partial t} + a \frac{\partial u}{\partial x} = 0, \quad a = \text{const.} \quad (1.1)$$

Această ecuație, în mecanica mediilor continue, modelează propagarea cu viteza constantă, a , a *unelor unidimensionale*.

În dinamica fluidelor, ecuația (1.1) modelează transportul convectiv al unui scalar pasiv, spre exemplu, termenul de transport al temperaturii din ecuația energiei într-o curgere incompresibilă (în meteorologie ea este cunoscută sub denumirea de ecuație de *advecție*). Aceasta servește, de asemenea, ca model liniar (sau liniarizat) pentru termenii de transport convectiv din ecuațiile Euler ale fluidului perfect.

2. Ecuația de difuzie. Difuzia scalarului u , sub efectul unei „difuzivități”, α , este reprezentată matematic de ecuația:

$$\frac{\partial u}{\partial t} = \alpha \frac{\partial^2 u}{\partial x^2}. \quad (1.2)$$

Această ecuație modelează fenomene pur difuzive, care se petrec la scară submacroscopică. În mecanica mediilor continue aceste fenomene sunt reprezentate, la scara macroscopică, prin *relații constitutive, empirice*, cum ar fi legile Fourier, Fick, pentru transferul de căldură și masă, și ipotezele Stokes în dinamica fluidelor.

Ecuația (1.2) este numită *ecuația conducției termice nestaționare* și unidimensionale în transferul de căldură. În dinamica fluidelor, aceasta este modelul pentru mișcarea pur difuzivă a unui fluid, fenomen care se petrece la numere Reynolds tinzând către zero (mișcare de tip Stokes). Spre exemplu, dezvoltarea stratului limită impulsiv pe o placă plană este modelată de o ecuație de acest tip.

3. **Ecuatia de conservare neliniară.** Modelul neliniar cel mai simplu pentru *legile de conservare*, în care sunt exprimate ecuațiile generale ce descriu mișcarea fluidelor, are forma:

$$\frac{\partial u}{\partial t} + \frac{\partial f(u)}{\partial x} = 0. \quad (1.3)$$

Funcția f poartă numele de flux al scalarului u . Pentru a avea relevanță fizică în modelarea formării și propagării discontinuităților (unde de șoc sau expansiune), fluxul se presupune a fi o funcție convexă, adică satisface condiția:

$$\frac{\partial^2 f}{\partial u^2} > 0. \quad (1.4)$$

În particular, dacă:

$$f(u) = \frac{u^2}{2}, \quad (1.5)$$

se obține *ecuația Burgers nevâscoasă*:

$$\frac{\partial u}{\partial t} + u \frac{\partial u}{\partial x} = 0, \quad (1.6)$$

care reprezintă un model neliniar unidimensional pentru *ecuațiile Euler*, fără gradient de presiune.

4. **Ecuatia liniară de difuzie-convecție.** Modelul liniar pentru studiul interacțiunilor dintre transportul scalarului pasiv u cu viteza constantă a și difuzia acestuia sub efectul unei „vâscozități moleculare” ν este:

$$\frac{\partial u}{\partial t} + a \frac{\partial u}{\partial x} = \nu \frac{\partial^2 u}{\partial x^2}. \quad (1.7)$$

Deoarece transportul convectiv este un proces *orientat spațial*, iar difuzia moleculară un proces *simetric* în spațiu, modelul (1.7) este util în analiza relației *simetric-disimetric* în propagarea informației. De remarcat faptul că această ecuație constituie cel mai simplu model pentru ecuațiile Navier-Stokes.

5. **Ecuatia de conservare cu vâscozitate.** Modelul neliniar al combinației dintre procesul de transport convectiv și cel de difuzie vâscoasă, constituind o aproximație unidimensională a ecuațiilor Navier-Stokes fără termen sursă (gradient nul de presiune), are forma:

$$\frac{\partial u}{\partial t} + \frac{\partial f(u)}{\partial x} = \frac{\partial}{\partial x} \left(\nu \frac{\partial u}{\partial x} \right). \quad (1.8)$$

Dacă fluxul $f(u)$ este luat de forma (1.5) atunci se obține *ecuația Burgers. Ecuația completă Burgers*:

$$\frac{\partial u}{\partial t} + u \frac{\partial u}{\partial x} = \nu \frac{\partial^2 u}{\partial x^2}, \quad (1.9)$$

este o ecuație de tip parabolic, care poate servi ca model al ecuațiilor stratului limită sau al ecuațiilor parabolizate Navier-Stokes, și chiar al ecuațiilor complete Navier-Stokes.

Acest model neliniar permite studiul interacțiunilor dintre procesul de difuzie și cel de convecție. El permite totodată o analiză comparativă între difuzia moleculară și cea *artificială*, care apare inerent într-o discretizare corectă a termenului de convecție.

6. **Ecuatia undelor.** Ecuația:

$$\frac{\partial^2 u}{\partial t^2} = \alpha^2 \frac{\partial^2 u}{\partial x^2}, \quad (1.10)$$

reprezintă modelul pentru propagarea simetrică în spațiu a undelor unidimensionale. Deși ecuațiile (1.1) și (1.10) sunt cunoscute practic sub aceeași denumire de „ecuații ale undelor unidimensionale”, între cele două ecuații există diferențe fundamentale. Astfel, undele descrise de (1.1) se propagă în spațiu într-un *sens impus de semnul vitezei a* , pe când undele descrise de (1.10) se propagă simetric (atât în sensul pozitiv, cât și în cel negativ al axei x). Observând că ecuația (1.10) se poate scrie astfel:

$$\left(\frac{\partial}{\partial t} - \alpha \frac{\partial}{\partial x} \right) \left(\frac{\partial}{\partial t} + \alpha \frac{\partial}{\partial x} \right) u = 0, \quad (1.11)$$

putem interpreta unda descrisă de aceasta ca o combinație între două unde de tipul (1.1), una ce se propagă în sens pozitiv și cealaltă în sens negativ, ambele având același modul al vitezei de propagare.

În dinamica fluidelor, ecuația (1.10) modelează propagarea undelor acustice (de presiune). De exemplu, *potențialul de perturbație* într-o mișcare nestaționară satisface o ecuație de acest tip. În mecanică, ecuația (1.10) este cunoscută ca *ecuația coardei vibrante*.

7. Ecuația Laplace generalizată. Ecuația Laplace generalizată este modelul pentru o serie de fenomene de echilibru din mecanica mediilor continue: transferul conductiv de căldură în solide în regim staționar, mișcări potențiale incompresibile, distribuția presiunilor (ecuația Reynolds) în problemele de lubrificație hidrodinamică etc. Forma generală a ecuației Laplace este:

$$\frac{\partial}{\partial x} \left(k \frac{\partial u}{\partial x} \right) + \frac{\partial}{\partial y} \left(k \frac{\partial u}{\partial y} \right) + \frac{\partial}{\partial z} \left(k \frac{\partial u}{\partial z} \right) = 0, \quad (1.12)$$

unde $k(x, y, z)$ este o funcție dată, pozitivă. În particular, pentru $k = \text{const.} \neq 0$, se obține ecuația Laplace clasică:

$$\Delta u = \frac{\partial^2 u}{\partial x^2} + \frac{\partial^2 u}{\partial y^2} + \frac{\partial^2 u}{\partial z^2} = 0. \quad (1.13)$$

8. Ecuația Prandtl-Glauert se regăsește în aerodinamica liniară (modelul potențialului de perturbație în regim supersonic) și are forma:

$$\frac{\partial^2 u}{\partial x^2} = \frac{\partial^2 u}{\partial y^2} + \frac{\partial^2 u}{\partial z^2}. \quad (1.14)$$

9. Ecuația Poisson generalizată. Aceasta este:

$$\frac{\partial}{\partial x} \left(k \frac{\partial u}{\partial x} \right) + \frac{\partial}{\partial y} \left(k \frac{\partial u}{\partial y} \right) + \frac{\partial}{\partial z} \left(k \frac{\partial u}{\partial z} \right) = f(x, y, z), \quad (1.15)$$

și reprezintă, în esență, o ecuație Laplace completată cu termenul sursă, $f(x, y, z)$. Ea modelează transferul de căldură în solide cu surse interne de căldură în regim staționar, sau intensitatea câmpului electric într-un domeniu cu densitatea de sarcină $f(x, y, z)$.

10. Ecuația Helmholtz. Modelul care guvernează distribuția spațială a amplitudinii undelor armonice, caz în care k reprezintă frecvența acestor unde, este:

$$\Delta u + k^2 u = 0. \quad (1.16)$$

Într-adevăr, dacă în ecuația undelor (1.10) considerăm cazul *oscilațiilor armonice*:

$$u = \hat{u}(x) e^{ikt}, \quad (1.17)$$

în care $\hat{u}(x)$ reprezintă amplitudinea complexă a undei, iar ω pulsația acesteia, vom obține:

$$-k^2 \hat{u} = \frac{\partial^2 \hat{u}}{\partial x^2}. \quad (1.18)$$

Evident, în cazul tridimensional se obține o ecuație de tipul (1.16). Putem concluziona că fenomenele fizice modelate de ecuația Helmholtz sunt aceleași cu cele modelate prin ecuația undelor, introducând suplimentar ipoteza oscilațiilor armonice. Aplicațiile curente vizează problema propagării undelor acustice sau a mișcării oscilatorii armonice nestaționare, în ipoteza micilor perturbații.

1.3. ECUAȚII LINIARE DE ORDINUL ÎNTÂI

Vom prezenta în cele ce urmează cele mai importante proprietăți matematice ale ecuațiilor și sistemelor cu derivate parțiale care sunt de interes în dinamica fluidelor. S-a preferat clasificarea matematică pe baza caracteristicilor, metodă pe care o considerăm cea mai semnificativă în contextul analizei numerice ulterioare. Deși, de regulă, prezentarea clasificării matematice se face având ca punct de referință teoria ecuațiilor diferențiale cu derivate parțiale de ordin doi în două variabile, am preferat o analiză pe modelele cu derivate parțiale cu relevanță în dinamica fluidelor, care să permită ulterior o aplicare directă la modelele matematice complete din acest domeniu.

O dezvoltare corespunzătoare se va da analizei proprietăților ecuațiilor și sistemelor diferențiale neliniare de tip hiperbolic. Prezentarea se va face în strânsă corelație cu modelele neliniare ale dinamicii fluidelor, modelul Euler și modelul Navier-Stokes. Astfel, se vor defini o serie de noțiuni de bază în teoria ecuațiilor hiperbolice neliniare, cum ar fi: soluția slabă, unicitatea soluției slabe, condiția de entropie, relațiile Hugoniot-Rankine, formarea undelor de șoc, unde simple etc. Ca aplicație concretă am ales ecuația Burgers nevâscoasă, care își va dovedi utilitatea în dezvoltarea algoritmilor numerici dedicați integrării ecuațiilor hiperbolice neliniare.

1.3.1. Ecuația liniară de transport convectiv unidimensional

Modelul matematic cel mai simplu pentru fenomenul de transport convectiv este reprezentat de ecuația diferențială cu derivate parțiale de ordinul întâi, de forma:

$$\frac{\partial u}{\partial t} + a \frac{\partial u}{\partial x} = 0, \quad t > 0, \quad -\infty < x < +\infty, \quad (1.19)$$

unde $a = \text{const.}$ reprezintă viteza de transport.

Condiția inițială asociată acestei ecuații este:

$$t = 0, \quad u(x, 0) = u_0(x). \quad (1.20)$$

Ecuația (1.19) este de tip *hiperbolic*, iar soluția ei generală este:

$$u(x, t) = f(x - at), \quad (1.21)$$

unde f este o funcție arbitrară de clasă C^1 (derivabilă și cu derivata continuă). Pentru a specifica funcția f , se va impune condiția inițială (1.20):

$$t = 0, \quad u(x, 0) = u_0(x) = f(x), \quad (1.22)$$

și se obține soluția:

$$u(x, t) = u_0(x - at). \quad (1.23)$$

Observații. 1) Soluția (1.23) depinde în mod continuu de condiția inițială.

2) Relația (1.23) pune în evidență conservarea mărimii u în lungul unor drepte în hyperspațiul (x, t) , definite de:

$$x - at = \text{const.}, \quad (1.24)$$

care poartă numele de *caracteristici*.

Aceeași concluzie se poate obține și din analiza ecuației diferențiale (1.19). Astfel, se cunoaște că *derivata totală* a unei funcții $f(x, y, z, t)$ în lungul unei suprafețe $S(x_s, t) = \text{const.}$ este dată de ecuația

$$\frac{df}{dt} = \frac{\partial f}{\partial t} + (C \nabla) f, \quad (1.25)$$

unde C este viteza locală a suprafeței S , $C = dx_s/dt$. Deci ecuația (1.19) poate fi privită ca derivata totală a mărimii u în lungul unei drepte $S(x, t) = \text{const.}$, având viteza:

$$\frac{dx}{dt} = a, \quad (1.26)$$

și poate fi rescrisă sub forma unei ecuații diferențiale ordinare:

$$\frac{du}{dt} = 0, \quad (1.27)$$

care pune în evidență din nou *conservarea mărimii u în lungul unei caracteristici* definite de relația (1.26). Integrând ecuația diferențială (1.26), obținem:

$$S(x, t) = x - at = \text{const.}, \quad (1.28)$$

iar, din ecuația (1.27), rezultă, având în vedere și condiția inițială (1.20):

$$u[S(x, t)] = \text{const.}, \quad u(x, t) = u_0(x - at). \quad (1.29)$$

O dezvoltare corespunzătoare se va da analizei proprietăților ecuațiilor și sistemelor diferențiale neliniare de tip hiperbolic. Prezentarea se va face în strânsă corelație cu modelele neliniare ale dinamicii fluidelor, modelul Euler și modelul Navier-Stokes. Astfel, se vor defini o serie de noțiuni de bază în teoria ecuațiilor hiperbolice neliniare, cum ar fi: soluția slabă, unicitatea soluției slabe, condiția de entropie, relațiile Hugoniot-Rankine, formarea undelor de șoc, unde simple etc. Ca aplicație concretă am ales ecuația Burgers nevâscoasă, care își va dovedi utilitatea în dezvoltarea algoritmilor numerici dedicați integrării ecuațiilor hiperbolice neliniare.

1.3.1. Ecuația liniară de transport convectiv unidimensional

Modelul matematic cel mai simplu pentru fenomenul de transport convectiv este reprezentat de ecuația diferențială cu derivate parțiale de ordinul întâi, de forma:

$$\frac{\partial u}{\partial t} + a \frac{\partial u}{\partial x} = 0, \quad t > 0, \quad -\infty < x < +\infty, \quad (1.19)$$

unde $a = \text{const.}$ reprezintă viteza de transport.

Condiția inițială asociată acestei ecuații este:

$$t = 0, \quad u(x, 0) = u_0(x). \quad (1.20)$$

Ecuația (1.19) este de *tip hiperbolic*, iar soluția ei generală este:

$$u(x, t) = f(x - at), \quad (1.21)$$

unde f este o funcție arbitrară de clasă C^1 (derivabilă și cu derivata continuă). Pentru a specifica funcția f , se va impune condiția inițială (1.20):

$$t = 0, \quad u(x, 0) = u_0(x) = f(x), \quad (1.22)$$

și se obține soluția:

$$u(x, t) = u_0(x - at). \quad (1.23)$$

Observații. 1) Soluția (1.23) depinde în mod continuu de condiția inițială.

2) Relația (1.23) pune în evidență conservarea mărimii u în lungul unor drepte în hyperspațiul (x, t) , definite de:

$$x - at = \text{const.}, \quad (1.24)$$

care poartă numele de *caracteristici*.

Aceeași concluzie se poate obține și din analiza ecuației diferențiale (1.19). Astfel, se cunoaște că *derivata totală* a unei funcții $f(x, y, z, t)$ în lungul unei suprafețe $S(\mathbf{x}_s, t) = \text{const.}$ este dată de ecuația

$$\frac{df}{dt} = \frac{\partial f}{\partial t} + (\mathbf{C} \nabla) f, \quad (1.25)$$

unde \mathbf{C} este viteza locală a suprafeței S , $\mathbf{C} = d\mathbf{x}_s/dt$. Deci ecuația (1.19) poate fi privită ca derivata totală a mărimii u în lungul unei drepte $S(x, t) = \text{const.}$, având viteza:

$$\frac{dx}{dt} = a, \quad (1.26)$$

și poate fi rescrisă sub forma unei ecuații diferențiale ordinare:

$$\frac{du}{dt} = 0, \quad (1.27)$$

care pune în evidență din nou *conservarea mărimii u în lungul unei caracteristici* definite de relația (1.26). Integrând ecuația diferențială (1.26), obținem:

$$S(x, t) = x - at = \text{const.}, \quad (1.28)$$

iar, din ecuația (1.27), rezultă, având în vedere și condiția inițială (1.20):

$$u[S(x, t)] = \text{const.}, \quad u(x, t) = u_0(x - at). \quad (1.29)$$

Deși rezultatul analitic este evident același, vom observa totuși că, din ecuația (1.27), putem să desprindem concluzii foarte utile:

a) din punct de vedere matematic: *prin proiectarea ecuației hiperbolice pe suprafețele caracteristice se pot pune în evidență o serie de proprietăți de conservativitate;*

b) din punct de vedere numeric: *ecuația diferențială cu derivate parțiale (1.19) poate fi integrată ca o ecuație diferențială ordinară într-o grilă de calcul definită de curbele caracteristice $\frac{dx}{dt} = a$.*

3) În final, putem să facem o analiză Fourier a ecuației (1.19), posibilitate sugerată de caracterul conservativ al mărimii u în lungul caracteristicilor.

Conform definiției, *transformata Fourier pe continuu* a funcției $u(x, t)$ este (Șabac, [258]):

$$\hat{u}(k, \omega) = \int_{-\infty}^{+\infty} \int_0^{\infty} u(x, t) e^{-ikx} e^{i\omega t} dx dt \stackrel{\text{notație}}{=} F(u), \quad (1.30)$$

având proprietățile:

$$F\left(\frac{\partial u}{\partial x}\right) = ik\hat{u}, \quad F\left(\frac{\partial u}{\partial t}\right) = -i\omega\hat{u}, \quad (1.31)$$

unde $i = \sqrt{-1}$. Aplicând transformata Fourier ecuației (1.19) vom obține *ecuația omogenă*:

$$(-\omega + ka)\hat{u} = 0, \quad (1.32)$$

iar *condiția de existență a unei soluții nebanale* conduce la *ecuația caracteristică*:

$$\omega = ka. \quad (1.33)$$

Soluția $u(x, t)$ se va obține aplicând *transformata Fourier inversă*:

$$u(x, t) = \int_{-\infty}^{+\infty} \hat{u}(k) e^{ik(x-at)} dk, \quad (1.34)$$

unde amplitudinile $\hat{u}(k)$ se găsesc din condiția inițială:

$$u(x, 0) = u_0(x) = \int_{-\infty}^{+\infty} \hat{u}(k) e^{ikx} dk \rightarrow \hat{u}(k) = \int_{-\infty}^{+\infty} u_0(x) e^{-ikx} dx. \quad (1.35)$$

Înlocuind (1.35) în expresia soluției generale (1.34), rezultă:

$$u(x, t) = \int_{-\infty}^{+\infty} \int_{-\infty}^{+\infty} u_0(x) e^{-ikx} e^{ik(x-at)} dk dx = \int_{-\infty}^{+\infty} u_0(x) e^{-ikat} dk = u_0(x - at). \quad (1.36)$$

Din punct de vedere teoretic și numeric este mult mai util să considerăm *transformata Fourier discretă* (Fletcher, [104]). În această situație, se va considera soluția descompusă *într-o serie Fourier* de forma:

$$u(x, t) = \sum_{i=-\infty}^{+\infty} \sum_{j=-\infty}^{+\infty} \hat{u}_{ij} e^{ik_i x} e^{-i\omega_j t}. \quad (1.37)$$

Bazându-ne pe liniaritatea ecuației, vom considera doar *o armonică* din seria de mai sus:

$$u(x, t) = \hat{u} e^{i(kx - \omega t)}. \quad (1.38)$$

Soluția de forma (1.38) poate fi interpretată ca o undă având amplitudinea complexă \hat{u} , numărul de undă k și pulsația ω . Introducând *unda* (1.38) în ecuația (1.19), obținem ecuația de *valori proprii* (1.32), care pune în evidență legătura dintre numărul de undă k și pulsația ω .

Soluția (1.38) devine:

$$u(x, t) = \hat{u} e^{ik(x-at)}. \quad (1.39)$$

Pentru determinarea amplitudinii \hat{u} vom impune condiția inițială:

$$u(x, 0) = u_0(x) = \hat{u}e^{ikx}, \quad (1.40)$$

de unde rezultă:

$$\hat{u} = u_0(x)e^{-ikx}. \quad (1.41)$$

Se pune astfel în evidență că: *dacă se consideră o descompunere Fourier (sau în unde simple) a condiției inițiale, evidențiată de relația (1.41), determinarea soluției ecuației hiperbolice (1.19) poate fi asimilată cu analiza propagării acestor unde pe direcțiile caracteristice date de ecuația caracteristică (1.32).* Defazajul undei este $\phi = at$, de unde rezultă că a poate fi interpretat ca fiind viteza de fază a undei elementare.

Concluzii. Analiza Fourier permite:

- a) punerea în evidență a direcțiilor caracteristice ca o condiție a existenței unei descompuneri a soluției în unde simple;
- b) introducerea conceptului de propagare (sau transport) a unor unde simple în lungul direcțiilor caracteristice, concept foarte apropiat de semnificația fizică a ecuației diferențiale; reamintim că, din punct de vedere fizic, ecuația (1.19) reprezintă transportul convectiv al mărimii scalare u cu o viteză de convecție constantă \mathbf{a} ;
- c) introducerea conceptului de reconstrucție a soluției unei ecuații diferențiale prin suprapunerea unor undelor simple;
- d) extinderea directă pentru cazul multidimensional sau pentru sisteme diferențiale cu derivate parțiale.

1.3.2. Ecuația liniară de transport convectiv multidimensional

Fie ecuația de transport a mărimii scalare $u(x, y, z, t)$:

$$\frac{\partial u}{\partial t} + \mathbf{a} \nabla u = 0, \quad t > 0, \quad -\infty < x, y, z < +\infty, \quad (1.42)$$

unde:

$$\nabla = \frac{\partial}{\partial x} \mathbf{i} + \frac{\partial}{\partial y} \mathbf{j} + \frac{\partial}{\partial z} \mathbf{k}, \quad \mathbf{a} = a_x \mathbf{i} + a_y \mathbf{j} + a_z \mathbf{k}, \quad (1.43)$$

$\mathbf{i}, \mathbf{j}, \mathbf{k}$ fiind versorii direcțiilor carteziene x, y, z . Condiția inițială asociată ecuației (1.42) este:

$$t = 0, \quad u(x, y, z, t) = u_0(x, y, z). \quad (1.44)$$

Vom aplica *analiza Fourier* pentru studiul soluționării acestei ecuații, deoarece constituie un exemplu foarte util pentru generalizarea metodei de la cazul unidimensional la cel multidimensional. Soluția $u(x, y, z, t)$ se consideră de forma unei unde:

$$u(x, y, z, t) = \hat{u}e^{i(d_x x + d_y y + d_z z - \omega t)} = \hat{u}e^{i(\mathbf{a} \mathbf{x} - \omega t)}, \quad (1.45)$$

unde ω este pulsația, iar d_x, d_y, d_z reprezintă numerele de undă asociate direcțiilor carteziene. Am introdus mai sus vectorul de undă \mathbf{d} și vectorul de poziție \mathbf{x} :

$$\mathbf{d} = d_x \mathbf{i} + d_y \mathbf{j} + d_z \mathbf{k}, \quad \mathbf{x} = x \mathbf{i} + y \mathbf{j} + z \mathbf{k}. \quad (1.46)$$

Înlocuind (1.45) în ecuația (1.42), se obține ecuația omogenă:

$$(-\omega + \mathbf{d} \mathbf{a}) \hat{u} = 0, \quad (1.47)$$

și, din condiția de soluție nebanală pentru ecuația de mai sus, *ecuația caracteristică*:

$$\omega = \mathbf{d} \mathbf{a}, \quad (1.48)$$

care pune în evidență *caracterul hiperbolic* al ecuației considerate. Soluția corespunzătoare undei elementare se poate scrie sub forma:

$$u(x, y, z, t) = \hat{u}e^{i\mathbf{d}(\mathbf{x} - \mathbf{a}t)}. \quad (1.49)$$

Pentru determinarea amplitudinii \hat{u} vom impune condiția inițială (1.44):

$$\hat{u} = u_0(x, y, z)e^{-ida}. \quad (1.50)$$

Concluziile pe care le-am prezentat anterior pentru cazul unidimensional rămân în continuare valabile și la cazul tridimensional. Astfel, se constată că unda care se propagă în direcția \mathbf{d} are viteza de fază \mathbf{a} . De asemenea, vom remarca faptul că, ținând seamă de definiția derivatei în lungul unei suprafețe (1.25), putem să considerăm ecuația (1.42) de forma:

$$\frac{du}{dt} = 0, \quad (1.51)$$

în lungul *suprafeței caracteristice* $S(\mathbf{x}_s, t) = \text{const.}$, definită de ecuația diferențială:

$$\frac{d\mathbf{x}_s}{dt} = \mathbf{a}. \quad (1.52)$$

Integrând această ecuație, obținem reprezentarea parametrică a suprafeței caracteristice:

$$\mathbf{x}_s = \mathbf{a}(t - t_P) + \mathbf{x}_P, \quad (1.53)$$

unde \mathbf{x}_P și t_P reprezintă coordonatele punctului arbitrar $P(\mathbf{x}_P, t_P)$ din hyperspațiul (x, y, z, t) . Din relația (1.48) este evident că produsul scalar între vectorul $(\mathbf{d}, -\omega)$ și vectorul $(\mathbf{a}, 1)$ este nul, ceea ce pune în evidență ortogonalitatea acestora.

1.4. SISTEME LINIARE DE ORDINUL ÎNTÂI

Fie *partea omogenă* a unui sistem diferențial cu derivate parțiale de ordinul întâi:

$$\frac{\partial \mathbf{U}}{\partial t} + \mathbf{A}_x \frac{\partial \mathbf{U}}{\partial x} + \mathbf{A}_y \frac{\partial \mathbf{U}}{\partial y} + \mathbf{A}_z \frac{\partial \mathbf{U}}{\partial z} = 0, \quad (1.54)$$

unde *vectorul necunoscută este*:

$$\mathbf{U} = [u_1 \ u_2 \ \dots \ u_m]^T, \quad (1.55)$$

iar *matricele constante* $\mathbf{A}_x, \mathbf{A}_y, \mathbf{A}_z$ *sunt matrice pătrate de dimensiune* $(m \times m)$. Condițiile inițiale asociate sistemului sunt:

$$t = 0, \quad \mathbf{U}(x, y, z, t) = \mathbf{U}_0(x, y, z). \quad (1.56)$$

Dacă vom defini:

$$\mathbf{A} = \mathbf{A}_x \mathbf{i} + \mathbf{A}_y \mathbf{j} + \mathbf{A}_z \mathbf{k}, \quad (1.57)$$

atunci sistemul (1.54) poate fi scris sub forma:

$$\frac{\partial \mathbf{U}}{\partial t} + (\mathbf{A} \nabla) \mathbf{U} = 0. \quad (1.58)$$

Din punct de vedere matematic și numeric, cea mai utilă metodă de analiză a tipului sistemului diferențial are la bază *analiza Fourier*, care se pretează la interpretări fizice directe prin noțiunile de *suprafață caracteristică și propagare a undelor simple*.

Astfel, se caută *soluția acestui sistem de forma unei unde plane* (1.45):

$$\mathbf{U} = \hat{\mathbf{U}} e^{i(d_x x + d_y y + d_z z - \omega t)} = \hat{\mathbf{U}} e^{i(\mathbf{d} \cdot \mathbf{r} - \omega t)}, \quad (1.59)$$

unde:

$$\hat{\mathbf{U}} = [\hat{u}_1 \ \hat{u}_2 \ \dots \ \hat{u}_m]^T, \quad (1.60)$$

reprezintă *vectorul amplitudinilor complexe* (sau, simplu, *amplitudinea complexă*).

Pulsația unde este ω , iar d_x, d_y, d_z reprezintă *numerele de undă* asociate direcțiilor spațiale sau componentele *vectorului de undă* \mathbf{d} :

$$\mathbf{d} = d_x \mathbf{i} + d_y \mathbf{j} + d_z \mathbf{k}. \quad (1.61)$$

- de tip *hiperbolic*, când toate valorile proprii ale matricei \mathbf{K} sunt reale, iar vectorii proprii corespunzători sunt liniar independenți;
- de tip *parabolic*, dacă toate valorile proprii sunt reale, dar vectorii proprii nu sunt liniar independenți;
- de tip *eliptic*, când toate valorile proprii sunt complex conjugate;
- de tip *hibrid*, în cazul în care un număr de valori proprii sunt reale, dar există și valori proprii complexe conjugate.

1.5. SISTEME HIPERBOLICE LINIARE

În cazul hiperbolic, deoarece vectorii proprii sunt liniar independenți, *matricea \mathbf{K} se poate diagonaliza*. Într-adevăr, dacă vom nota cu $\mathbf{r}^{(i)}$ vectorul propriu corespunzător valorii proprii λ_i , $i = 1, 2, \dots, m$, putem construi o matrice \mathbf{R} ale cărei coloane sunt vectorii proprii ai matricei \mathbf{K} :

$$\mathbf{R} = [\mathbf{r}^{(1)} \quad \mathbf{r}^{(2)} \quad \dots \quad \mathbf{r}^{(m)}]. \quad (1.69)$$

Coloanele matricei \mathbf{R} fiind liniar independente, matricea este nesară, și au loc relațiile:

$$\mathbf{\Lambda} = \mathbf{R}^{-1}\mathbf{K}\mathbf{R}, \text{ sau } \mathbf{K} = \mathbf{R}\mathbf{\Lambda}\mathbf{R}^{-1}, \quad (1.70)$$

unde $\mathbf{\Lambda}$ este matricea diagonală a valorilor proprii λ_i , $i = 1, 2, \dots, m$:

$$\mathbf{\Lambda} = \begin{bmatrix} \lambda_1 & & & \\ & \lambda_2 & & \\ & & \ddots & \\ & & & \lambda_m \end{bmatrix}. \quad (1.71)$$

Relațiile (1.70) pot fi interpretate ca o proiecție a matricei \mathbf{K} în baza reprezentată de vectorii proprii. Putem deci să ne punem problema proiectării, în această bază, a sistemului diferențial (1.58). Astfel, înmulțind la stânga egalității cu \mathbf{R}^{-1} , sistemul (1.58) devine:

$$\mathbf{R}^{-1}\frac{\partial \mathbf{U}}{\partial t} + [(\mathbf{R}^{-1}\mathbf{A}\mathbf{R})\mathbf{R}^{-1}\nabla]\mathbf{U} = 0. \quad (1.72)$$

Cum \mathbf{R}^{-1} este o *matrice constantă*, notând:

$$\mathbf{W} = \mathbf{R}^{-1}\mathbf{U}, \quad (1.73)$$

sistemul (1.72) devine:

$$\frac{\partial \mathbf{W}}{\partial t} + [(\mathbf{R}^{-1}\mathbf{A}\mathbf{R})\nabla]\mathbf{W} = 0. \quad (1.74)$$

Vectorul \mathbf{W} definit de (1.73) reprezintă *vectorul variabilelor caracteristice*, iar ecuațiile (1.74) poartă numele de *relații de compatibilitate*. Acestea pot fi interpretate ca fiind proiecția sistemului pe suprafețele de undă $S(\mathbf{x}, t) = d\mathbf{a} - \omega t = \text{const.}$

Condițiile inițiale asociate sistemului (1.74) se obțin aplicând aceeași transformare relației (1.56):

$$t = 0, \quad \mathbf{W}(x, y, z, 0) = \mathbf{R}^{-1}\mathbf{U}_0(x, y, z) \underset{\text{notație}}{=} \mathbf{W}_0(x, y, z). \quad (1.75)$$

În general, matricea sistemului caracteristic, $\mathbf{R}^{-1}\mathbf{A}\mathbf{R}$, *nu este o matrice diagonală* deoarece matricea vectorilor proprii \mathbf{R} diagonalizează matricea \mathbf{K} (1.70), care reprezintă o combinație liniară a matricelor \mathbf{A}_x , \mathbf{A}_y , \mathbf{A}_z .

Pentru ca matricea $\mathbf{R}^{-1}\mathbf{A}\mathbf{R}$ să fie diagonală, ar trebui ca matricea \mathbf{R} să diagonalizeze fiecare dintre matricele \mathbf{A}_x , \mathbf{A}_y sau \mathbf{A}_z , ceea ce nu este posibil. Într-un singur caz matricea $\mathbf{R}^{-1}\mathbf{A}\mathbf{R}$ este diagonală, și anume în cazul unidimensional.

Odată determinate variabilele caracteristice w_i , $i = 1, 2, \dots, m$, din relațiile de compatibilitate (1.74) se poate calcula vectorul necunoscută \mathbf{U} :

$$\mathbf{U} = \mathbf{R}\mathbf{W}, \quad \mathbf{U} = \sum_{i=1}^m \mathbf{r}^{(i)} w_i. \quad (1.76)$$

Deoarece, în cazul hiperbolic, vectorii proprii $\mathbf{r}^{(i)}$, formează un sistem de vectori liniar independenți, atunci ei pot fi considerați ca formând o bază în spațiul vectorial de dimensiune m al necunoscutei \mathbf{U} .

Cum orice vector din acest spațiu poate fi reprezentat ca o combinație liniară unică a vectorilor $\mathbf{r}^{(i)}$, și vectorul \mathbf{U} admite o descompunere în această bază:

$$\mathbf{U} = \sum_{i=1}^m \alpha_i \mathbf{r}^{(i)}. \quad (1.77)$$

Dacă vom compara relațiile (1.76) și (1.77) și vom tine seama de observația privind *unicitatea* descompunerii unui vector într-o bază, putem să identificăm:

$$\alpha_i = w_i, \quad i = 1, 2, \dots, m. \quad (1.78)$$

În concluzie, un sistem hiperbolic admite o *soluție de tip undă* (1.59). Aceasta poate fi considerată ca o combinație liniară de *unde simple* reprezentate de vectorii proprii $\mathbf{r}^{(i)}$ și având amplitudinea dată de variabilele caracteristice w_i .

1.6. ECUAȚII NELINIARE DE ORDINUL ÎNTÂI

Fie ecuația diferențială, formulată ca o *lege de conservare*, pentru necunoscuta scalară u :

$$\frac{\partial u}{\partial t} + \frac{\partial f(u)}{\partial x} = 0, \quad (1.79)$$

având condiția inițială:

$$u(x, 0) = u_0(x). \quad (1.80)$$

În cele ce urmează, vom presupune că $f(u)$ este o *funcție convexă* de variabila u , deci:

$$\frac{\partial^2 f}{\partial u^2} > 0. \quad (1.81)$$

Dacă u este *diferențiabilă*, ecuația (1.79) poate fi *liniarizată local*, exprimând derivata fluxului f prin:

$$\frac{\partial f(u)}{\partial x} = \frac{\partial f(u)}{\partial u} \frac{\partial u}{\partial x} = a(u) \frac{\partial u}{\partial x}, \quad a(u) = \frac{\partial f(u)}{\partial u}. \quad (1.82)$$

Ipoteza făcută asupra convexității funcției $f(u)$ este echivalentă cu:

$$\frac{\partial a(u)}{\partial u} > 0. \quad (1.83)$$

Ecuația (1.79) poate fi rescrisă în *forma cvasiliniară*:

$$\frac{\partial u}{\partial t} + a(u) \frac{\partial u}{\partial x} = 0, \quad (1.84)$$

care, analog ecuației (1.19), poate fi interpretată ca o ecuație diferențială ordinară:

$$\frac{du}{dt} = 0, \quad (1.85)$$

în lungul *curbei caracteristice* de ecuație:

$$\frac{dx}{dt} = a(u(x, t), t). \quad (1.86)$$

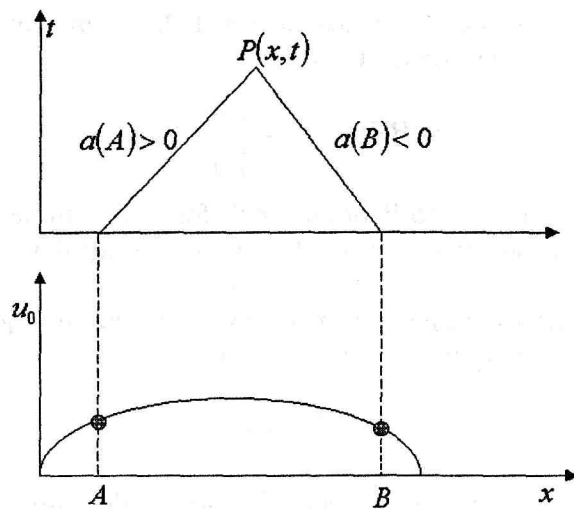


Fig. 1.3. Intersecția caracteristicilor pentru ecuații scalare neliniare.

Soluția ecuației (1.84) este:

$$u(x(t), t) = u(x - at, 0) = u_0(x - at). \quad (1.87)$$

Caracteristicile definite de ecuația (1.85) reprezintă curbe în hyperspațiul (x, t) , în lungul cărora mărimea u se conservă. Diferența față de cazul liniar tratat anterior este aceea că panta la curba caracteristică nu mai este constantă. Apare deci posibilitatea ca aceste *curbe caracteristice să se intersecteze*, după cum este schițat în fig. 1.3.

Fie, spre exemplu, la momentul inițial, două puncte $A(x_1)$ și $B(x_2)$, cu $x_1 < x_2$, în care are loc relația $a(u_0(x_1)) > a(u_0(x_2))$. În hyperspațiul (x, t) va exista un punct P unde se vor intersecta caracteristicile ce trec prin punctele A și, respectiv, B . Deoarece nu este evident ce valoare va avea funcția u în punctul P , cea corespunzătoare caracteristicii ce trece prin punctul A sau cea corespunzătoare caracteristicii ce trece prin punctul B , vom examina mai în detaliu comportarea funcției u în acest punct.

După cum s-a arătat, soluția exactă a ecuației (1.84) la orice moment de timp este:

$$u(x, t) = u_0[x - a(u(x, t), t)t]. \quad (1.88)$$

Derivând în raport cu x obținem:

$$\frac{\partial u}{\partial x} = u'_0 \left[1 - \frac{\partial a}{\partial x} t \right], \quad (1.89)$$

unde am notat u'_0 derivata funcției u_0 .

Dar, deoarece $a = a(u)$, rezultă:

$$\frac{\partial a}{\partial x} = \frac{\partial a}{\partial u} \frac{\partial u}{\partial x}. \quad (1.90)$$

Înlocuind în (1.89) obținem:

$$\frac{\partial u}{\partial x} = \frac{u'_0}{1 + t \frac{\partial a}{\partial u} u'_0}. \quad (1.91)$$

Cum $\frac{\partial a}{\partial u} > 0$, (funcția f a fost presupusă convexă), pentru valori $u'_0 < 0$, există posibilitatea ca numitorul membrului drept din relația (1.91) să se anuleze pentru o anumită valoare a timpului, t_c .

Într-adevăr, din (1.91), găsim:

$$t_c = -\frac{1}{\frac{\partial a}{\partial u} u'_0}. \quad (1.92)$$

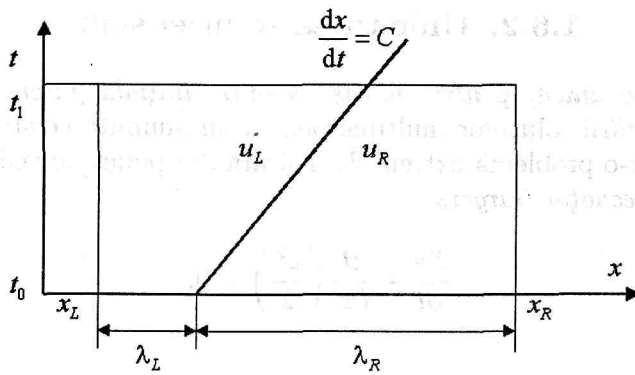


Fig. 1.4. Discontinuitate care se propaga cu viteza constanta C .

În aceasta situatie, *solutia nu mai este continua, ci suferă un salt, pe care, din punct de vedere fizic, îl interpretăm ca fiind o undă de soc*. De menționat faptul ca, la traversarea unei de soc, formularea cvasiliniara (1.84) nu mai are sens deoarece derivata $\partial u / \partial x$ nu mai este definită, pe când formularea conservativa (1.79) este în continuare valabilă.

1.6.1. Soluții slabe

În situația prezentată anterior, rămâne deschisă problema determinării soluției pentru $t > t_c$. În acest scop, vom introduce conceptul de *soluție slabă a unei ecuații diferențiale neliniare*.

Soluția slabă a ecuației scalare neliniare (1.79) este soluția care satisface condiția (Colella și Puckett, [68]):

$$\int_{x_L}^{x_R} u(x, t_1) dx = \int_{x_L}^{x_R} u(x, t_0) dx + \int_{t_0}^{t_1} f(u(x_L), t) dt - \int_{t_0}^{t_1} f(u(x_R), t) dt, \quad (1.93)$$

unde x_L și x_R definesc frontiera domeniului fizic ($x_L < x_R$), t_0 reprezintă momentul inițial și $t_1 = t_0 + \Delta t$, ($\Delta t > 0$). Să considerăm cazul particular al unei soluții discontinue, cu o discontinuitate izolată care se propaga cu viteza C . Urmărind fig. 1.4, vom evalua integralele din expresia (1.93):

$$\int_{x_L}^{x_R} [u(x, t_1) - u(x, t_0)] dx = u_L (\lambda_L + C \Delta t) + u_R (\lambda_R - C \Delta t) - (u_L \lambda_L + u_R \lambda_R) = C \Delta t (u_L - u_R), \quad (1.94)$$

$$\int_{t_0}^{t_1} [f(u(x_L), t) - f(u(x_R), t)] dt = [f(u_L) - f(u_R)] \Delta t. \quad (1.95)$$

Înlocuind valorile integralelor (1.94) și (1.95) în definiția (1.93), vom obține C , viteza de propagare a discontinuității (relația *Hugoniot-Rankine*):

$$C = \frac{f(u_L) - f(u_R)}{u_L - u_R}. \quad (1.96)$$

Dacă f este o funcție netedă, atunci putem aplica teorema de medie care arată că există un punct u_ξ între u_L și u_R , astfel încât:

$$\frac{f(u_L) - f(u_R)}{u_L - u_R} = \frac{\partial f}{\partial u} \Big|_{u_\xi}. \quad (1.97)$$

Vom remarca, de asemenea, faptul că, atunci când $u_L \rightarrow u_R$, din relația (1.96) se obține:

$$C = \lim_{u_L \rightarrow u_R} \frac{f(u_L) - f(u_R)}{u_L - u_R} = \frac{\partial f}{\partial u} \Big|_{\frac{u_L + u_R}{2}} = a\left(\frac{u_L + u_R}{2}\right), \quad (1.98)$$

ceea ce probează faptul că undele slabe se propagă în lungul caracteristicilor.

1.6.2. Unicitatea soluției slabe

Soluția slabă nu este unică; pentru aceeași condiție inițială putem obține mai multe soluții slabe. Posibilitatea dezvoltării soluțiilor multiple pentru un anumită ecuație diferențială cu derivate parțiale se transformă într-o problemă extrem de delicată din punct de vedere numeric.

De exemplu, pentru ecuația Burgers:

$$\frac{\partial u}{\partial t} + \frac{\partial}{\partial x} \left(\frac{u^2}{2} \right) = 0, \quad (1.99)$$

având condiția inițială:

$$u(x, 0) = \begin{cases} -1 & \text{pentru } x < 0, \\ 1 & \text{pentru } x > 0, \end{cases} \quad (1.100)$$

se poate verifica fără probleme că există două soluții.

a) Soluția corespunzătoare unei unde de șoc staționare. Într-adevăr, la momentul inițial t_0 și în punctul $x = 0$, din relația (1.96) obținem:

$$u_L = -1, \quad u_R = 1, \quad (1.101)$$

$$C = \frac{f(u_L) - f(u_R)}{u_L - u_R} = \frac{\left(\frac{u_L}{2}\right)^2 - \left(\frac{u_R}{2}\right)^2}{u_L - u_R} = 0, \quad (1.102)$$

și deci, pentru orice moment de timp, soluția va fi:

$$u(x, t) = \begin{cases} -1 & \text{pentru } x < 0, \\ 1 & \text{pentru } x > 0, \end{cases} \quad (1.103)$$

reprezentată în fig. 1.5.

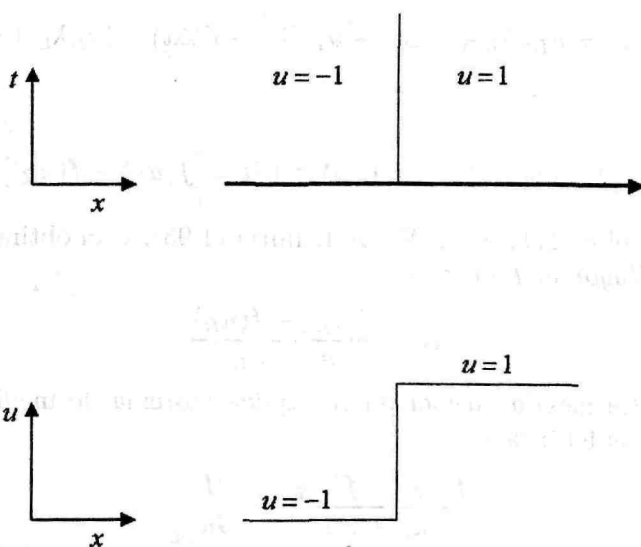


Fig. 1.5. Soluția exactă a ecuației Burgers corespunzătoare unei unde de șoc staționare.

b) Soluția corespunzătoare evantaiului de expansiune schițată în fig. 1.6, în care undele de expansiune pleacă din punctul $(x = 0, t = 0)$.

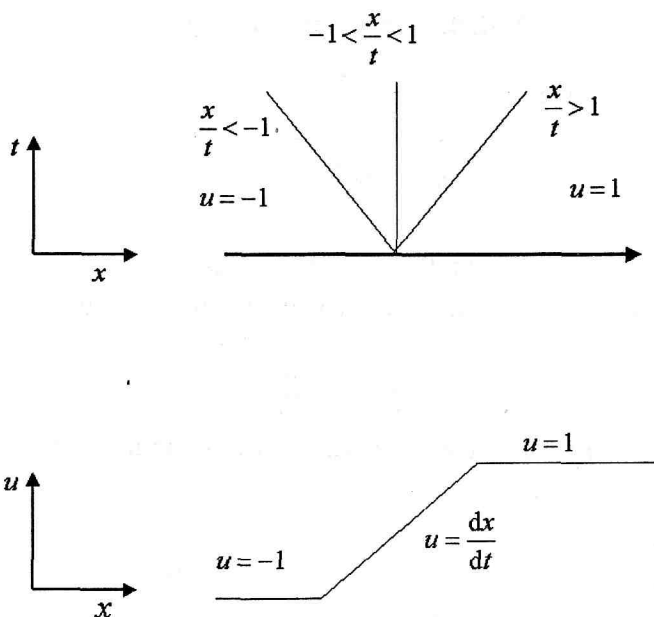


Fig. 1.6. Soluția exactă a ecuației Burgers corespunzătoare evantaiului de expansiune.

1.6.3. Condiția de entropie

Deoarece soluția slabă nu este unică, apare problema *eliminării soluțiilor care nu prezintă semnificație fizică*. Vom considera că *soluția slabă care se manifestă în realitate reprezintă o limită a soluției cazului vâscos, pentru situația în care vâscozitatea tinde către zero* (Colella și Puckett, [68]).

Astfel, fie u^ε soluția ecuației de conservare mai generale:

$$\frac{\partial u^\varepsilon}{\partial t} + \frac{\partial f(u^\varepsilon)}{\partial x} = \varepsilon \frac{\partial^2 u^\varepsilon}{\partial x^2}, \quad (1.104)$$

unde ε reprezintă „coeficientul de vâscozitate”. Vom spune că soluția slabă corectă a ecuației (1.79) este soluția care satisface condiția:

$$\lim_{\varepsilon \rightarrow 0} u^\varepsilon = u. \quad (1.105)$$

Soluția care satisface și ecuația (1.104) corespunde unei probleme bine puse, în sensul că soluția există, este unică și depinde în mod continuu de condiția inițială (Hadamard, [122], [106]).

De asemenea, vom remarca faptul că, *din punct de vedere fizic, soluția slabă corectă este cea care asigură satisfacerea principiului al doilea al Termodinamicii, pentru că este singura soluție care asigură creșterea entropiei la traversarea undei de șoc*. Vom numi această restricție *condiția de entropie*.

Pentru cazul ecuației neliniare (1.79) și a funcției flux convexe, (relația (1.83)), condiția de entropie este satisfăcută dacă:

$$a(u_L) > C > a(u_R), \quad (1.106)$$

care, în cazul ecuației Burgers (1.99), se scrie:

$$u_L = -1 > C > u_R = 1, \quad (1.107)$$

ceea ce arată că doar soluția corespunzătoare undei de șoc staționare, $C = 0$, (1.103) are semnificație fizică. Din punct de vedere geometric se pune astfel în evidență, (fig. 1.4), că informația se propagă doar în viitor (timpuri ulterioare momentului inițial).

1.6.4. Ecuația Burgers

Să considerăm ecuația Burgers:

$$\frac{\partial u}{\partial t} + \frac{\partial}{\partial x} \left(\frac{u^2}{2} \right) = 0, \quad (1.108)$$

având condiția inițială:

$$t = 0, \quad u(x, 0) = u_0(x), \quad -\infty < x < \infty. \quad (1.109)$$

Această ecuație prezintă un interes deosebit în aplicațiile de dinamica fluidelor, pentru că neliniaritatea fluxului,

$$f(u) = \frac{u^2}{2}, \quad (1.110)$$

este reprezentativă pentru termenii de convecție din ecuațiile de mișcare.

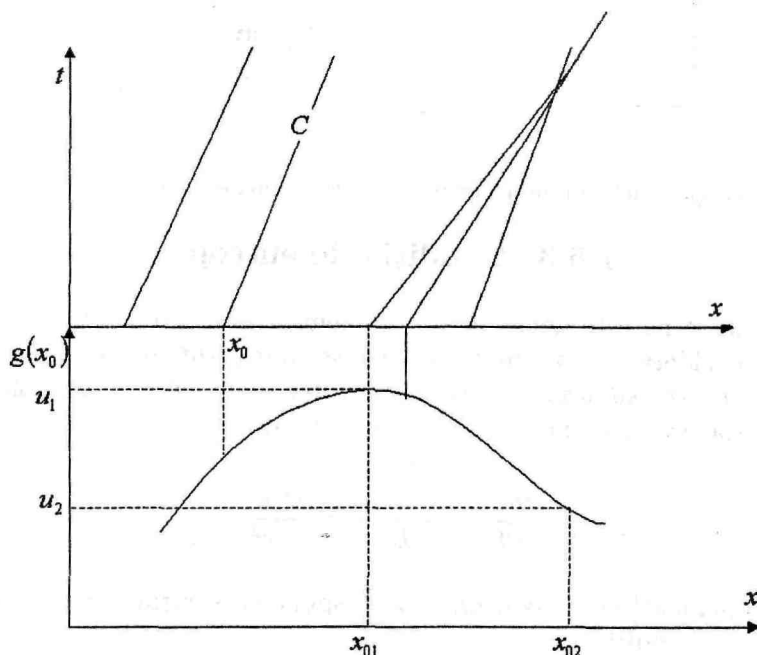


Fig. 1.7. Caracteristicile ecuației Burgers.

Forma cvasiliniară a ecuației (1.108) este:

$$\frac{\partial u}{\partial t} + u \frac{\partial u}{\partial x} = 0, \quad (1.111)$$

iar viteza de transport locală este $a = u$. Caracteristicile ecuației sunt definite de (1.86):

$$\frac{dx}{dt} = u, \quad (1.112)$$

iar în lungul acestora ecuația (1.111) ia forma (1.85):

$$\frac{du}{dt} = 0. \quad (1.113)$$

Caracteristicile determinate de ecuația (1.112) sunt curbe, definite parametric în funcție de poziția inițială x_0 :

$$x = x_0 + u(x_0, 0) t, \quad (1.114)$$

iar soluția (1.88) se va scrie:

$$u(x, t) = u(x_0, 0) = u_0(x_0) = u_0(x - u_0(x_0) t). \quad (1.115)$$

Gradientul necunoscutei (1.91) este:

$$\frac{\partial u}{\partial x} = \frac{u'_0(x_0)}{1 + tu'_0(x_0)}, \quad (1.116)$$

iar:

$$\frac{\partial u}{\partial t} = -u_0(x_0) \frac{\partial u}{\partial x} = -u_0(x_0) \frac{u'_0(x_0)}{1 + tu'_0(x_0)}. \quad (1.117)$$

Caracteristicile au panta proporțională cu $\frac{1}{u(x_0)}$ în hiperspațiul (x, t) . Dacă $u'_0(x_0) > 0$, caz tipic pentru un evantai de expansiune, caracteristicile nu se vor intersecta. În schimb, dacă $u'_0(x_0) < 0$, caracteristicile se vor intersecta (fig. 1.7).

Să considerăm două puncte x_{01} și x_{02} de pe zona în care $u'_0(x_0) < 0$. Deoarece punctul A (fig. 1.8) se propagă cu o viteză, u_A , mai mare decât viteza punctului B , u_B , în mod progresiv, punctul A se va suprapune peste punctul B . În consecință poate rezulta un profil multiform, după cum este schițat în fig. 1.8, la momentul de timp $t = t_2$. *Această soluție nu are semnificație fizică, deoarece funcția u nu poate avea două valori în același punct din spațiu și la același moment de timp.* Prin urmare,

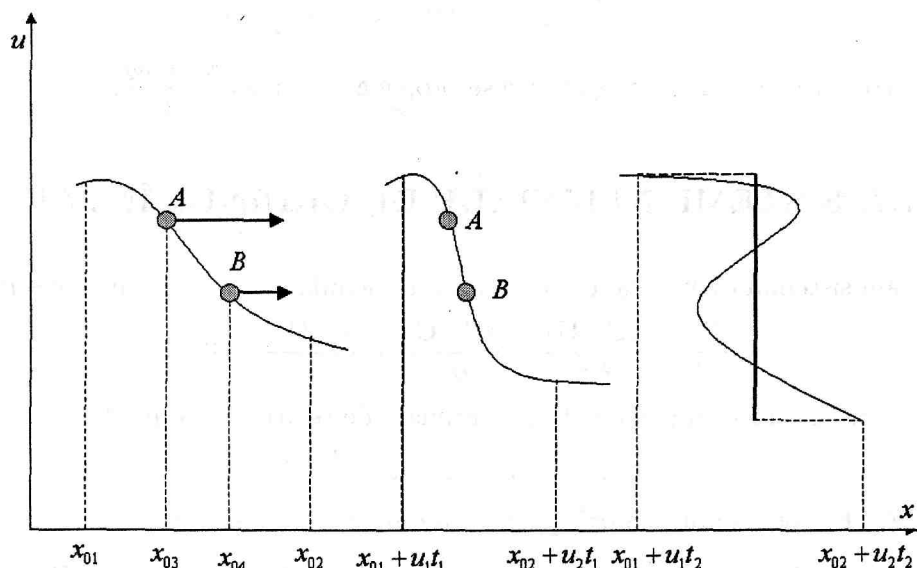


Fig. 1.8. Evoluția în timp a soluției și formarea undelor de șoc.

o condiție inițială care conține o zonă cu pantă negativă va conduce la apariția unei discontinuități de tip undă de șoc. Unda de șoc se va produce la o valoare critică a timpului, t_c , determinată din relațiile (1.92) sau (1.117), din condiția de anulare a numitorului, ceea ce corespunde apariției unui punct singular pentru derivata $\frac{\partial u}{\partial x}$:

$$t_c = -\frac{1}{\max [u'_0(x_0)]}. \quad (1.118)$$

Unda de șoc se va deplasa cu viteza C , iar relațiile de salt Hugoniot-Rankine (1.96) vor fi:

$$\left[\frac{u^2}{2} \right] - C[u] = 0, \quad (1.119)$$

unde am notat cu $[a]$ saltul mărimii a la traversarea undei de șoc. Din (1.119) obținem viteza undei:

$$C = \frac{u_1 + u_2}{2}, \quad (1.120)$$

în care u_1 este viteza din amonte undei, iar u_2 viteza din avalul acesteia. Apariția și propagarea discontinuității este legată de condiția inițială.

În secțiunea 1.6.2 s-a analizat cazul condiției inițiale discontinue. Să considerăm acum situația condiției inițiale liniare, când funcția $u_0(x)$, definită de relația (1.100), este:

$$u_0(x) = \begin{cases} u_1, & \text{pentru } x < 0, \\ u_1 \left(1 - \frac{x}{L}\right) + u_2 \frac{x}{L}, & \text{pentru } 0 \leq x \leq L, \\ u_2, & \text{pentru } x > L. \end{cases} \quad (1.121)$$

Unda de șoc se va forma la o valoare a timpului, $t = t_c$, dată de relația (1.118):

$$t_c = \frac{L}{u_1 - u_2}, \quad (1.122)$$

și va fi poziționată la $x_c = t_c u_1 = L + t_c u_2$.

În consecință, soluția problemei Burgers, pentru $t > t_c$, va fi:

$$u(x, t) = \begin{cases} u_1, & \text{pentru } x < \frac{u_1 + u_2}{2} t, \\ u_2, & \text{pentru } x > \frac{u_1 + u_2}{2} t, \end{cases} \quad (1.123)$$

care poate fi interpretată ca o undă de șoc care se propagă cu viteza $\frac{u_1 + u_2}{2}$.

1.7. SISTEME NELINIARE DE ORDINUL ÎNTÂI

Să considerăm sistemul diferențial de ordinul întâi, neliniar, scris în formă conservativă:

$$\frac{\partial \mathbf{U}}{\partial t} + \frac{\partial \mathbf{F}_x(\mathbf{U})}{\partial x} + \frac{\partial \mathbf{F}_y(\mathbf{U})}{\partial y} + \frac{\partial \mathbf{F}_z(\mathbf{U})}{\partial z} = 0, \quad (1.124)$$

unde vectorul funcție necunoscută este dat în continuare de relațiile (1.55):

$$\mathbf{U} = [u_1 \quad \dots \quad u_m]^T, \quad (1.125)$$

iar vectorii \mathbf{F}_x , \mathbf{F}_y , \mathbf{F}_z reprezintă *fluxurile pe cele trei direcții carteziene*:

$$\mathbf{F}_x = [F_{x1} \quad \dots \quad F_{xm}]^T, \quad \mathbf{F}_y = [F_{y1} \quad \dots \quad F_{ym}]^T, \quad \mathbf{F}_z = [F_{z1} \quad \dots \quad F_{zm}]^T. \quad (1.126)$$

Sistemul (1.124) poate fi scris în forma compactă:

$$\frac{\partial \mathbf{U}}{\partial t} + \nabla \mathbf{F} = 0, \quad (1.127)$$

unde am introdus vectorul flux \mathbf{F} definit de:

$$\mathbf{F} = \mathbf{F}_x \mathbf{i} + \mathbf{F}_y \mathbf{j} + \mathbf{F}_z \mathbf{k}. \quad (1.128)$$

Pentru analiza tipului sistemului se va *liniariza local* sistemul (1.124), introducând matricele iacobiene:

$$\mathbf{A}_x = \frac{\partial \mathbf{F}_x}{\partial \mathbf{U}}, \quad A_{x_{ij}} = \frac{\partial F_{xi}}{\partial u_j}, \quad (1.129)$$

$$\mathbf{A}_y = \frac{\partial \mathbf{F}_y}{\partial \mathbf{U}}, \quad A_{y_{ij}} = \frac{\partial F_{yi}}{\partial u_j}, \quad (1.130)$$

$$\mathbf{A}_z = \frac{\partial \mathbf{F}_z}{\partial \mathbf{U}}, \quad A_{z_{ij}} = \frac{\partial F_{zi}}{\partial u_j}, \quad (1.131)$$

iar *forma cvasiliniară* a sistemului (1.124) va fi asemănătoare cu forma (1.54):

$$\frac{\partial \mathbf{U}}{\partial t} + \mathbf{A}_x \frac{\partial \mathbf{U}}{\partial x} + \mathbf{A}_y \frac{\partial \mathbf{U}}{\partial y} + \mathbf{A}_z \frac{\partial \mathbf{U}}{\partial z} = 0. \quad (1.132)$$

Deosebirea față de cazul liniar constă în aceea că matricele $\mathbf{A}_x, \mathbf{A}_y, \mathbf{A}_z$, de dimensiune $(m \times m)$, nu mai sunt constante; acestea depind de vectorul necunoscut \mathbf{U} , dar nu depind de derivatele acestuia.

În mod similar cazului liniar, vom putea rescrie sistemul (1.132) în forma compactă:

$$\frac{\partial \mathbf{U}}{\partial t} + [\mathbf{A}(\mathbf{U}) \nabla] \mathbf{U} = 0, \quad (1.133)$$

unde am introdus matricea iacobiană vector \mathbf{A} definită de:

$$\mathbf{A}(\mathbf{U}) = \mathbf{A}_x(\mathbf{U}) \mathbf{i} + \mathbf{A}_y(\mathbf{U}) \mathbf{j} + \mathbf{A}_z(\mathbf{U}) \mathbf{k}. \quad (1.134)$$

Cea mai eficientă metodă de analiză a proprietăților sistemelor neliniare are la bază *conceptul de propagare a undelor neliniare*. În cazul general, reprezentarea propagării undelor neliniare are la bază noțiunea de *front de undă*.

Frontul de undă reprezintă suprafața care separă, la un moment dat de timp, punctele din spațiu influențate de perturbație de punctele care încă nu au fost atinse de perturbație. Reprezentarea generală a unei unde este dată de relația:

$$\mathbf{U} = \hat{\mathbf{U}} e^{iS(x,y,z,t)}, \quad (1.135)$$

unde suprafața $S(x, y, z, t) = \text{const.}$ reprezintă *frontul de undă* (numit și *faza unde*), iar $\hat{\mathbf{U}}$ reprezintă *amplitudinea complexă a unde*.

Considerând soluția sistemului (1.132) de forma unde (1.135), se obține sistemul liniar:

$$\left[\frac{\partial S}{\partial t} + (\mathbf{A} \nabla) S \right] \hat{\mathbf{U}} = 0, \quad (1.136)$$

sau, dacă vom nota cu:

$$\mathbf{d} = \nabla S, \quad n_t = \frac{\partial S}{\partial t}, \quad (1.137)$$

componentele normalei la frontul de undă, numite și *normale caracteristice*, în hiperspațiul (x, y, z, t) , rezultă:

$$[n_t \mathbf{I} + \mathbf{A}(\mathbf{U}) \mathbf{d}] \hat{\mathbf{U}} = 0. \quad (1.138)$$

Sistemul liniar omogen astfel obținut are soluție diferită de soluția banală dacă:

$$\det [\mathbf{A}(\mathbf{U}) \mathbf{d} + n_t \mathbf{I}] = 0, \quad (1.139)$$

relație care se numește *ecuația caracteristică* a sistemului de ecuații diferențiale. Evident, ecuația caracteristică este o ecuație algebrică de ordinul m , având ca necunoscute componentele normalei la frontul de undă (\mathbf{d}, n_t) , și poate avea cel mult m rădăcini reale.

Sistemul diferențial (1.124) este de *tip hiperbolic* dacă toate cele m normale caracteristice sunt reale, iar soluțiile sistemului (1.138) corespunzătoare acestor normale sunt liniar independente. Dacă toate normalele caracteristice sunt reale, dar soluțiile sistemului omogen al amplitudinilor complexe (1.138) nu sunt liniar independente, atunci sistemul cu derivate parțiale este *parabolic*. Dacă toate cele m normale caracteristice sunt complex conjugate, atunci sistemul este *eliptic*. În sfârșit, dacă, pentru ecuația caracteristică, un număr de normale sunt reale dar există și rădăcini complex conjugate, sistemul va fi *hibrid*.

1.8. SISTEME HIPERBOLICE NELINIARE

La fel ca în cazul sistemelor liniare, clasificarea sistemelor neliniare se poate face funcție de valorile și vectorii proprii corespunzători matricei \mathbf{K} (paragraful 1.5). Dacă valorile proprii ale matricei iacobiene \mathbf{K} sunt reale, iar vectorii proprii corespunzători sunt liniar independenți, sistemul este de tip hiperbolic și admite o soluție de tip undă. Este util deci, din punct de vedere practic, să considerăm

suprafața de undă $S(x, y, z, t)$ de forma:

$$S(x, y, z, t) = \mathbf{d}a - \omega t, \quad (1.140)$$

$$\mathbf{x} = x\mathbf{i} + y\mathbf{j} + z\mathbf{k}, \quad \mathbf{d}(\mathbf{x}, t) = d_x\mathbf{i} + d_y\mathbf{j} + d_z\mathbf{k}, \quad (1.141)$$

unde \mathbf{x} este vectorul de poziție, \mathbf{d} reprezintă vectorul *număr de undă*, iar $\omega(\mathbf{x}, t)$ reprezintă pulsația undei.

1.8.1. Unde liniare

Dacă se face ipoteza că vectorul de undă \mathbf{d} este constant, atunci reprezentarea (1.140) corespunde unei *unde plane liniare*. În acest mod, unda neliniară (1.135) ia forma (1.59):

$$\mathbf{U} = \hat{\mathbf{U}} e^{i(\mathbf{d}\mathbf{x} - \omega t)}. \quad (1.142)$$

Particularizând relația (1.136) pentru această situație, se obține sistemul algebric omogen:

$$[-\omega \mathbf{I} + \mathbf{dA}(\mathbf{U})] \hat{\mathbf{U}} = 0. \quad (1.143)$$

Notând:

$$\mathbf{K}(\mathbf{U}) = \mathbf{dA}, \quad \lambda = \omega, \quad (1.144)$$

se obține ecuația de valori și vectori proprii:

$$\mathbf{K}(\mathbf{U}) \hat{\mathbf{U}} = \lambda \hat{\mathbf{U}}, \quad (1.145)$$

din care se vor determina proprietățile undelor plane elementare de forma (1.142).

1.8.2. Unde neliniare

În cazul general al *undei neliniare*, când $\mathbf{d} = \mathbf{d}(\mathbf{x}, t)$, cele m valori proprii ale matricei iacobiene \mathbf{K} definesc, pentru pulsațiile undei, m relații de forma:

$$\omega^{(k)} = \lambda^{(k)}(\mathbf{d}(\mathbf{x}, t)), \quad k = 1, 2, \dots, m, \quad (1.146)$$

care poartă numele de *relații de dispersie*. Derivatele pulsației ω în raport cu componentele vectorului de undă \mathbf{d} definesc *viteza de grup a undei* $\mathbf{v}^{(G)}$:

$$\mathbf{v}^{(G)} = \frac{\partial \omega}{\partial d_x} \mathbf{i} + \frac{\partial \omega}{\partial d_y} \mathbf{j} + \frac{\partial \omega}{\partial d_z} \mathbf{k}. \quad (1.147)$$

Viteza de grup are o semnificație fizică bine definită, ea reprezentând viteza cu care se propagă *energia undei*.

În acest caz, pentru unda neliniară (1.142), avem (Hirsch, [139]):

$$\frac{\partial \mathbf{U}}{\partial t} = i \left(-\omega - t \frac{\partial \omega}{\partial t} + \mathbf{x} \frac{\partial \mathbf{d}}{\partial t} \right) \hat{\mathbf{U}} = i \left\{ -\omega + \frac{\partial \mathbf{d}}{\partial t} [-t \mathbf{v}^{(G)} + \mathbf{x}] \right\} \hat{\mathbf{U}}, \quad (1.148)$$

$$\nabla \mathbf{U} = i (-t \nabla \omega + \mathbf{d} \nabla \mathbf{x} + \mathbf{x} \nabla \mathbf{d}) \hat{\mathbf{U}} = i \{ \mathbf{d} \nabla \mathbf{x} + \nabla \mathbf{d} [-t \mathbf{v}^{(G)} + \mathbf{x}] \} \hat{\mathbf{U}}. \quad (1.149)$$

Termenul din paranteza dreaptă din relațiile de mai sus se anulează în două situații:

- a) în cazul undelor plane liniare analizat anterior ($\mathbf{d} = \text{const.}$);
- b) dacă:

$$\mathbf{v}^{(G)} = \frac{\mathbf{x}}{t}, \quad (1.150)$$

ceea ce corespunde unui *sistem de referință care se deplasează cu viteza de grup* $\mathbf{v}^{(G)}$.

Se pune astfel în evidență că, pentru cazul undei neliniare, soluția sistemului nu are o *scară de lungimi distinctă*, fiind funcție doar de variabila $\frac{\mathbf{x}}{t}$. Din punct de vedere fizic această situație corespunde unei unde simple produsă la interfața a două stări constante ale fluidului (unda de șoc sau unda de rarefiere).

1.8.3. Sistemul caracteristic. Variabile Riemann

Pentru *sistemele hiperbolice*, deoarece toate valorile proprii sunt reale iar vectorii proprii sunt liniar independenți, matricea iacobiană \mathbf{K} poate fi diagonalizată:

$$\mathbf{K} = \mathbf{R}\mathbf{\Lambda}\mathbf{R}^{-1}, \quad (1.151)$$

unde \mathbf{R} este matricea vectorilor proprii, iar $\mathbf{\Lambda}$ este matricea diagonală a valorilor proprii (1.71). Dacă vom înmulți la stânga sistemul diferențial (1.133) cu \mathbf{R}^{-1} , se va obține sistemul:

$$\mathbf{R}^{-1} \frac{\partial \mathbf{U}}{\partial t} + [(\mathbf{R}^{-1} \mathbf{A} \mathbf{R}) \mathbf{R}^{-1} \nabla] \mathbf{U} = 0. \quad (1.152)$$

Deosebirea esențială față de sistemele liniare este aceea că matricea vectorilor proprii \mathbf{R} și, respectiv, inversa acesteia \mathbf{R}^{-1} , nu mai sunt matrice constante și deci nu mai pot fi introduse sub operatorii de derivare. În schimb, putem defini, în continuare, variabilele caracteristice \mathbf{W} prin relațiile diferențiale:

$$\frac{\partial \mathbf{W}}{\partial t} = \mathbf{R}^{-1} \frac{\partial \mathbf{U}}{\partial t}, \quad \nabla \mathbf{W} = \mathbf{R}^{-1} \nabla \mathbf{U}. \quad (1.153)$$

Dacă vom nota cu simbolul ∂ o derivată parțială oarecare (în raport cu timpul t sau cu variabilele spațiale x, y, z), atunci relațiile (1.153) se pot scrie formal astfel:

$$\partial \mathbf{W} = \mathbf{R}^{-1} \partial \mathbf{U}, \quad (1.154)$$

sau:

$$\partial \mathbf{U} = \mathbf{R} \partial \mathbf{W}. \quad (1.155)$$

Se pune astfel în evidență faptul că unda asociată variațiilor stărilor $\partial \mathbf{U}$ poate fi reprezentată de o superpoziție a undelor simple asociate vectorilor proprii \mathbf{R} , amplitudinile acestora fiind egale cu variațiile variabilelor caracteristice $\partial \mathbf{W}$.

Deși variabilele caracteristice nu pot fi explicit determinate, definiția (1.154) poate fi acceptată întotdeauna, ceea ce permite scrierea sistemului diferențial (1.152), pentru valorile caracteristice, sub forma:

$$\frac{\partial \mathbf{W}}{\partial t} + (\mathbf{R}^{-1} \mathbf{A} \mathbf{R}) \nabla \mathbf{W} = 0. \quad (1.156)$$

Aceste ecuații poartă numele de *relații de compatibilitate sau sistem caracteristic* și reprezintă proiecția sistemului (1.133) pe suprafețele caracteristice definite de ecuațiile (1.140).

În cazul sistemelor hiperbolice, cei m vectori proprii ai matricei iacobiene \mathbf{K} formează un sistem de vectori liniari independenți, deci poți fi considerați ca o bază în spațiul cu dimensiunea m a necunoscutei \mathbf{U} . În consecință, vom putea admite o descompunere a necunoscutei în această bază:

$$\mathbf{U}(\mathbf{x}, t) = \sum_{k=1}^m \alpha_k(\mathbf{x}, t) \mathbf{r}^{(k)}(\mathbf{x}, t), \quad (1.157)$$

care poate fi rescrisă matriceal sub forma:

$$\mathbf{U} = \mathbf{R} \alpha, \quad (1.158)$$

în care:

$$= \begin{bmatrix} \alpha_1(\mathbf{x}, t) & \cdots & \alpha_m(\mathbf{x}, t) \end{bmatrix}^T. \quad (1.159)$$

Înmulțind la stânga egalității (1.158) cu \mathbf{R}^{-1} rezultă:

$$= \mathbf{R}^{-1} \mathbf{U}. \quad (1.160)$$

Din punct de vedere fizic, vectorii proprii pot fi interpretați ca *unde elementare*, numite și *unde simple*. Așadar, se poate *reconstrui* soluția sistemului de ecuații folosind *descompunerea în unde simple*, de mai sus. În acest mod rămân ca necunoscute doar amplitudinile α_k , $k = 1, 2, \dots, m$.

Deși structura sistemului diferențial (1.156) precum și descompunerea (1.157) sunt asemănătoare cazului liniar, există totuși diferențe fundamentale între cele două situații. Dacă în cazul liniar vectorii proprii $\mathbf{r}^{(k)}$ sunt constanți, în cazul neliniar aceștia depind de vectorul conservativ \mathbf{U} , ceea ce face ca

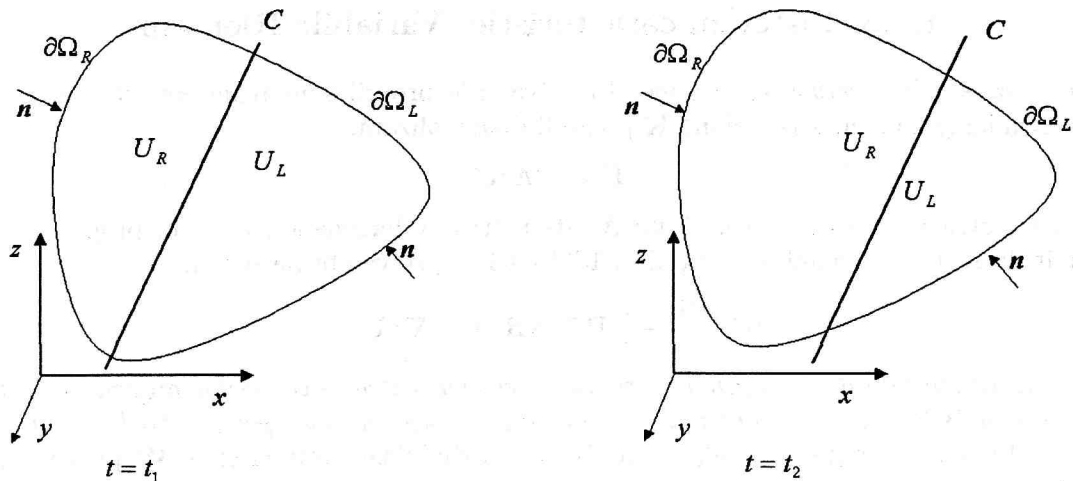


Fig. 1.9. Propagarea unei discontinuități în timp și spațiu, cu viteza constantă C .

amplitudinile α_k să nu mai fie reprezentate de variabilele caracteristice. Pentru a pune în evidență acest aspect, să introducem soluția (1.157) în sistemul diferențial (1.133). Vom obține:

$$\frac{\partial}{\partial t}(\mathbf{R}\mathbf{f}) + \mathbf{A}\nabla\mathbf{R}\mathbf{f} = 0, \quad (1.161)$$

sau încă:

$$\mathbf{R}\frac{\partial\alpha}{\partial t} + \frac{\partial\mathbf{R}}{\partial t}\alpha + \mathbf{A}[(\nabla\mathbf{R})\mathbf{f} + \mathbf{R}(\nabla\phi)] = 0. \quad (1.162)$$

Înmulțind la stânga egalității (1.162) cu \mathbf{R}^{-1} și rearanjând termenii, obținem:

$$\frac{\partial\alpha}{\partial t} + \mathbf{R}^{-1}\mathbf{A}\mathbf{R}\nabla\phi + \mathbf{R}^{-1}\left[\frac{\partial\mathbf{R}}{\partial t} + \mathbf{A}\nabla\mathbf{R}\right]\alpha = 0. \quad (1.163)$$

Termenul din paranteză este dificil de evaluat deoarece conține derivatele vectorilor proprii $\mathbf{r}^{(k)}$ în raport cu componentele vectorului \mathbf{U} :

$$\frac{\partial\mathbf{r}^{(k)}}{\partial t} = \frac{\partial\mathbf{r}^{(k)}}{\partial\mathbf{U}}\frac{\partial\mathbf{U}}{\partial t}, \quad \nabla\mathbf{r}^{(k)} = \frac{\partial\mathbf{r}^{(k)}}{\partial\mathbf{U}}\nabla\mathbf{U}. \quad (1.164)$$

Sistemul diferențial de definiție a valorilor caracteristice, format din ecuațiile (1.153), nu poate fi, în cazul general, integrat, deci nu putem să determinăm explicit valorile caracteristice \mathbf{W} . Există însă situații particulare când se poate obține o schimbare neliniară de variabile care să permită determinarea variabilelor caracteristice. În această situație, variabilele caracteristice poartă numele de *variabile Riemann*. În cazul în care variabilele Riemann se conservă, acestea se mai numesc și *invarianti Riemann*.

1.8.4. Soluție slabă. Condiția de entropie

Prin definiție, *soluția slabă* a sistemului (1.124) este soluția care satisface relația:

$$\int_{\Omega} \mathbf{U}(\mathbf{x}, t_2) d\Omega = \int_{\Omega} \mathbf{U}(\mathbf{x}, t_1) d\Omega + \int_{t_1}^{t_2} \int_{\partial\Omega_R} \mathbf{F}(\mathbf{U}_R) \mathbf{n} d\sigma dt + \int_{t_1}^{t_2} \int_{\partial\Omega_L} \mathbf{F}(\mathbf{U}_L) \mathbf{n} d\sigma dt, \quad (1.165)$$

unde Ω este domeniul de integrare, $\partial\Omega = \partial\Omega_R + \partial\Omega_L$ frontiera acestuia având normala \mathbf{n} orientată către interior, iar $t_1 < t_2$ reprezintă timpul (fig. 1.9).

Ca și în cazul ecuațiilor scalare, pentru sistemele neliniare este necesară o condiție de entropie, pentru a asigura unicitatea soluției slabe. Prin definiție, soluția admisibilă \mathbf{U} a sistemului (1.124) este soluția care reprezintă limita soluției vâscoase \mathbf{U}^ϵ când vâscozitatea tinde la zero.

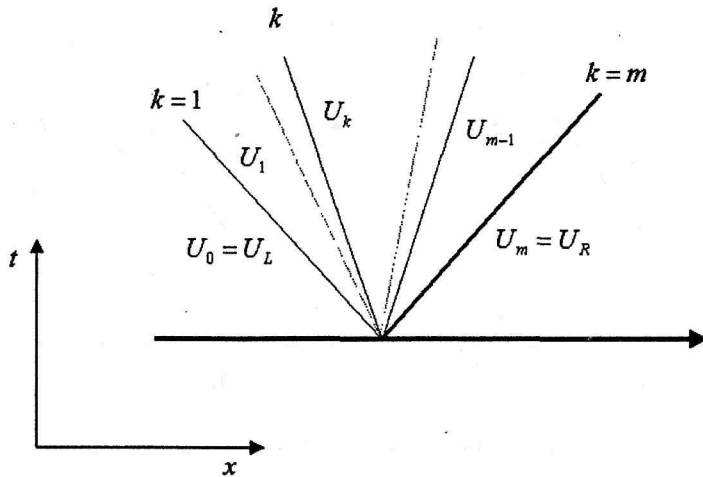


Fig. 1.10. Soluția unui sistem hiperbolic ca o secvență de stări constante separate de discontinuități simple.

Soluția vâscoasă U^e este aceea care satisface sistemul:

$$\frac{\partial U^e}{\partial t} + \nabla F(U^e) = \varepsilon \Delta U^e, \quad (1.166)$$

unde ε este „coeficientul de vâscozitate”. Condiția de admisibilitate pentru soluția U este deci (1.105):

$$U = \lim_{\varepsilon \rightarrow 0} U^e. \quad (1.167)$$

Problema astfel formulată este *bine pusă*, în sensul că se asigură unicitatea soluției, care depinde în mod continuu de condițiile inițiale (Hadamard, [122], [106]).

1.8.5. Perturbații mici

Relațiile (1.154), precum și diferențele dintre sistemul caracteristic (1.156) și sistemul amplitudinilor (1.163), sugerează posibilitatea unei liniarizări locale. Aceasta este echivalentă cu admiterea ipotezei micilor perturbații sau cu perturbarea unei soluții de bază, astfel încât perturbația să se propage în lungul unei caracteristici. În consecință, vom căuta soluția slabă care satisface condițiile asociate cu o singură perturbație, de tipul unei unde simple, care separă două stări constante (unde de șoc sau de rarefiere).

După cum s-a arătat, (1.150), o astfel de undă simplă nu are o scară de lungimi distinctă, iar soluția este funcție de variabila x/t . Soluția problemei Riemann generale va fi obținută prin asamblarea celor m unde elementare. O imagine grafică a acestui procedeu de construcție a soluției problemei Riemann se poate urmări, pentru cazul unidimensional, în fig. 1.10.

Să considerăm două stări oarecare, U_k și U_{k-1} , separate prin unda simplă k . Dacă diferența:

$$\delta U_k = U_k - U_{k-1}, \quad (1.168)$$

este mică, atunci putem considera unda simplă k *cvasiliniară*, iar produsul $\alpha_k \mathbf{r}^{(k)}$ poate fi interpretat ca fiind egal cu saltul δU_k :

$$\delta U_k = \alpha_k \mathbf{r}^{(k)}. \quad (1.169)$$

Putem concluziona că un salt elementar, δU_k , se propagă ca o undă simplă, amplitudinea undei, δU_k , este egală cu mărimea saltului, iar direcția de propagare este dată de vectorul propriu, $\mathbf{r}^{(k)}$. Comparând relația de mai sus cu definiția (1.154) a variabilelor caracteristice, vom identifica $\alpha_k = \partial w_k$. Deci variația variabilei caracteristice are semnificația de amplitudine a undei simple, iar mărimea acesteia este egală cu saltul δU_k . Viteza de propagare a undei simple este dată de valoarea proprie asociată vectorului propriu ce reprezintă unda simplă. Fie $\lambda_k(U)$ viteza de propagare a undei simple k .

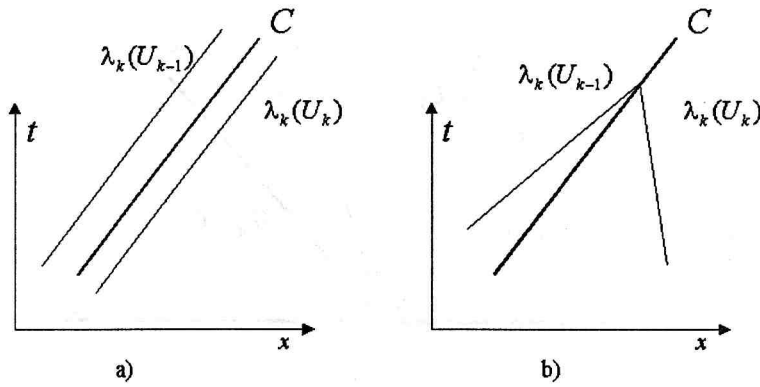


Fig. 1.11. Tipuri de unde neliniare; a) unde liniar degenerate; b) unde neliniare.

Considerând saltul δU_k (1.168) mic, putem dezvolta în serie Taylor $\lambda_k(U_k)$:

$$\lambda_k(U_k) = \lambda_k(U_{k-1} + \delta U_k) = \lambda_k(U_{k-1}) + \frac{\partial \lambda_k}{\partial U} \delta U_k + O(\delta U_k^T \cdot \delta U_k). \quad (1.170)$$

Deci, în primă aproximație, rezultă:

$$\lambda_k(U_k) - \lambda_k(U_{k-1}) \cong \frac{\partial \lambda_k}{\partial U} \delta U_k = \alpha_k \mathbf{r}^{(k)} \frac{\partial \lambda^{(k)}}{\partial U}. \quad (1.171)$$

Vom distinge două situații (Colella și Puckett, [68]):

a) Unde *liniar degenerate* dacă, pentru orice vector U , avem relațiile:

$$\mathbf{r}^{(k)} \frac{\partial \lambda^{(k)}}{\partial U} = 0, \quad k = 1, 2, \dots, m. \quad (1.172)$$

La fel ca în cazul liniar, vectorii $\mathbf{r}^{(k)}$ și $\frac{\partial \lambda^{(k)}}{\partial U}$ sunt ortogonali, (fig. 1.11a)), iar viteza de propagare a undelor simple rămâne constantă;

b) Unde *neliniare* dacă, pentru orice vector U , există relațiile:

$$\mathbf{r}^{(k)} \frac{\partial \lambda^{(k)}}{\partial U} \neq 0, \quad k = 1, 2, \dots, m, \quad (1.173)$$

deci direcțiile $\mathbf{r}^{(k)}$ și $\frac{\partial \lambda^{(k)}}{\partial U}$ nu sunt niciodată perpendiculare (fig. 1.11b)), iar la traversarea discontinuității k viteza λ_k se modifică.

Undele liniar degenerate satisfac întotdeauna condiția de entropie, pe când pentru cele neliniare trebuie impusă restricția:

$$\lambda_k(U_{k-1}) > C > \lambda_k(U_k). \quad (1.174)$$

Se asigură astfel *convergența* caracteristicilor într-o undă de șoc, pentru a evita situația în care caracteristicile diverg, caz corespunzător undelor de șoc de expansiune.

1.9. ECUAȚII LINIARE DE ORDINUL AL DOILEA

Cunoscând că o ecuație diferențială de ordinul n este echivalentă cu un sistem diferențial de n ecuații de ordinul întâi, analiza tipului și a proprietăților unei ecuații sau sistem de ordin superior se poate face prin aceleași metode prezentate în secțiunea 1.3.1 și paragraful 1.6. Vom exemplifica, mai jos, pentru ecuația diferențială cu derivate parțiale de *ordinul doi cvasiliniară* în două dimensiuni:

$$a \frac{\partial^2 \varphi}{\partial x^2} + b \frac{\partial^2 \varphi}{\partial x \partial y} + c \frac{\partial^2 \varphi}{\partial y^2} + d \frac{\partial \varphi}{\partial x} + e \frac{\partial \varphi}{\partial y} + f \varphi = g. \quad (1.175)$$

Funcțiile a, b, c, d, e, f, g pot depinde, în general, de $x, y, \partial\varphi/\partial x, \partial\varphi/\partial y$, și φ . Dacă aceste funcții nu depind decât de variabilele independente x, y (sau sunt constante), ecuația este liniară. În caz contrar, ecuația este neliniară (Șabac, [258]).

Tipul unei ecuații diferențiale de ordinul doi este determinat de termenii ce conțin derivatele de ordin doi, deci este suficient să analizăm partea omogenă:

$$a \frac{\partial^2 \varphi}{\partial x^2} + b \frac{\partial^2 \varphi}{\partial x \partial y} + c \frac{\partial^2 \varphi}{\partial y^2} = 0. \quad (1.176)$$

Ecuația de ordinul doi (1.176) poate fi transformată într-un sistem diferențial de ordinul întâi (Anderson și col., [7]). Într-adevăr, dacă vom nota:

$$u = \frac{\partial \varphi}{\partial x}, \quad v = \frac{\partial \varphi}{\partial y}, \quad (1.177)$$

atunci, evident, rezultă:

$$\frac{\partial^2 \varphi}{\partial x^2} = \frac{\partial u}{\partial x}, \quad \frac{\partial^2 \varphi}{\partial y^2} = \frac{\partial v}{\partial y}, \quad \frac{\partial^2 \varphi}{\partial x \partial y} = \frac{\partial u}{\partial y} = \frac{\partial v}{\partial x}, \quad (1.178)$$

iar sistemul de ordinul întâi, având ca necunoscute funcțiile u și v se poate scrie:

$$\begin{aligned} a \frac{\partial u}{\partial x} + b \frac{\partial u}{\partial y} + c \frac{\partial v}{\partial y} &= 0, \\ \frac{\partial u}{\partial y} &= \frac{\partial v}{\partial x}. \end{aligned} \quad (1.179)$$

Vom observa că sistemul de ordinul întâi, asociat ecuației de ordinul doi nu este unic, existând, teoretic, o infinitate de variante, funcție de reprezentarea termenului ce conține derivata mixtă $\frac{\partial^2 \varphi}{\partial x \partial y}$.

Sistemul (1.179) poate fi scris în forma matriceală:

$$\begin{bmatrix} a & 0 \\ 0 & -1 \end{bmatrix} \frac{\partial \mathbf{U}}{\partial x} + \begin{bmatrix} b & c \\ 1 & 0 \end{bmatrix} \frac{\partial \mathbf{U}}{\partial y} = 0, \quad \mathbf{U} = \begin{bmatrix} u \\ v \end{bmatrix}. \quad (1.180)$$

Luând soluția de forma:

$$\mathbf{U} = \hat{\mathbf{U}} e^{i(d_x x + d_y y)}, \quad (1.181)$$

(secțiunea 1.3.1 și paragraful 1.6), se obține ecuația caracteristică:

$$\det \left(d_x \begin{bmatrix} a & 0 \\ 0 & -1 \end{bmatrix} + d_y \begin{bmatrix} b & c \\ 1 & 0 \end{bmatrix} \right) = 0, \quad (1.182)$$

sau, dezvoltând determinantul:

$$a \left(\frac{d_x}{d_y} \right)^2 + b \left(\frac{d_x}{d_y} \right) + c = 0, \quad (1.183)$$

ecuație care are rădăcinile:

$$\left(\frac{d_x}{d_y} \right)_{1,2} = \frac{-b \pm \sqrt{b^2 - 4ac}}{2a}. \quad (1.184)$$

În funcție de discriminantul:

$$\Delta = b^2 - 4ac, \quad (1.185)$$

vom distinge următoarele cazuri: a) eliptic, dacă $\Delta < 0$, b) parabolic, dacă $\Delta = 0$, c) hiperbolic, dacă $\Delta > 0$.

În cazul ecuațiilor diferențiale multidimensionale, extinderea metodei prezentată mai sus (transformarea ecuației în sistem de ordinul întâi), nu ridică nici o dificultate.

1.9.1. Forma canonică

Prin formă canonică a unei ecuații cu derivate parțiale se înțelege forma în care coeficientul derivatei mixte este nul (Șabac, [258]). Obținerea formei canonice se poate face printr-o transformare de coordonate convenabil aleasă, funcție de tipul hiperbolic, parabolic sau eliptic al acesteia.

Să considerăm o transformare geometrică de la sistemul de coordonate (x, y) , la referențialul (ξ, η) dată de relații de forma (Anderson și col., [7]):

$$\xi = \xi(x, y), \quad \eta = \eta(x, y). \quad (1.186)$$

Prin definiție, *matricea iacobiană a transformării*, \mathbf{J} , este:

$$\mathbf{J} = \begin{bmatrix} \xi_x & \eta_x \\ \xi_y & \eta_y \end{bmatrix}, \quad (1.187)$$

unde am notat:

$$\xi_x = \frac{\partial \xi}{\partial x}, \quad \xi_y = \frac{\partial \xi}{\partial y}, \quad \eta_x = \frac{\partial \eta}{\partial x}, \quad \eta_y = \frac{\partial \eta}{\partial y}. \quad (1.188)$$

Transformarea este nesingulară dacă determinantul $\det(\mathbf{J})$ este nenul:

$$\det(\mathbf{J}) = \xi_x \eta_y - \xi_y \eta_x \neq 0. \quad (1.189)$$

Vom rescrie ecuația diferențială (1.175) în noul sistem de referință (ξ, η) . Avem succesiv:

$$\frac{\partial u}{\partial x} = \frac{\partial u}{\partial \xi} \xi_x + \frac{\partial u}{\partial \eta} \eta_x, \quad \frac{\partial^2 u}{\partial x^2} = \frac{\partial^2 u}{\partial \xi^2} \xi_x^2 + \frac{\partial^2 u}{\partial \eta^2} \eta_x^2 + 2 \frac{\partial^2 u}{\partial \xi \partial \eta} \xi_x \eta_x + \frac{\partial u}{\partial \xi} \xi_{xx} + \frac{\partial u}{\partial \eta} \eta_{xx} \text{ etc..} \quad (1.190)$$

Introducând (1.190) în ecuația (1.175) și grupând termenii, obținem o ecuație de forma:

$$A \frac{\partial^2 u}{\partial \xi^2} + B \frac{\partial^2 u}{\partial \xi \partial \eta} + C \frac{\partial^2 u}{\partial \eta^2} + F\left(\frac{\partial u}{\partial \xi}, \frac{\partial u}{\partial \eta}, u, \xi, \eta\right) = 0, \quad (1.191)$$

în care:

$$A = a\xi_x^2 + b\xi_x \xi_y + c\xi_y^2, \quad B = 2a\xi_x \eta_x + b\xi_x \eta_y + b\xi_y \eta_x + 2c\xi_y \eta_y, \quad C = a\eta_x^2 + b\eta_x \eta_y + c\eta_y^2. \quad (1.192)$$

Este ușor de verificat că discriminantul ecuației (1.191) este:

$$\Delta = B^2 - 4AC = (b^2 - 4ac) \det(\mathbf{J}), \quad (1.193)$$

cea ce pune în evidență *prezervarea tipului ecuației diferențiale la aplicarea unei transformări geometrice nesingulare*.

Să considerăm cazul ecuației cu coeficienți constanți și să notăm cu $\lambda_{1,2}$ cele două rădăcini ale ecuației caracteristice (1.183). Vom prezenta modalitatea de obținere a formei canonice, precum și o serie de proprietăți matematice și fizice pentru cele trei tipuri de ecuații: hiperbolic, parabolic și eliptic.

1.9.2. Ecuații hiperbolice

În acest caz, rădăcinile $\lambda_{1,2}$ (1.183) sunt reale și distincte. Construim transformarea geometrică:

$$y + \lambda_1 x = \xi + \eta, \quad y + \lambda_2 x = \xi - \eta, \quad (1.194)$$

sau, explicit:

$$\xi = y + \frac{1}{2}(\lambda_1 + \lambda_2)x, \quad \eta = \frac{1}{2}(\lambda_1 - \lambda_2)x. \quad (1.195)$$

Metricele transformării vor fi:

$$\xi_x = \frac{1}{2}(\lambda_1 + \lambda_2) = -\frac{b}{2a}, \quad \xi_y = 1, \quad \eta_x = \frac{1}{2}(\lambda_1 - \lambda_2) = \frac{\Delta}{2a}, \quad \eta_y = 0. \quad (1.196)$$

Se poate verifica imediat că, înlocuind în (1.192), obținem:

$$A = -\frac{\Delta^2}{4a}, \quad B = 0, \quad C = \frac{\Delta^2}{4a}, \quad (1.197)$$

iar ecuația (1.191) devine:

$$-\frac{\Delta^2}{4a} \frac{\partial^2 u}{\partial \xi^2} + \frac{\Delta^2}{4a} \frac{\partial^2 u}{\partial \eta^2} + F\left(\frac{\partial u}{\partial \xi}, \frac{\partial u}{\partial \eta}, u, \xi, \eta\right) = 0. \quad (1.198)$$

Înmulțind cu $\left(-\frac{4a}{\Delta^2}\right)$, se obține *forma canonică a ecuației de tip hiperbolic*:

$$\frac{\partial^2 u}{\partial \xi^2} - \frac{\partial^2 u}{\partial \eta^2} + G\left(\frac{\partial u}{\partial \xi}, \frac{\partial u}{\partial \eta}, u, \xi, \eta\right) = 0, \quad (1.199)$$

unde:

$$G\left(\frac{\partial u}{\partial \xi}, \frac{\partial u}{\partial \eta}, u, \xi, \eta\right) = \left(-\frac{4a}{\Delta^2}\right) F\left(\frac{\partial u}{\partial \xi}, \frac{\partial u}{\partial \eta}, u, \xi, \eta\right). \quad (1.200)$$

Pentru ecuațiile hiperbolice se poate construi o transformare geometrică de tipul (1.186) astfel încât, în coordonatele (ξ, η) , ecuația să devină:

$$\frac{\partial^2 u}{\partial \xi \partial \eta} = G\left(\frac{\partial u}{\partial \xi}, \frac{\partial u}{\partial \eta}, u, \xi, \eta\right). \quad (1.201)$$

Ecuația (1.201) poartă numele de *formă caracteristică* a ecuației diferențiale hiperbolice. Pentru a obține forma caracteristică vom construi transformarea geometrică astfel încât coeficienții A , și C , (1.192), să se anuleze:

$$A = a\xi_x^2 + b\xi_x\xi_y + c\xi_y^2 = 0, \quad C = a\eta_x^2 + b\eta_x\eta_y + c\eta_y^2 = 0. \quad (1.202)$$

Din (1.202), obținem ecuația:

$$a\left(\frac{\xi_x}{\xi_y}\right)^2 + b\left(\frac{\xi_x}{\xi_y}\right) + c = 0, \quad (1.203)$$

În lungul suprafețelor $\xi(x, y) = \text{const.}$, vom avea:

$$d\xi = \xi_x dx + \xi_y dy = 0, \quad (1.204)$$

sau:

$$\frac{dy}{dx} = -\frac{\xi_x}{\xi_y}. \quad (1.205)$$

Înlocuind în (1.203), obținem:

$$a\left(\frac{dy}{dx}\right)^2 + b\left(\frac{dy}{dx}\right) + c = 0. \quad (1.206)$$

Cele două rădăcini reale ale ecuației de mai sus sunt:

$$\left.\frac{dy}{dx}\right|_{1,2} = \frac{b \pm \sqrt{b^2 - 4ac}}{2a} = \lambda_{1,2}. \quad (1.207)$$

Curbele definite de ecuațiile diferențiale (1.207) se numesc *caracteristici*. Aceste ecuații se pot integra și obținem:

$$C^+ : y - \lambda_1 x = \text{const.}, \quad C^- : y - \lambda_2 x = \text{const.} \quad (1.208)$$

Prin fiecare punct din spațiul (x, y) trec două caracteristici (fig. 1.12). În cazul în care coeficienții a , b , c nu mai sunt constanți, ecuațiile (1.207) pot fi integrate, fie exact, fie numeric, admitând valori constante pentru aceștia într-o vecinătate a unui punct din domeniu, iar *caracteristicile nu vor mai fi niște drepte*. Domeniul cuprins între caracteristici pentru $y < y_p$ se numește *domeniul de dependență* al punctului P , iar domeniul corespunzător valorilor $y > y_p$, *domeniul de influență al punctului P* . Soluția în P se va dezvolta funcție de informația din domeniul său de dependență, iar la rândul său punctul

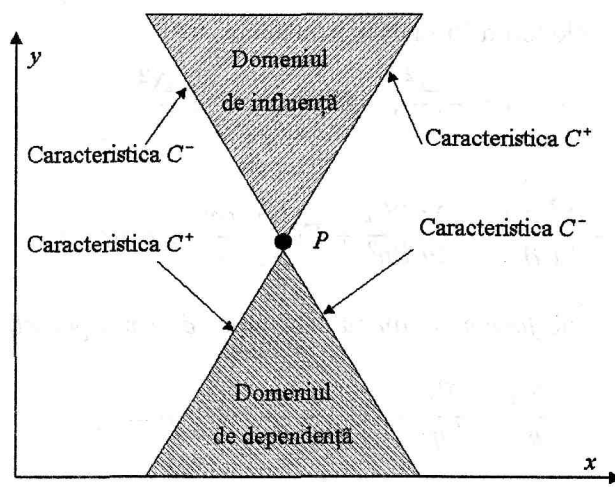


Fig. 1.12. Domeniul de dependență și domeniul de influență pentru ecuații hiperbolice.

P va determina dezvoltarea soluției doar în punctele din domeniul său de influență. O proprietate foarte importantă a ecuațiilor hiperbolice este *limitarea spațio-temporală a domeniilor de dependență și, respectiv, de influență*.

Construind transformarea geometrică de forma:

$$\xi = y - \lambda_1 x, \quad \eta = y - \lambda_2 x, \quad (1.209)$$

ale cărei metriche sunt:

$$\xi_x = -\lambda_1, \quad \xi_y = 1, \quad \eta_x = -\lambda_2, \quad \eta_y = 1, \quad (1.210)$$

se obține, din (1.192):

$$A = 0, \quad B = -\frac{b^2}{2a}, \quad C = 0. \quad (1.211)$$

Deci forma (1.191) devine identică cu forma canonică (1.201):

$$\frac{\partial^2 u}{\partial \xi \partial \eta} = \frac{2a}{b^2} F\left(\frac{\partial u}{\partial \xi}, \frac{\partial u}{\partial \eta}, u, \xi, \eta\right). \quad (1.212)$$

Exemplu. Să considerăm ecuația undelor (1.10):

$$\frac{\partial^2 u}{\partial t^2} = \alpha^2 \frac{\partial^2 u}{\partial x^2}. \quad (1.213)$$

Vom aplica rezultatele anterioare, făcând $a = 1$, $c = -\alpha^2$, $b = F = 0$. Deoarece discriminantul (1.185) este pozitiv, ($\Delta = b^2 - 4ac = 4\alpha^2$), ecuația este de *tip hiperbolic*. Caracteristicile ecuației sunt definite de (1.207), $\left. \frac{dx}{dt} \right|_{1,2} = \pm \alpha$. Integrând aceste ecuații, obținem curbele caracteristice (1.208):

$$C^+ : x + \alpha t = \text{const.}, \quad C^- : x - \alpha t = \text{const.} \quad (1.214)$$

Făcând transformarea geometrică (1.209):

$$\xi = x + \alpha t, \quad \eta = x - \alpha t, \quad (1.215)$$

obținem forma caracteristică (1.212):

$$\frac{\partial^2 u}{\partial \xi \partial \eta} = 0. \quad (1.216)$$

Soluția generală a acestei ecuații este cunoscută sub numele de *soluția D'Alembert*:

$$u(\xi, \eta) = f_1(\xi) + f_2(\eta), \quad (1.217)$$

unde f_1 și f_2 sunt două funcții arbitrare de clasă C^2 . Revenind la variabilele (t, x) , obținem:

$$u(t, x) = f_1(x + \alpha t) + f_2(x - \alpha t). \quad (1.218)$$

Determinarea completă a soluției presupune determinarea funcțiilor f_1 și f_2 . Aceasta este posibil doar dacă specificăm *condițiile inițiale* ale problemei. În primul rând, apare evident că, pentru a avea *soluție unică*, sunt necesare *două condiții inițiale* de forma:

$$t = 0, \quad u(0, x) = u_0(x), \quad \frac{\partial u}{\partial t} = v_0(x). \quad (1.219)$$

Într-adevăr, din (1.218) și (1.219) obținem sistemul:

$$f_1(x) + f_2(x) = u_0(x), \quad f_1'(x) - f_2'(x) = \frac{1}{\alpha} v_0(x). \quad (1.220)$$

Rezolvând sistemul de mai sus obținem:

$$f_1(x) = \frac{1}{2} \left[u_0(x) + \frac{1}{\alpha} \int_{x_0}^x v_0(x') dx' \right], \quad f_2(x) = \frac{1}{2} \left[u_0(x) - \frac{1}{\alpha} \int_{x_0}^x v_0(x') dx' \right], \quad (1.221)$$

unde x_0 este un punct arbitrar fixat. Înlocuind în (1.218), obținem soluția ecuației hiperbolice (1.213) cu condițiile inițiale (1.219):

$$u(t, x) = \frac{1}{2} [u_0(x + \alpha t) + u_0(x - \alpha t)] + \frac{1}{2\alpha} \int_{x-\alpha t}^{x+\alpha t} v_0(x') dx'. \quad (1.222)$$

Constatăm că *soluția depinde în mod continuu de condițiile inițiale ale problemei*. Termenul din paranteza dreaptă din relația de mai sus reprezintă *informația care se propagă în lungul celor două caracteristici* care trec prin punctul $P(x, t)$, iar ultimul termen, *informația conținută în domeniul dintre caracteristici*. Urmărind fig. 1.12, putem interpreta, în hyperspațiul $(x, t = y)$, *domeniul cuprins între caracteristici pentru $t < t_P$, ca domeniul de dependență al punctului P , iar domeniul dintre caracteristici pentru $t > t_P$, ca domeniu de influență al punctului P* . Într-adevăr, o perturbație oarecare va influența soluția în punctul P , doar dacă aceasta apare într-un punct din domeniul de dependență. Invers, o perturbație apărută în P va afecta doar punctele cuprinse în domeniul de influență și nu va avea nici un efect asupra celorlalte puncte.

Deoarece soluția ecuației depinde în mod continuu de condițiile inițiale, apare problema formulării corecte a acestor condiții pentru asigurarea unicității soluției. O ecuație diferențială hiperbolică, cu condiții inițiale date pe o curbă arbitrară C , poartă numele de *problemă Cauchy*. Pentru a exemplifica implicațiile formulării condițiilor inițiale asupra unicității soluției, să considerăm ecuația caracteristică (1.216) având de data aceasta „condițiile inițiale” specificate în lungul unei caracteristici:

$$\xi = 0, \quad u(0, \eta) = \varphi(\eta), \quad \frac{\partial u}{\partial \xi}(0, \eta) = \psi(\eta). \quad (1.223)$$

În vecinătatea lui $\xi = 0$, putem reprezenta funcția $u(\xi, \eta)$ printr-o serie Taylor:

$$u(\xi, \eta) = u(0, \eta) + \xi \frac{\partial u}{\partial \xi}(0, \eta) + \frac{1}{2} \xi^2 \frac{\partial^2 u}{\partial \xi^2}(0, \eta) + \dots \quad (1.224)$$

Din condițiile inițiale, se cunosc $u(0, \eta)$ și, respectiv, $\partial u / \partial \xi|_{(0, \eta)}$. Ne propunem să determinăm următorul termen din seria (1.224), deci derivata $\partial^2 u / \partial \xi^2|_{(0, \eta)}$. Dacă derivăm ecuația caracteristică (1.216) în raport cu ξ și schimbăm ordinea de derivare, obținem:

$$\frac{\partial}{\partial \xi} \left(\frac{\partial^2 u}{\partial \xi \partial \eta} \right) = \frac{\partial}{\partial \eta} \left(\frac{\partial^2 u}{\partial \xi^2} \right) = 0. \quad (1.225)$$

Soluția ecuației de mai sus este:

$$\frac{\partial^2 u}{\partial \xi^2}(\xi, \eta) = f(\xi), \quad (1.226)$$

unde $f(\xi)$ este o *funcție oarecare*, indefinit derivabilă. Rezultă:

$$\frac{\partial^2 u}{\partial \xi^2}(0, \eta) = f(0). \quad (1.227)$$

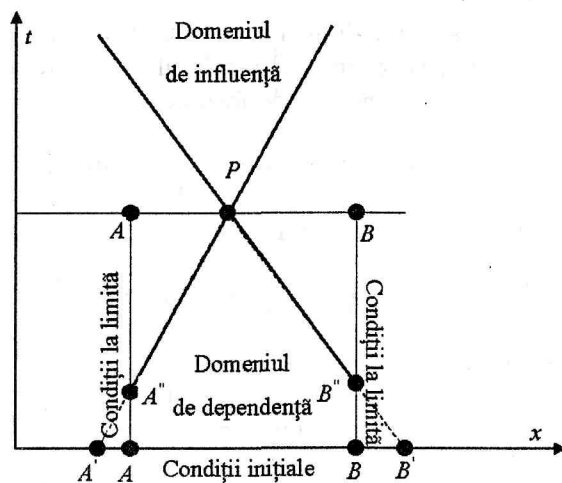


Fig. 1.13. Condiții la limită pentru ecuația undelor.

În același timp, să observăm că, dacă impunem condiția ca ecuația (1.216) să fie satisfăcută în lungul caracteristicii $\xi = 0$, obținem:

$$\frac{\partial^2 u}{\partial \xi \partial \eta}(0, \eta) = 0. \quad (1.228)$$

Dar, din a doua condiție (1.223), se obține:

$$\frac{\partial u}{\partial \xi}(0, \eta) = \psi'(\eta). \quad (1.229)$$

În consecință:

$$\psi'(\eta) = 0, \quad \psi(\eta) = c, \quad (1.230)$$

unde c este o constantă. Înlocuind (1.227) și (1.230) în (1.224), obținem:

$$u(\xi, \eta) = \varphi(\eta) + \xi c + \frac{1}{2}\xi^2 f(0) + \frac{1}{6}\xi^3 f'(0) + \dots \quad (1.231)$$

Deci, în vecinătatea lui $\xi = 0$, soluția este de forma:

$$u(\xi, \eta) = \varphi(\eta) + g(\xi), \quad (1.232)$$

unde funcția:

$$g(\xi) = \xi c + \frac{1}{2}\xi^2 f(0) + \frac{1}{6}\xi^3 f'(0) + \dots, \quad (1.233)$$

nu poate fi complet determinată.

Concluzia este că, *pentru a avea problemă bine pusă*, în sensul ca *soluția să existe și să fie unică*, *condițiile inițiale nu vor fi impuse în lungul unei caracteristici*.

Să considerăm acum ca domeniu de integrare intervalul $[A, B]$. Constatăm că, pentru orice $t > 0$, există puncte pentru care picioarele caracteristicilor, la $t = 0$, cad în afara intervalului considerat (fig. 1.13). În consecință, pentru ca soluția în punctele respective să poată fi determinată în mod unic, este necesar ca să înlocuim informația de la momentul inițial, care ar proveni din punctele fictive A' și, respectiv, B' , cu informație care provine din $A' \equiv A$ și, respectiv, $B' \equiv B$, ambele pentru $t > 0$. Altfel spus, este necesar să formulăm *condiții la limită* pentru ecuația diferențială. Condițiile la limită au semnificația unor *condiții auxiliare*, care să suplinească informația ce ar trebui să provină din *condițiile inițiale*.

O primă problemă care apare în formularea corectă a condițiilor la limită este cea a stabilirii numărului de condiții necesare în punctele frontierei domeniului. Având în vedere că transmiterea informației se face în lungul caracteristicilor, numărul de condiții la limită într-un punct de pe frontieră va fi egal cu numărul de caracteristici ce trec prin punctul respectiv și care sunt orientate spre interiorul domeniului.

Pentru ecuația undelor, vom avea nevoie de *două condiții la limită*, câte una în fiecare capăt al intervalului de analiză. Forma generală a condițiilor la limită este (Șabac, [258]):

$$x = x_A, \quad a_1 u(t, x_A) + b_1 \frac{\partial u}{\partial x}(t, x_A) = u_A(t), \quad (1.234)$$

$$x = x_B, \quad a_2 u(t, x_B) + b_2 \frac{\partial u}{\partial x}(t, x_B) = u_B(t), \quad (1.235)$$

în care a_1, b_1, a_2, b_2 sunt constante date. Dacă $b_1 = b_2 = 0$ condițiile la limită se numesc de *tip Dirichlet*:

$$u(t, x_A) = u_A(t), \quad u(t, x_B) = u_B(t), \quad (1.236)$$

iar dacă $a_1 = a_2 = 0$, condițiile la limită sunt de *tip Neumann*:

$$\frac{\partial u}{\partial n}(t, x_A) = q_A(t), \quad \frac{\partial u}{\partial n}(t, x_B) = q_B(t), \quad (1.237)$$

unde am notat cu \mathbf{n} normala la frontiera domeniului, iar funcțiile date $q_A(t)$ și $q_B(t)$ au semnificația unui *flux* al mărimii u prin frontieră. În cazul general, condițiile la limită de forma (1.234), (1.235) poartă numele de *condiții mixte*.

Să observăm că, între condițiile la limită și cele inițiale, există o legătură rezultată din condiția ca, pe frontiera domeniului, condițiile inițiale (1.219) să verifice condițiile la limită (1.234) și (1.235):

$$a_1 u_0(x_A) + b_1 \left. \frac{\partial u_0}{\partial x} \right|_{x_A} = u_A(0), \quad a_2 u_0(x_B) + b_2 \left. \frac{\partial u_0}{\partial x} \right|_{x_B} = u_B(0), \quad (1.238)$$

și, respectiv:

$$a_1 v_0(x_A) + b_1 \frac{\partial v_0}{\partial x}(x_A) = u'_A(0), \quad a_2 v_0(x_B) + b_2 \frac{\partial v_0}{\partial x}(x_B) = u'_B(0). \quad (1.239)$$

Să reluăm soluționarea ecuației undelor unidimensionale (1.213), de data aceasta pe intervalul $[x_A, x_B]$, având condițiile inițiale (1.219), iar condițiile la limită Dirichlet de forma:

$$x = x_A, \quad u(t, x_A) = 0, \quad (1.240)$$

$$x = x_B, \quad u(t, x_B) = 0. \quad (1.241)$$

Compatibilitatea dintre condițiile inițiale și cele la limită impune:

$$u_0(x_A) = u_0(x_B) = 0, \quad v_0(x_A) = v_0(x_B) = 0. \quad (1.242)$$

Metoda tradițională de rezolvare este *metoda separării variabilelor* (sau *metoda Daniel Bernoulli și Fourier*): funcția necunoscută $u(x, t)$ se descompune în produsul a două funcții ce depind, fiecare, de o singură variabilă:

$$u(x, t) = \phi(x)\theta(t). \quad (1.243)$$

Introducând în ecuația (1.213), obținem:

$$\phi(x)\theta''(t) - \alpha^2 \phi''(x)\theta(t) = 0. \quad (1.244)$$

Eliminând soluția banală ($u \equiv 0$), ecuația de mai sus se poate pune sub forma:

$$\frac{1}{\alpha^2} \frac{\theta''(t)}{\theta(t)} = \frac{\phi''(x)}{\phi(x)}. \quad (1.245)$$

Deoarece membrul stâng al acestei relații este o funcție ce depinde doar de t , membrul drept, o funcție ce depinde doar de x , iar relația trebuie satisfăcută pentru orice combinație a variabilelor independente x, t , rezultă că:

$$\frac{1}{\alpha^2} \frac{\theta''(t)}{\theta(t)} = k, \quad \frac{\phi''(x)}{\phi(x)} = k, \quad (1.246)$$

unde k este o constantă.

Pentru fiecare valoare k_p a parametrului k , soluția generală a primei ecuații (1.246) va fi:

$$\theta_p(t) = C_{3p} \sin\left(p \frac{\pi \alpha}{l} t\right) + C_{4p} \cos\left(p \frac{\pi \alpha}{l} t\right). \quad (1.260)$$

În final, înlocuind (1.260) și (1.259) în relația (1.243), obținem soluțiile:

$$u_p(x, t) = \left[A_p \sin\left(p \frac{\pi \alpha}{l} t\right) + B_p \cos\left(p \frac{\pi \alpha}{l} t\right) \right] \sin\left[p \frac{\pi(x - x_A)}{l}\right], \quad p = 1, 2, \dots, \quad (1.261)$$

în care am notat:

$$A_p = C_{3p} C_p, \quad B_p = C_{4p} C_p. \quad (1.262)$$

Deoarece ecuația (1.213) este liniară și fiecare dintre funcțiile $u_p(x, t)$ satisface condițiile la limită (1.240) și (1.241), putem aplica principiul superpoziției, deci putem scrie soluția însumând soluțiile particulare (1.261):

$$u(x, t) = \sum_{p=1}^{\infty} u_p(x, t) = \sum_{p=1}^{\infty} \left[A_p \sin\left(p \frac{\pi \alpha}{l} t\right) + B_p \cos\left(p \frac{\pi \alpha}{l} t\right) \right] \sin\left[p \frac{\pi(x - x_A)}{l}\right]. \quad (1.263)$$

Pentru determinarea constantelor A_p și B_p vom apela la condițiile inițiale. Astfel, din prima condiție (1.219) obținem:

$$u(x, 0) = \sum_{p=1}^{\infty} B_p \sin\left[p \frac{\pi(x - x_A)}{l}\right] = u_0(x), \quad (1.264)$$

iar din a doua relație (1.219):

$$\frac{\partial u}{\partial t}(x, 0) = \sum_{p=1}^{\infty} A_p p \frac{\pi \alpha}{l} \sin\left[p \frac{\pi(x - x_A)}{l}\right] = v_0(x). \quad (1.265)$$

Înmulțim relațiile de mai sus cu $\sin\left[q \frac{\pi}{l}(x - x_A)\right]$, $q = 1, 2, \dots$ și integrăm pe intervalul $[x_A, x_B]$. Vom obține:

$$\begin{aligned} \sum_{p=1}^{\infty} B_p \int_{x_A}^{x_B} \sin\left[p \frac{\pi}{l}(x - x_A)\right] \sin\left[q \frac{\pi}{l}(x - x_A)\right] dx &= \int_{x_A}^{x_B} u_0(x) \sin\left[q \frac{\pi}{l}(x - x_A)\right] dx, \\ \sum_{p=1}^{\infty} A_p p \frac{\pi \alpha}{l} \int_{x_A}^{x_B} \sin\left[p \frac{\pi}{l}(x - x_A)\right] \sin\left[q \frac{\pi}{l}(x - x_A)\right] dx &= \int_{x_A}^{x_B} v_0(x) \sin\left[q \frac{\pi}{l}(x - x_A)\right] dx. \end{aligned}$$

Deoarece funcțiile trigonometrice sunt ortogonale, avem relațiile:

$$\int_{x_A}^{x_B} \sin\left[p \frac{\pi}{l}(x - x_A)\right] \sin\left[q \frac{\pi}{l}(x - x_A)\right] dx = \begin{cases} 0, & \text{dacă } p \neq q, \\ \frac{1}{2}l, & \text{dacă } p = q, \end{cases} \quad (1.266)$$

ceea ce ne permite să obținem:

$$B_p = \frac{2}{l} \int_{x_A}^{x_B} u_0(x) \sin\left[p \frac{\pi(x - x_A)}{l}\right] dx, \quad A_p = \frac{2}{p\pi\alpha} \int_{x_A}^{x_B} v_0(x) \sin\left[p \frac{\pi(x - x_A)}{l}\right] dx. \quad (1.267)$$

Relațiile de mai sus pun în evidență faptul că A_p și B_p sunt coeficienții dezvoltării în serie Fourier a funcțiilor ce reprezintă condițiile inițiale, $v_0(x)$ și, respectiv, $u_0(x)$. Se știe că, de regulă, șirul coeficienților Fourier este convergent către zero, iar valorile A_p și B_p scad atunci când p crește. Această proprietate permite ca, în aplicații practice, să trunchiem seria (1.263) la un număr finit de termeni, în funcție de precizia dorită pentru soluție.

O altă variantă de soluționare este bazată pe *analiza Fourier* prezentă în secțiunea 1.3.1. Analiza Fourier ar părea un caz particular al metodei separării variabilelor, în care funcțiile $\varphi(x)$ și $\theta(t)$ se

presupun de forma unor unde care se propagă în spațiu, respectiv timp. În fapt, analiza Fourier se dovedește mult mai eficientă, pentru că *elimină din start o serie de soluții care nu au semnificație fizică*.

Să considerăm o componentă Fourier a soluției de forma:

$$u_p(x, t) = \hat{u}_p e^{i(\nu_p x + \omega_p t)}, \quad (1.268)$$

unde \hat{u}_p este amplitudinea complexă a armonicei p , ν_p numărul de undă, ω_p pulsația undei. Să observăm că soluția ecuației (1.213) este, de fapt, reprezentată de *partea reală* a expresiei (1.268). Introducând (1.268) în ecuația (1.213), obținem:

$$(\omega_p^2 - \alpha^2 \nu_p^2) \hat{u}_p = 0. \quad (1.269)$$

Din condiția ca ecuația de mai sus să admită o soluție diferită de soluția banală se obține ecuația caracteristică:

$$\omega_p^2 - \alpha^2 \nu_p^2 = 0, \quad (1.270)$$

având soluțiile:

$$\omega_p = \pm \alpha \nu_p. \quad (1.271)$$

Înlocuind în (1.268), obținem:

$$u_p(x, t) = \hat{u}_p e^{i\nu_p(x \pm \alpha t)}. \quad (1.272)$$

Relația de mai sus arată că fiecare armonică este o suprapunere liniară a două *familii* de unde, de aceeași pulsație și același număr de undă, dar care se propagă în lungul a două curbe caracteristice distincte, C^+ și, respectiv, C^- :

$$C^+ : x + \alpha t = \text{const.}, \quad C^- : x - \alpha t = \text{const.} \quad (1.273)$$

Fie un punct P oarecare din hyperspațiul (x, t) . Domeniul cuprins între caracteristica C^+ și caracteristica C^- , pentru $t < t_p$, reprezintă *domeniul de dependență* al punctului P , iar domeniul corespunzător valorilor $t > t_p$, *domeniul de influență* al punctului P (fig. 1.12).

Considerând amplitudinea complexă de forma:

$$\hat{u}_p = \hat{u}_{pR} + i\hat{u}_{pI}, \quad (1.274)$$

și identificând partea reală a armonicei u_p , obținem:

$$u_p(x, t) = [\hat{u}_{pR} \cos(\nu x) - \hat{u}_{pI} \sin(\nu x)] \cos(\nu \alpha t) - [\hat{u}_{pI} \cos(\nu x) + \hat{u}_{pR} \sin(\nu x)] \sin(\nu \alpha t). \quad (1.275)$$

Impunerea condițiilor la limită (1.240) și (1.241) permite specificarea parametrului ν_p , și poate fi interpretată ca o *selecție*, dintre undele celor două familii, doar a celor care îndeplinesc *restricțiunile impuse de aceste condiții*. Într-adevăr, din condițiile la limită obținem:

$$[\hat{u}_{pR} \cos(\nu x_A) - \hat{u}_{pI} \sin(\nu x_A)] \cos(\nu \alpha t) - [\hat{u}_{pI} \cos(\nu x_A) + \hat{u}_{pR} \sin(\nu x_A)] \sin(\nu \alpha t) = 0,$$

$$[\hat{u}_{pR} \cos(\nu x_B) - \hat{u}_{pI} \sin(\nu x_B)] \cos(\nu \alpha t) - [\hat{u}_{pI} \cos(\nu x_B) + \hat{u}_{pR} \sin(\nu x_B)] \sin(\nu \alpha t) = 0.$$

Deoarece relațiile de mai sus trebuie satisfăcute pentru orice valoare a timpului t , este necesar și *suficient* ca:

$$\hat{u}_{pR} \cos(\nu_p x_A) - \hat{u}_{pI} \sin(\nu_p x_A) = 0, \quad \hat{u}_{pR} \cos(\nu_p x_B) - \hat{u}_{pI} \sin(\nu_p x_B) = 0, \quad (1.277)$$

și, respectiv:

$$\hat{u}_{pI} \cos(\nu_p x_A) + \hat{u}_{pR} \sin(\nu_p x_A) = 0, \quad \hat{u}_{pI} \cos(\nu_p x_B) + \hat{u}_{pR} \sin(\nu_p x_B) = 0. \quad (1.278)$$

Condiția de existență a unei soluții distincte de cea banală este ca determinanții matricelor sistemelor (1.277) și (1.278) să se anuleze:

$$\begin{vmatrix} \cos(\nu_p x_A) & \pm \sin(\nu_p x_A) \\ \cos(\nu_p x_B) & \pm \sin(\nu_p x_B) \end{vmatrix} = \pm \sin[\nu_p(x_B - x_A)] = 0. \quad (1.279)$$

Soluțiile acestei ecuații sunt:

$$v_p = p \frac{\pi}{l}, \quad p = 1, 2, \dots, \quad l = x_B - x_A. \quad (1.280)$$

Soluțiile sistemelor (1.277) și (1.278) sunt:

$$\hat{u}_{pR} = \hat{u}_{pI} \tan \left(p \frac{\pi}{l} x_A \right) = \hat{u}_{pI} \tan \left(p \frac{\pi}{l} x_B \right), \quad \hat{u}_{pI} = -\hat{u}_{pR} \tan \left(p \frac{\pi}{l} x_A \right) = -\hat{u}_{pR} \tan \left(p \frac{\pi}{l} x_B \right). \quad (1.281)$$

Înlocuind în (1.275), obținem:

$$u_p(x, t) = \sin \left[p \frac{\pi}{l} (x - x_A) \right] \left[A_p \cos \left(p \frac{\pi}{l} \alpha t \right) + B_p \sin \left(p \frac{\pi}{l} \alpha t \right) \right], \quad p = 1, 2, \dots, \quad (1.282)$$

unde am notat:

$$A_p = -\frac{\hat{u}_{pI}}{\cos \left(p \frac{\pi}{l} x_A \right)}, \quad B_p = -\frac{\hat{u}_{pI}}{\cos \left(p \frac{\pi}{l} x_A \right)}. \quad (1.283)$$

Soluția (1.282) este identică cu cea obținută prin metoda separării variabilelor (1.261). În continuare, se procedează la superpoziția componentelor Fourier și determinarea coeficienților A_p și B_p din condițiile inițiale, obținând expresiile (1.267).

1.9.3. Ecuații parabolice

În cazul parabolic, $\Delta = b^2 - 4ac = 0$, iar ecuația caracteristică (1.183) are o rădăcină reală dublă, $\lambda_1 = \lambda_2 = \lambda = -\frac{b}{2a}$. Vom construi o transformare geometrică de forma:

$$\xi = \lambda x + y, \quad \eta = x + \alpha y, \quad (1.284)$$

care satisface condiția (1.189), unde α este un parametru oarecare. Vom avea:

$$\xi_x = \lambda, \quad \xi_y = 1, \quad \eta_x = 1, \quad \eta_y = \alpha, \quad (1.285)$$

și, înlocuind în (1.192), obținem:

$$A = 0, \quad B = 0, \quad C = a + b\alpha + c\alpha^2. \quad (1.286)$$

Forma canonică a ecuației parabolice va fi:

$$\frac{\partial^2 u}{\partial \eta^2} + G\left(\frac{\partial u}{\partial \xi}, \frac{\partial u}{\partial \eta}, u, \xi, \eta\right) = 0, \quad (1.287)$$

unde:

$$G\left(\frac{\partial u}{\partial \xi}, \frac{\partial u}{\partial \eta}, u, \xi, \eta\right) = \frac{1}{a + b\alpha + c\alpha^2} F\left(\frac{\partial u}{\partial \xi}, \frac{\partial u}{\partial \eta}, u, \xi, \eta\right). \quad (1.288)$$

Exemplu. Să considerăm ecuația de difuzie (1.2):

$$\frac{\partial u}{\partial t} = \alpha \frac{\partial^2 u}{\partial x^2}, \quad x_A < x < x_B, \quad (1.289)$$

având condiția inițială:

$$u(x, 0) = u_0(x). \quad (1.290)$$

Rezolvarea se poate face atât prin metoda *separării variabilelor*, cât și prin *analiza Fourier*. Vom prezenta, în cele ce urmează, doar rezolvarea prin analiză Fourier.

Considerăm o armonică p a soluției de forma:

$$u_p(x, t) = \hat{u}_p e^{\omega_p t} e^{i\nu_p x}, \quad (1.291)$$

ceea ce conduce la ecuația de valori proprii:

$$(\omega_p + \alpha \nu_p^2) \hat{u}_p = 0. \quad (1.292)$$

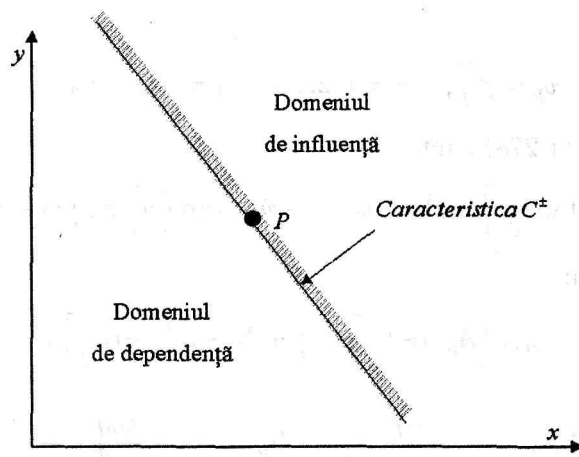


Fig. 1.14. Domeniul de dependență și domeniul de influență pentru ecuații parabolice.

Din ecuația caracteristică, $\omega_p + \alpha\nu_p^2 = 0$, obținem:

$$\omega_p = -\alpha\nu_p^2, \quad (1.293)$$

iar soluția (1.291) devine:

$$u_p(x, t) = \hat{u}_p e^{-\alpha\nu_p^2 t} e^{i\nu_p x}, \quad (1.294)$$

care reprezintă o *undă amortizată* care se propagă în spațiu, cu numărul de undă ν_p . Printr-un punct arbitrar P din hiperspațiul (x, t) trece o singură caracteristică, definită de:

$$t = t_P = \text{const.} \quad (1.295)$$

Domeniul $[x_A, x_B] \times [0, t_P]$ reprezintă domeniul de dependență al punctului P , iar domeniul $[x_A, x_B] \times [t_P, \infty]$, domeniul de influență al acestuia. Analiza caracteristicilor în punctele frontierei arată necesitatea formulării unei condiții la limită în fiecare punct al frontierei. Pentru cazul de față, să considerăm următoarele condiții la limită:

$$x = x_A, u(t, x_A) = 0, \quad x = x_B, u(t, x_B) = 0. \quad (1.296)$$

Considerând amplitudinea complexă de forma (1.274), vom identifica partea reală din (1.294):

$$u_p(x, t) = e^{-\alpha\nu_p^2 t} [\hat{u}_{pR} \cos(\nu_p x) - \hat{u}_{pI} \sin(\nu_p x)]. \quad (1.297)$$

Impunem condițiile la limită (1.296) și obținem sistemul omogen (1.277). Din condiția ca acesta să admită o soluție diferită de cea trivială, rezultă:

$$\nu_p = p \frac{\pi}{l}, \quad l = x_B - x_A, \quad p = 1, 2, \dots, \quad (1.298)$$

și, respectiv:

$$\hat{u}_{pI} = \hat{u}_{pR} \tan(\nu_p x_A) = \hat{u}_{pR} \tan(\nu_p x_B). \quad (1.299)$$

Introducem aceste rezultate în (1.297) și obținem:

$$u_p(x, t) = \frac{\hat{u}_{pI}}{\cos\left(p \frac{\pi}{l} x_A\right)} e^{-\alpha\left(p \frac{\pi}{l}\right)^2 t} \sin\left[p \frac{\pi}{l} (x - x_A)\right], \quad (1.300)$$

sau:

$$u_p(x, t) = A_p e^{-\alpha\left(p \frac{\pi}{l}\right)^2 t} \sin\left[p \frac{\pi}{l} (x - x_A)\right], \quad A_p = \frac{\hat{u}_{pI}}{\cos\left(p \frac{\pi}{l} x_A\right)}. \quad (1.301)$$

Suprapunând componentele Fourier, rezultă soluția ecuației de difuzie (1.289):

$$u(x, t) = \sum_{p=1}^{\infty} A_p e^{-\alpha\left(p \frac{\pi}{l}\right)^2 t} \sin\left[p \frac{\pi}{l} (x - x_A)\right]. \quad (1.302)$$

Impunând condiția inițială (1.290), obținem:

$$u(x, 0) = \sum_{p=1}^{\infty} A_p \sin \left[p \frac{\pi}{l} (x - x_A) \right] = u_0(x). \quad (1.303)$$

Înmulțim relația de mai sus cu $\sin \left[q \frac{\pi}{l} (x - x_A) \right]$, $q = 1, 2, \dots$, și integrăm pe intervalul $[x_A, x_B]$ rezultă:

$$\sum_{p=1}^{\infty} A_p \int_{x_A}^{x_B} \sin \left[p \frac{\pi}{l} (x - x_A) \right] \sin \left[q \frac{\pi}{l} (x - x_A) \right] dx = \int_{x_A}^{x_B} u_0(x) \sin \left[q \frac{\pi}{l} (x - x_A) \right] dx. \quad (1.304)$$

Deoarece funcțiile trigonometrice sunt ortogonale, are loc relația (1.266) și obținem:

$$A_p = \frac{2}{l} \int_{x_A}^{x_B} u_0(x) \sin \left[p \frac{\pi (x - x_A)}{l} \right] dx. \quad (1.305)$$

În cazul în care domeniul spațial de integrare este nemărginit, $-\infty < x < +\infty$, parametrul ν_p nu mai poate lua un *număr discret și numărabil de valori*. În această situație trebuie să admitem că ν_p are puterea continuului, iar sumarea armonicelor de forma (1.297) se transformă într-o integrală peste toate valorile parametrului ν_p :

$$u(x, t) = \int_0^{\infty} e^{-\alpha \nu_p^2 t} [\hat{u}_{pR} \cos(\nu_p x) - \hat{u}_{pI} \sin(\nu_p x)] d\nu_p. \quad (1.306)$$

Din condiția inițială (1.290), obținem:

$$\int_0^{\infty} [\hat{u}_{pR} \cos(\nu_p x) - \hat{u}_{pI} \sin(\nu_p x)] d\nu_p = u_0(x). \quad (1.307)$$

Reprezentând funcția $u_0(x)$ prin formula integrală Fourier, avem:

$$u_0(x) = \frac{1}{\pi} \int_0^{\infty} d\nu_p \int_{-\infty}^{+\infty} u_0(\xi) \cos[\nu_p(x - \xi)] d\xi \quad (1.308)$$

sau, dezvoltând:

$$u_0(x) = \frac{1}{\pi} \int_0^{\infty} \left[\cos(\nu_p x) \int_{-\infty}^{+\infty} u_0(\xi) \cos(\nu_p \xi) d\xi \right] d\nu_p - \frac{1}{\pi} \int_0^{\infty} \left[\sin(\nu_p x) \int_{-\infty}^{+\infty} u_0(\xi) \sin(\nu_p \xi) d\xi \right] d\nu_p. \quad (1.309)$$

Deoarece condiția (1.307) trebuie satisfăcută pentru orice valoare x , comparând (1.306) cu (1.309), putem lua:

$$\hat{u}_{pR} = \frac{1}{\pi} \int_{-\infty}^{+\infty} u_0(\xi) \cos(\nu_p \xi) d\xi \quad \hat{u}_{pI} = -\frac{1}{\pi} \int_{-\infty}^{+\infty} u_0(\xi) \sin(\nu_p \xi) d\xi. \quad (1.310)$$

Introducând aceste rezultate în (1.306), obținem soluția:

$$u(x, t) = \frac{1}{\pi} \int_0^{\infty} e^{-\alpha \nu_p^2 t} \cos(\nu_p x) d\nu_p \int_{-\infty}^{+\infty} u_0(\xi) \cos(\nu_p \xi) d\xi + \\ + \frac{1}{\pi} \int_0^{\infty} e^{-\alpha \nu_p^2 t} \sin(\nu_p x) d\nu_p \int_{-\infty}^{+\infty} u_0(\xi) \sin(\nu_p \xi) d\xi = \frac{1}{\pi} \int_0^{\infty} e^{-\alpha \nu_p^2 t} d\nu_p \int_{-\infty}^{+\infty} u_0(\xi) \cos[\nu_p(x - \xi)] d\xi,$$

sau, schimbând ordinea de integrare:

$$u(x, t) = \frac{1}{\pi} \int_{-\infty}^{+\infty} u_0(\xi) d\xi \int_0^{\infty} e^{-\alpha \nu_p^2 t} \cos[\nu_p(x - \xi)] d\nu_p. \quad (1.311)$$

Ultima integrală din (1.311) admite o reprezentare analitică, dată de formula Poisson:

$$\int_0^{\infty} e^{-\alpha \nu_p^2 t} \cos[\nu_p(x - \xi)] d\nu_p = \frac{1}{2} \sqrt{\frac{\pi}{\alpha t}} \exp \left(-\frac{(x - \xi)^2}{4\alpha t} \right), \quad (1.312)$$

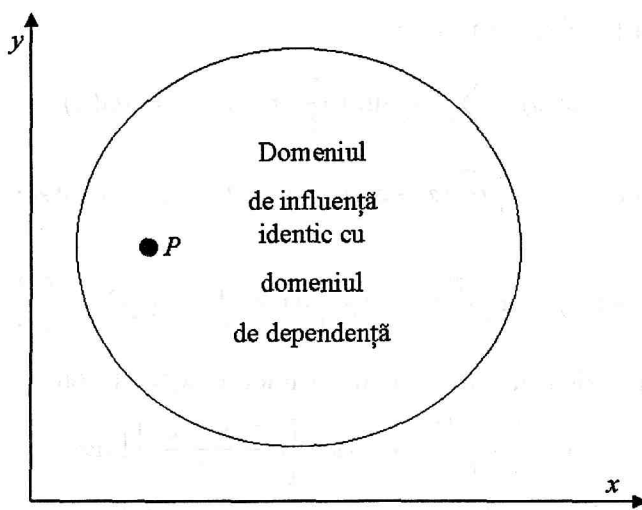


Fig. 1.15. Domeniul de dependență și domeniul de influență pentru ecuații eliptice.

ceea ce permite exprimarea soluției (1.311) în forma compactă:

$$u(x, t) = \frac{1}{2\sqrt{\pi\alpha t}} \int_{-\infty}^{+\infty} u_0(\xi) \exp\left(-\frac{(x-\xi)^2}{4\alpha t}\right) d\xi. \quad (1.313)$$

Acest rezultat poate fi generalizat direct pentru cazul multidimensional.

1.9.4. Ecuații eliptice

Pentru ecuațiile de tip eliptic, avem $\Delta = b^2 - 4ac < 0$, iar ecuația caracteristică are rădăcini complex conjugate:

$$\lambda_{1,2} = \frac{-b \pm i\sqrt{-\Delta}}{2a}. \quad (1.314)$$

Construim transformarea geometrică:

$$y + \lambda_1 x = \xi + i\eta, \quad y + \lambda_2 x = \xi - i\eta, \quad (1.315)$$

sau, explicitând ξ și η :

$$\xi = y + \frac{1}{2}(\lambda_1 + \lambda_2)x, \quad \eta = -i\frac{1}{2}(\lambda_1 - \lambda_2)x. \quad (1.316)$$

Metricele transformării vor fi:

$$\xi_x = \frac{1}{2}(\lambda_1 + \lambda_2) = -\frac{b}{2a}, \quad \xi_y = 1, \quad \eta_x = -i\frac{1}{2}(\lambda_1 - \lambda_2) = \frac{\sqrt{-\Delta}}{2a}, \quad \eta_y = 0, \quad (1.317)$$

iar relațiile (1.192), devin:

$$A = -\frac{\Delta^2}{4a}, \quad B = 0, \quad C = -\frac{\Delta^2}{4a}. \quad (1.318)$$

Înlocuind acum în (1.191), se obține forma canonică a ecuației eliptice:

$$\frac{\partial^2 u}{\partial \xi^2} + \frac{\partial^2 u}{\partial \eta^2} + G\left(\frac{\partial u}{\partial \xi}, \frac{\partial u}{\partial \eta}, u, \xi, \eta\right) = 0, \quad (1.319)$$

unde:

$$G\left(\frac{\partial u}{\partial \xi}, \frac{\partial u}{\partial \eta}, u, \xi, \eta\right) = -\frac{4a}{\Delta^2} F\left(\frac{\partial u}{\partial \xi}, \frac{\partial u}{\partial \eta}, u, \xi, \eta\right). \quad (1.320)$$

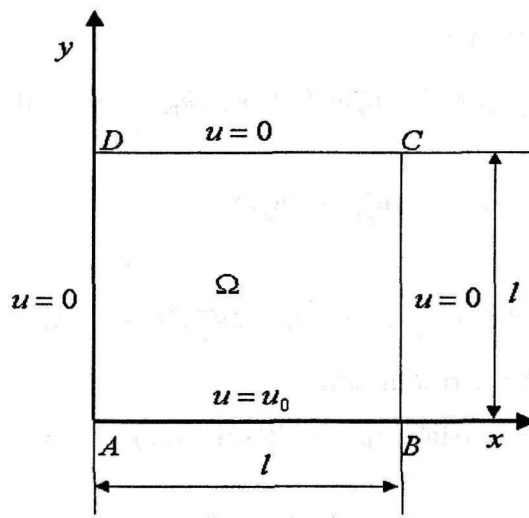


Fig. 1.16. Domeniul de integrare și condiții la limită pentru ecuația Laplace.

Exemplu. Să considerăm ecuația Laplace pentru funcția $u(x, y)$ pe interiorul domeniului bidimensional $\Omega: [0, l] \times [0, l]$, fig. 1.16:

$$\frac{\partial^2 u}{\partial x^2} + \frac{\partial^2 u}{\partial y^2} = 0, \quad (1.321)$$

având următoarele condiții la limită pe frontieră:

$$u(x, 0) = u_0, \quad u(x, l) = 0, \quad 0 < x < l, \quad (1.322)$$

$$u(0, y) = 0, \quad u(l, y) = 0, \quad 0 < y < l, \quad (1.323)$$

Rezolvarea problemei o vom face pe baza analizei Fourier. Să considerăm o armonică a soluției de forma:

$$u_p(x, y) = \hat{u}_p e^{i(k_{px}x + k_{py}y)}. \quad (1.324)$$

Introducând în (1.321) obținem ecuația de valori proprii:

$$(k_{px}^2 + k_{py}^2) \hat{u}_p = 0. \quad (1.325)$$

De aici rezultă:

$$k_{py} = \pm i k_{px}, \quad (1.326)$$

iar soluția (1.324) devine:

$$u_p(x, y) = \hat{u}_p^+ e^{k_{px}y} e^{i k_{px}x} + \hat{u}_p^- e^{-k_{px}y} e^{i k_{px}x}. \quad (1.327)$$

Dacă punem $\hat{u}_p^\pm = \hat{u}_{pR}^\pm + i \hat{u}_{pI}^\pm$, partea reală a soluției de mai sus se scrie:

$$u_p(x, y) = e^{k_{px}y} \left[u_{pR}^+ \cos(k_{px}x) - u_{pI}^+ \sin(k_{px}x) \right] + e^{-k_{px}y} \left[u_{pR}^- \cos(k_{px}x) - u_{pI}^- \sin(k_{px}x) \right]. \quad (1.328)$$

Pentru determinarea completă a soluției, vom impune condițiile la limită. Astfel, din prima relație (1.323) obținem:

$$u_p(0, y) = e^{k_{px}y} u_{pR}^+ + e^{-k_{px}y} u_{pR}^- = 0, \quad 0 < y < l, \quad (1.329)$$

de unde rezultă:

$$u_{pR}^+ = u_{pR}^- = 0. \quad (1.330)$$

Deci soluția (1.328) ia forma:

$$u_p(x, y) = \left(u_{pI}^+ e^{k_{px}y} + u_{pI}^- e^{-k_{px}y} \right) \sin(k_{px}x). \quad (1.331)$$

Din a doua condiție (1.322), obținem:

$$u_p(x, l) = \left(u_{pI}^+ e^{k_{px}l} + u_{pI}^- e^{-k_{px}l} \right) \sin(k_{px}x) = 0, \quad 0 < x < l, \quad (1.332)$$

ceea ce conduce la:

$$u_{pI}^- = -u_{pI}^+ e^{2k_{px}l}. \quad (1.333)$$

Înlocuind în (1.331), obținem:

$$u_p(x, y) = u_{pI}^+ \left(e^{k_{px}y} - e^{2k_{px}l} e^{-k_{px}y} \right) \sin(k_{px}x) = 2u_{pI}^+ e^{k_{px}l} \sinh[k_{px}(y-l)] \sin(k_{px}x). \quad (1.334)$$

Relația de mai sus poate fi rescrisă în forma:

$$u_p(x, y) = A_p \sinh[k_{px}(y-l)] \sin(k_{px}x), \quad p = 1, 2, \dots, \quad (1.335)$$

unde am notat:

$$A_p = 2u_{pI}^+ e^{p\pi}. \quad (1.336)$$

Impunând a doua condiție (1.323) rezultă:

$$u_p(l, y) = A_p \sinh[k_{px}(y-l)] \sin(k_{px}l) = 0, \quad 0 < y < l. \quad (1.337)$$

Deoarece soluția $A_p = 0$ nu interesează, obținem ecuația:

$$\sin(k_{px}l) = 0, \quad (1.338)$$

care permite determinarea parametrului k_{px} :

$$k_{px} = \frac{p\pi}{l}, \quad p = 1, 2, \dots \quad (1.339)$$

Soluția ecuației (1.321) se va obține aplicând superpoziția soluțiilor (1.337), unde k_{px} este dat (1.339):

$$u(x, y) = \sum_{p=1}^{\infty} u_p(x, y) = \sum_{p=1}^{\infty} A_p \sinh \left[p\pi \left(\frac{y}{l} - 1 \right) \right] \sin \left(\frac{p\pi}{l} x \right). \quad (1.340)$$

Pentru a determina coeficienții A_p vom aplica condiția la limită (1.322):

$$u(x, 0) = \sum_{p=1}^{\infty} A_p \sinh(-p\pi) \sin \left(\frac{p\pi}{l} x \right) = u_0. \quad (1.341)$$

Înmulțind relația de mai sus cu $\sin \left(\frac{q\pi}{l} x \right)$, $q = 1, 2, \dots$, și integrând pe intervalul $[0, l]$ rezultă:

$$\sum_{p=1}^{\infty} A_p \sinh(-p\pi) \int_0^l \sin \left(\frac{p\pi}{l} x \right) \sin \left(\frac{q\pi}{l} x \right) dx = u_0 \int_0^l \sin \left(\frac{q\pi}{l} x \right) dx. \quad (1.342)$$

Deoarece funcțiile trigonometrice sunt ortogonale, obținem:

$$A_p \sinh(-p\pi) \frac{l}{2} = -u_0 l \frac{\cos p\pi - 1}{p\pi}, \quad A_p = \frac{2u_0}{\sinh(p\pi)} \left[\frac{(-1)^p - 1}{p\pi} \right]. \quad (1.343)$$

În concluzie, soluția ecuației Laplace pe pătratul de latură l și condițiile la limită (1.322) și (1.323) este:

$$u(x, y) = \frac{2u_0}{\pi} \sum_{p=1}^{\infty} \frac{1}{\sinh(p\pi)} \left[\frac{(-1)^p - 1}{p} \right] \sinh \left[p\pi \left(\frac{y}{l} - 1 \right) \right] \sin \left(\frac{p\pi}{l} x \right). \quad (1.344)$$

Este evident că soluția în orice punct al domeniului este unic determinată de condițiile la limită de pe frontieră, ceea ce justifică denumirea de *problemă de domeniu*.

1.10. REPREZENTĂRI INTEGRALE ALE SOLUȚIILOR

Foarte utile în aplicațiile numerice, în special în probleme de aerodinamică liniară, se dovedesc a fi reprezentările integrale ale soluțiilor unor ecuații diferențiale cu derivate parțiale. Vom prezenta în cele ce urmează reprezentările integrale ale soluției ecuației Laplace (1.13) și ale soluției ecuației Prandtl-Glauert (1.14), care stau la baza metodelor cu panouri pentru integrarea ecuației liniare a potențialului de perturbație.

1.10.1. Ecuația Laplace

Deoarece problema Laplace este o problemă de domeniu, se poate determina o reprezentare integrală a soluției, funcție de condițiile de pe frontieră. Astfel, se cunoaște că, dacă f, g sunt două funcții derivabile de două ori și cu derivata a doua continuă, (f, g sunt de clasă C^2), pe un domeniu τ mărginit de frontiera σ , atunci putem aplica a doua formulă Green (Șabac, [258]):

$$\int_{\tau} (f\Delta g - g\Delta f) d\tau = - \int_{\sigma} (f\nabla g - g\nabla f) \mathbf{n} d\sigma, \quad (1.345)$$

unde \mathbf{n} este normala la frontiera σ , orientată spre interiorul volumului τ .

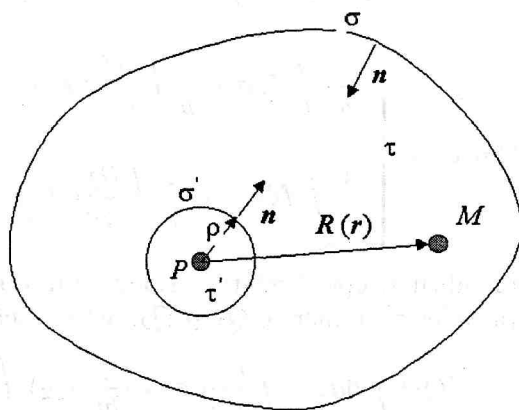


Fig. 1.17. Domeniul de integrare pentru ecuația Laplace.

Una din funcțiile f sau g se alege ca o soluție particulară a ecuației Laplace. Se poate verifica imediat că funcția:

$$g = \begin{cases} \frac{1}{R}, & \text{dacă problema este tridimensională (cazul 3D),} \\ \ln \frac{1}{r}, & \text{dacă problema este bidimensională (cazul 2D),} \end{cases} \quad (1.346)$$

unde:

$$R = \sqrt{(x - \xi)^2 + (y - \eta)^2 + (z - \zeta)^2}, \quad r = \sqrt{(x - \xi)^2 + (y - \eta)^2}, \quad (1.347)$$

este funcție armonică. R sau r reprezintă distanța euclidiană de la un punct fixat P la punctul arbitrar M din domeniul τ . Funcția g definită de (1.346) poate fi interpretată ca potențialul, în punctul M , al unei surse plasată în P și este considerată ca soluție fundamentală a ecuației Laplace.

Să observăm că g îndeplinește condițiile de continuitate impuse de teorema Green în toate punctele domeniului τ , mai puțin în punctul P . Vom izola acest punct cu o bulă τ' de rază ρ , și vom aplica teorema Green pe domeniul $\tau \setminus \tau'$:

$$- \int_{\tau \setminus \tau'} g\Delta f d\tau = - \int_{\sigma} (f\nabla g - g\nabla f) \mathbf{n} d\sigma - \int_{\sigma'} (f\nabla g - g\nabla f) \mathbf{n} d\sigma. \quad (1.348)$$

Să evaluăm integrala pe frontiera σ' . Normala la frontieră, orientată spre interiorul domeniului de integrare, este:

$$\mathbf{n} = \begin{cases} \frac{\mathbf{R}}{R} = \frac{\mathbf{R}}{\rho}, & \text{în cazul 3D,} \\ \frac{\mathbf{r}}{r} = \frac{\mathbf{r}}{\rho}, & \text{în cazul 2D,} \end{cases} \quad (1.349)$$

iar într-un punct al frontierei σ' putem scrie:

$$\nabla g = \begin{cases} \frac{\mathbf{R}}{R^3} = \frac{\mathbf{R}}{\rho^3}, & \text{în cazul 3D,} \\ \frac{\mathbf{r}}{r^2} = \frac{\mathbf{r}}{\rho^2}, & \text{în cazul 2D.} \end{cases} \quad (1.350)$$

Prin urmare, într-un punct de pe σ' vom avea:

$$(f\nabla g - g\nabla f) \mathbf{n} = \begin{cases} f \frac{\mathbf{R}}{\rho^3} \frac{\mathbf{R}}{\rho} - \frac{1}{\rho} \frac{\partial f}{\partial n} = f \frac{1}{\rho^2} - \frac{\partial f}{\partial n} \frac{1}{\rho}, & \text{cazul 3D,} \\ f \frac{\mathbf{r}}{\rho^2} \frac{\mathbf{r}}{\rho} - \frac{\partial f}{\partial n} \ln \frac{1}{\rho} = f \frac{1}{\rho} - \frac{\partial f}{\partial n} \ln \frac{1}{\rho}, & \text{cazul 2D,} \end{cases} \quad (1.351)$$

de unde:

$$\int_{\sigma'} (f\nabla g - g\nabla f) \mathbf{n} d\sigma = \begin{cases} \frac{1}{\rho^2} \int_{\sigma'} f d\sigma - \frac{1}{\rho} \int_{\sigma'} \frac{\partial f}{\partial n} d\sigma, & \text{în cazul 3D,} \\ \frac{1}{\rho} \int_{\sigma'} f d\sigma - \ln \frac{1}{\rho} \int_{\sigma'} \frac{\partial f}{\partial n} d\sigma, & \text{în cazul 2D.} \end{cases} \quad (1.352)$$

Pentru a calcula integralele din membrul drept al relației (1.352) vom aplica o teoremă de medie, care ne asigură că există, pe suprafața bulei σ' , punctele Q_1 și Q_2 , astfel încât:

$$\int_{\sigma'} f d\sigma = f(Q_1) \int_{\sigma'} d\sigma, \quad \int_{\sigma'} \frac{\partial f}{\partial n} d\sigma = \frac{\partial f}{\partial n}(Q_2) \int_{\sigma'} d\sigma, \quad (1.353)$$

iar:

$$\int_{\sigma'} d\sigma = \begin{cases} 4\pi\rho^2, & \text{cazul 3D,} \\ 2\pi\rho, & \text{cazul 2D.} \end{cases} \quad (1.354)$$

Înlocuind în (1.352), obținem:

$$\int_{\sigma'} (f\nabla g - g\nabla f) \mathbf{n} d\sigma = \begin{cases} 4\pi f(Q_1) - 4\pi\rho \frac{\partial f}{\partial n}(Q_2), & \text{în cazul 3D,} \\ 2\pi f(Q_1) - 2\pi\rho \frac{\partial f}{\partial n}(Q_2) \ln \frac{1}{\rho}, & \text{în cazul 2D,} \end{cases} \quad (1.355)$$

și, deoarece f este continuă iar $\frac{\partial f}{\partial n}(Q_2)$ rămâne mărginit în orice punct al suprafeței σ' , vom avea:

$$\lim_{\rho \rightarrow 0} f(Q_1) = f(P), \quad \lim_{\rho \rightarrow 0} \left(\rho \frac{\partial f}{\partial n}(Q_2) \right) = 0, \quad \lim_{\rho \rightarrow 0} \left(\rho \ln \frac{1}{\rho} \frac{\partial f}{\partial n}(Q_2) \right) = 0. \quad (1.356)$$

Introducând în (1.355), obținem:

$$\lim_{\rho \rightarrow 0} \int_{\sigma'} (f\nabla g - g\nabla f) \mathbf{n} d\sigma = \begin{cases} 4\pi f(P), & \text{în cazul 3D,} \\ 2\pi f(P), & \text{în cazul 2D.} \end{cases} \quad (1.357)$$

Aplicând același proces de trecere la limită în relația (1.348), obținem:

$$f(P) = \begin{cases} -\frac{1}{4\pi} \left[\int_{\sigma} \left[\frac{1}{R} \frac{\partial f}{\partial n} - f \frac{\partial}{\partial n} \left(\frac{1}{R} \right) \right] d\sigma + \int_{\tau} \frac{1}{R} \Delta f d\tau \right], & \text{în cazul 3D,} \\ -\frac{1}{2\pi} \left[\int_{\sigma} \left[\ln \frac{1}{r} \frac{\partial f}{\partial n} - f \frac{\partial}{\partial n} \left(\ln \frac{1}{r} \right) \right] d\sigma + \int_{\tau} \ln \frac{1}{r} \Delta f d\tau \right], & \text{în cazul 2D.} \end{cases} \quad (1.358)$$

Relația de mai sus poartă numele de *formula celor trei potențiale*, deoarece primul termen din membrul drept al egalității poate fi interpretat ca fiind potențialul unei *distribuții de surse* (numit și potențial de simplu strat), al doilea ca *potențialul unei distribuții de dublete* (sau potențial de dublu strat), iar ultimul reprezintă *potențialul newtonian*.

Dacă funcția f este armonică pe τ , atunci $\Delta f = 0$ și relația (1.358) devine:

$$f(P) = \begin{cases} -\frac{1}{4\pi} \int_{\sigma} \left[\frac{1}{R} \frac{\partial f}{\partial n} - f \frac{\partial}{\partial n} \left(\frac{1}{R} \right) \right] d\sigma, & \text{în cazul 3D,} \\ -\frac{1}{2\pi} \int_{\sigma} \left[\ln \frac{1}{r} \frac{\partial f}{\partial n} - f \frac{\partial}{\partial n} \left(\ln \frac{1}{r} \right) \right] d\sigma, & \text{în cazul 2D.} \end{cases} \quad (1.359)$$

Observații. 1) Relația (1.359) reprezintă soluția integrală a ecuației Laplace pe domeniul τ mărginit de suprafața σ .

2) Domeniul τ poate fi mărginit în cazul unei *probleme Laplace interioare*, sau nemărginit pentru o *problemă Laplace exterioară*.

3) În cazul în care condițiile la limită specifică valorile funcției f în orice punct al frontierei σ , soluționarea ecuației Laplace poartă numele de *problemă de tip Dirichlet*.

4) Dacă pe suprafața σ condițiile la limită se referă la derivata funcției f pe direcția normalei, $\frac{\partial f}{\partial n}$, rezolvarea ecuației Laplace poartă numele de *problemă de tip Neumann*.

5) Problema Dirichlet are soluție unică; în schimb soluția problemei Neumann exterioare este determinată cu precizia unei constante aditive (Șabac, [258]).

1.10.2. Ecuația Prandtl-Glauert

Metoda prezentată în secțiunea anterioară pentru determinarea reprezentării integrale a soluției ecuației Laplace poate fi extinsă pentru *ecuația Prandtl-Glauert*:

$$\frac{\partial^2 u}{\partial x^2} = \frac{\partial^2 u}{\partial y^2} + \frac{\partial^2 u}{\partial z^2}. \quad (1.360)$$

Ecuația *hiperbolică* (1.360) se întâlnește în modelul potențialului de perturbație în regim supersonic, iar soluția ei poate fi scrisă în formă integrală.

Definind operatorul diferențial:

$$\square \cdot = \frac{\partial^2 \cdot}{\partial x^2} - \frac{\partial^2 \cdot}{\partial y^2} - \frac{\partial^2 \cdot}{\partial z^2}, \quad (1.361)$$

a doua formulă Green (1.345) poate fi scrisă (Heaslet și Lomax, [263]):

$$\int_{\tau} (f \square g - g \square f) d\tau = - \int_{\sigma} (f \nabla g - g \nabla f) \nu d\sigma, \quad (1.362)$$

unde funcțiile f și g sunt presupuse de clasă C^2 pe domeniul τ mărginit de suprafața σ . Vectorul ν se numește *conormală* la suprafață și este definit în funcție de componentele normalei \mathbf{n} :

$$\nu_1 = -n_1, \quad \nu_2 = n_2, \quad \nu_3 = n_3. \quad (1.363)$$

O soluție particulară a ecuației (1.360) este *soluția lui Volterra*, [294], pentru unde tridimensionale:

$$g_1 = \cosh^{-1} \frac{x - \xi}{[(y - \eta)^2 + (z - \zeta)^2]^{1/2}} = \ln \left| \frac{x - \xi + \sqrt{(x - \xi)^2 - (y - \eta)^2 - (z - \zeta)^2}}{(y - \eta)^2 + (z - \zeta)^2} \right|. \quad (1.364)$$

Dacă vom nota:

$$r = \sqrt{(y - \eta)^2 + (z - \zeta)^2}, \quad r_H = \sqrt{(x - \xi)^2 - r^2}, \quad (1.365)$$

funcția g_1 se scrie:

$$g_1(x - \xi, y - \eta, z - \zeta) = \operatorname{arccosh} \frac{x - \xi}{r} = \ln \left| \frac{x - \xi + r_H}{r^2} \right|. \quad (1.366)$$

Se poate verifica imediat că:

$$\frac{\partial g_1}{\partial x} = \frac{1}{r_H}, \quad \frac{\partial^2 g_1}{\partial x^2} = \frac{x - \xi}{r_H^3}, \quad \frac{\partial g_1}{\partial y} = \frac{-(x - \xi)(y - \eta)}{r^2 r_H}, \quad \frac{\partial g_1}{\partial z} = \frac{-(x - \xi)(z - \zeta)}{r^2 r_H}, \quad (1.367)$$

$$\frac{\partial^2 g_1}{\partial y^2} = (x - \xi) \frac{-(y - \eta)^2 (r_H^2 - r^2) + (z - \zeta)^2 r_H^2}{r^4 r_H^3}, \quad \frac{\partial^2 g_1}{\partial z^2} = (x - \xi) \frac{-(z - \zeta)^2 (r_H^2 - r^2) + (y - \eta)^2 r_H^2}{r^4 r_H^3}, \quad (1.368)$$

iar:

$$\square g_1 = \frac{\partial^2 g_1}{\partial x^2} - \frac{\partial^2 g_1}{\partial y^2} - \frac{\partial^2 g_1}{\partial z^2} = 0. \quad (1.369)$$

Funcția reală g_1 este definită în domeniul în care:

$$(x - \xi)^2 - (y - \eta)^2 - (z - \zeta)^2 \geq 0, \quad (1.370)$$

$$(y - \eta)^2 + (z - \zeta)^2 \neq 0. \quad (1.371)$$

Condiția (1.370) arată că, dacă se consideră punctul $P(x, y, z)$ fixat, atunci punctul $M(\xi, \eta, \zeta)$ trebuie să fie situat în interiorul unui con cu vârful în P , suprafața acestui con fiind descrisă de ecuația:

$$S(\xi, \eta, \zeta) = (x - \xi)^2 - (y - \eta)^2 - (z - \zeta)^2 = 0. \quad (1.372)$$

Deși suprafața conică $S(\xi, \eta, \zeta) = 0$ are două pânze, una corespunzătoare valorilor $x \geq \xi$ iar cealaltă valorilor $x \leq \xi$, pentru a păstra semnificația fizică a modelului matematic, vom considera o singură pânză: cea pentru care $x \geq \xi$. Vom numi acest con, *conul Mach* (cu vârful în P , fig. 1.18), având semnificația de *domeniu de dependență al punctului respectiv*.

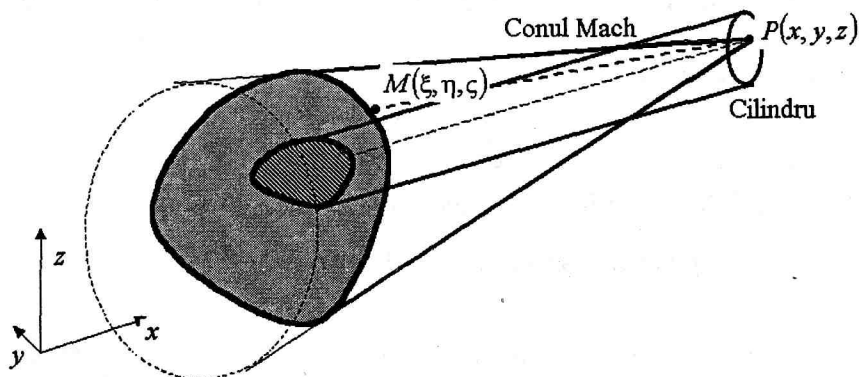


Fig. 1.18. Domeniul de integrare pentru ecuația Prandtl-Glauert.

Componentele normalei la suprafața conului Mach sunt:

$$n_1 = -\nu_1 = \frac{\partial}{\partial x} S(x, y, z) = 2(x - \xi), \quad (1.373)$$

$$n_2 = \nu_2 = \frac{\partial}{\partial y} S(x, y, z) = -2(y - \eta), \quad (1.374)$$

$$n_3 = \nu_3 = \frac{\partial}{\partial z} S(x, y, z) = -2(z - \zeta). \quad (1.375)$$

Funcția g_1 și derivata $\frac{\partial g_1}{\partial \nu}$ sunt nule pe suprafața conului Mach. Într-adevăr, pe suprafața conului, $(x - \xi)^2 = r^2$, iar (1.364) devine:

$$g_1|_{\text{Conul Mach}} = \cosh^{-1} 1 = 0. \quad (1.376)$$

De asemenea, utilizând relațiile (1.373) – (1.375) și, respectiv, (1.367) și (1.368), vom obține:

$$\left. \frac{\partial g}{\partial \nu} \right|_{\text{Conul Mach}} = \nu_1 \frac{\partial g_1}{\partial x} + \nu_2 \frac{\partial g_1}{\partial y} + \nu_3 \frac{\partial g_1}{\partial z} = 0. \quad (1.377)$$

Fie funcția g definită de:

$$g(x - \xi, y - \eta, z - \zeta) = \begin{cases} g_1, & \text{dacă } (x - \xi)^2 \geq (y - \eta)^2 - (z - \zeta)^2, \\ 0, & \text{dacă } (x - \xi)^2 \leq (y - \eta)^2 - (z - \zeta)^2. \end{cases} \quad (1.378)$$

Funcția g satisface condițiile formulei Green, mai puțin în punctele drepte pentru care:

$$(y - \eta)^2 + (z - \zeta)^2 = 0, \quad (1.379)$$

sau:

$$\eta = y, \quad \zeta = z. \quad (1.380)$$

Izolăm această dreaptă cu un cilindru circular τ' de rază ρ , având suprafața laterală σ' și aplicăm formula (1.362) pe domeniul $\tau \setminus \tau'$. Deoarece g și $\frac{\partial g}{\partial \nu}$ se anulează pe conul Mach și în exteriorul acestuia, obținem:

$$-\int_{\text{Conul Mach}} g \square f d\tau = -\int_{\sigma_C \setminus \sigma_c} (f \nabla g - g \nabla f) \nu d\sigma - \int_{\sigma'} (f \nabla g - g \nabla f) \nu d\sigma, \quad (1.381)$$

unde am notat cu σ_C porțiunea din suprafața σ cuprinsă în interiorul conului Mach, iar cu σ_c porțiunea din suprafața σ cuprinsă în interiorul cilindrului.

Pe suprafața σ' a cilindrului circular de rază ρ avem:

$$\nabla g = \frac{1}{\sqrt{(x - \xi)^2 - \rho^2}} i - \frac{(x - \xi)(y - \eta)}{\rho^2 \sqrt{(x - \xi)^2 - \rho^2}} j - \frac{(x - \xi)(z - \zeta)}{\rho^2 \sqrt{(x - \xi)^2 - \rho^2}} k. \quad (1.382)$$

Conormala la suprafața σ' are componentele:

$$\nu_1 = 0, \quad \nu_2 = \frac{y - \eta}{\rho}, \quad \nu_3 = \frac{z - \zeta}{\rho}. \quad (1.383)$$

Deci, pe σ' , avem:

$$\nu \nabla g = -\frac{(x - \xi)}{\sqrt{(x - \xi)^2 - \rho^2}} \frac{1}{\rho}, \quad d\sigma = 2\pi \rho d\xi. \quad (1.384)$$

Aplicând o teoremă de medie, putem acum evalua:

$$\int_{\sigma'} f \nabla g \nu d\sigma = -\int_{\sigma'} \frac{x - \xi}{\sqrt{(x - \xi)^2 - \rho^2}} \frac{1}{\rho} f d\sigma = -2\pi \int_{x_0}^x \frac{x - \xi}{\sqrt{(x - \xi)^2 - \rho^2}} f d\xi, \quad (1.385)$$

$$\int_{\sigma'} g \nabla f \nu d\sigma = \int_{\sigma'} g \frac{\partial f}{\partial \nu} d\sigma = \rho \int_{x_0}^x \int_0^{2\pi} \operatorname{arccosh} \frac{x-\xi}{\rho} \left(\frac{df}{d\eta} \cos \theta + \frac{df}{d\zeta} \sin \theta \right) d\theta d\xi. \quad (1.386)$$

Trecând la limită ($\rho \rightarrow 0$) în relațiile (1.385) și (1.386), și admitând că funcția f împreună cu derivatele ei rămân finite, obținem:

$$\lim_{\rho \rightarrow 0} \int_{\sigma'} f \nabla g \nu d\sigma = -2\pi \lim_{\rho \rightarrow 0} \int_{x_0}^x \frac{x-\xi}{\sqrt{(x-\xi)^2 - \rho^2}} f d\xi = -2\pi \int_{x_0}^x f d\xi, \quad (1.387)$$

$$\lim_{\rho \rightarrow 0} \int_{\sigma'} g \nabla f \tilde{\nu} d\sigma = 0, \quad (1.388)$$

unde $x_0 < x$ este un punct arbitrar.

Aplicând aceeași trecere la limită și în (1.381) și admitând că $\square f = 0$ în domeniul τ , obținem:

$$2\pi \int_{x_0}^x f d\xi = - \int_{\sigma_C} (f \nabla g - g \nabla f) \nu d\sigma, \quad (1.389)$$

de unde:

$$f(P) = -\frac{1}{2\pi} \frac{\partial}{\partial x} \int_{\sigma_C} \left[f \frac{\partial}{\partial \nu} \left(\operatorname{arccosh} \frac{x-\xi}{r^2} \right) - \frac{\partial f}{\partial \nu} \operatorname{arccosh} \frac{x-\xi}{r^2} \right] d\sigma. \quad (1.390)$$

Relația de mai sus permite determinarea valorilor funcției f , soluția ecuației Prandtl-Glauert, în punctele unui domeniu, dacă se cunosc valorile ei, împreună cu derivatele pe direcția conormale, pe frontiera domeniului.

1.11. CONCLUZII

În secțiunile anterioare am analizat proprietățile matematice ale principalelor tipuri de ecuații și sisteme diferențiale cu derivate parțiale, de interes în Mecanica mediilor continue și, în particular, în Dinamica fluidelor.

Am pus în evidență, pentru fiecare tip de problemă: eliptic, parabolic și hiperbolic, condițiile în care soluția există și poate fi determinată. Am subliniat de fiecare dată necesitatea formulării unei *probleme bine puse* (Hadamard, [122]), pentru a asigura unicitatea soluției, în sensul că aceasta depinde în mod continuu de condițiile inițiale și de condițiile auxiliare (la limită).

O analiză mai în detaliu a vizat proprietățile ecuațiilor și sistemelor diferențiale neliniare de tip hiperbolic. S-au definit o serie de noțiuni de bază în teoria ecuațiilor hiperbolice neliniare, cum ar fi: soluție de tip undă, unde liniare și unde neliniare, soluție slabă, unicitate a soluției slabe, condiție de entropie, relațiile Hugoniot-Rankine, formarea undelor de șoc, unde simple etc. S-a arătat că un sistem hiperbolic admite o soluție de tip undă. S-au definit variabilele caracteristice și relațiile de compatibilitate asociate sistemelor hiperbolice liniare și neliniare. Variațiile elementare ale undelor care reprezintă soluțiile sistemelor hiperbolice neliniare pot fi reprezentate ca o combinație de unde simple (vectorii proprii ai matricei iacobiene), având amplitudinea dată de variațiile elementare ale variabilelor caracteristice. S-a pus în evidență că, pentru cazul unei neliniare, soluția sistemului nu are o scară de lungimi distinctă, fiind funcție doar de variabila $\frac{x}{t}$. Din punct de vedere fizic, această situație corespunde unei unde simple, produsă la interfața a două stări constante ale fluidului (unda de șoc sau undă de rarefiere). Aceste elemente vor sta la baza înțelegerii algoritmilor numerici ce se vor introduce în capitolele 6, 11 și 12.

Pe baza reprezentărilor integrale ale soluțiilor integrale ale ecuațiilor Laplace și Prandtl-Glauert se pot introduce metodele cu elemente de frontieră care vor fi analizate în capitolul 4 și în paragraful 9.3.

CAPITOLUL 2

CALCULUL CU DIFERENȚE FINITE

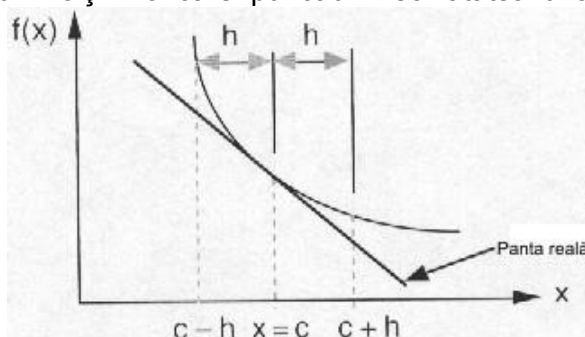
2.1 Principiile de bază a calculelor prin diferențe finite

2.1.1 Noțiuni Introductive

În calculele convenționale prin diferențiere a unei funcții, această operație este bine definită, procedura formală cu operații puternic dependente de forma funcției implicate. Pentru diversitatea de funcții sunt necesare mai multe tipuri de reguli. În cazul metodelor numerice este utilizat un calculator numeric care poate realiza doar operațiile aritmetice standard de adunare, scădere, înmulțire, împărțire, exponențiale și anumite operații logaritmice. Pentru funcțiile diferențiale avem nevoie de o tehnică care să permită doar operații aritmetice. Metoda de calcul prin diferențe finite satisface aceste necesități.

2.1.2 Diferențiere unidimensională la dreapta

Considerăm funcția $f(x)$ de tip analitic în vecinătatea unui punct c , respectiv o funcție care admite o derivată în punctul $x=c$ și în oricare punct din vecinătatea lui c .

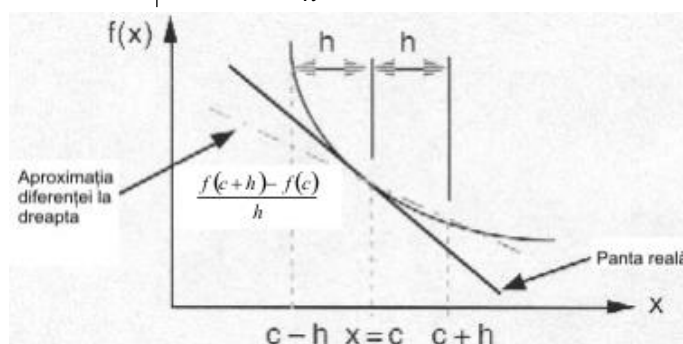


Dorim să căutăm o aproximare a lui:

$$f'(x) \Big|_{x=c}; c \in [a, b]$$

fapt pentru care vom determina o expresie pentru $f(c+h)$ prin dezvoltarea în serie Taylor în jurul punctului c :

$$\begin{aligned} f(c+h) &= f(c) + hf'(c) + \frac{h^2}{2!} f''(c) + \frac{h^3}{3!} f'''(c) + \dots \\ \Rightarrow f'(c) &= \frac{f(c+h) - f(c)}{h} - \frac{h}{2} f''(c) - \frac{h^2}{6} f'''(c) - \dots \\ \Leftrightarrow f'(x) \Big|_{x=c} &= \frac{f(c+h) - f(c)}{h} + O(h) \end{aligned}$$



În mod convențional și pentru simplificare se adoptă următoarea notație:

$$\begin{cases} f(x) \Big|_{x=c} \equiv f_j \\ f(x) \Big|_{x=c+h} \equiv f_{j+1} \end{cases} \Rightarrow \Delta_f f_j \equiv f_{j+1} - f_j \Rightarrow f'(x) \Big|_{x=c} = \frac{\Delta_f f_j}{h} + O(h)$$

Termenul $O(h)$ poartă denumirea de eroare de trunchiere și reprezintă mărimea erorii introduse prin aproximarea derivatei cu diferențe finite și este proporțională cu $\Delta x=h$.

Pentru a aproxima derivate de ordin mai mare (de ordinul 2) se procedează astfel:

$$f(c+2h) = f(c) + 2hf'(c) + 2h^2f''(c) + \frac{4h^3}{3}f'''(c) + \dots$$

$$\Rightarrow f'(c+2h) - 2f'(c+h) = -f'(c) - h^2f''(c) - h^3f'''(c) - \dots$$

$$\Leftrightarrow f''(x)\Big|_{x=c} = \frac{f_{j+2} - 2f_{j+1} + f_j}{h^2} + O(h) \Leftrightarrow f''(x)\Big|_{x=c} = \frac{\Delta_f^2 f_j}{h^2} + O(h)$$

Prin generalizare pentru derivate de ordinul n :

$$f^n(x)\Big|_{x=c} = \frac{\Delta_f^n f_j}{h^n} + O(h) \text{ unde } \Delta_f^n f_j = \Delta_f(\Delta_f^{n-1} f_j)$$

Pentru primele 4 derivate aproximările prin diferențiere la dreapta sunt:

	f_j	f_{j+1}	f_{j+2}	f_{j+3}	f_{j+4}
$hf'(x_j) =$	-1	1			
$h^2f''(x_j) =$	1	-2	1		
$h^3f'''(x_j) =$	-1	3	-3	1	
$h^4f^{(4)}(x_j) =$	1	-4	6	-4	1

+O(h)

Incluzând mai mulți termeni în dezvoltarea în serie Taylor se poate obține o precizie mai bună. De exemplu:

$$\text{Se introduce } f''(c) = \frac{f_{j+2} - 2f_{j+1} + f_j}{h^2} - hf'''(c) \text{ în}$$

$$f'(c) = \frac{f(c+h) - f(c)}{h} - \frac{h}{2}f''(c) - \frac{h^2}{6}f'''(c) - \dots$$

$$\Rightarrow f'(x)\Big|_{x=c} = \frac{-f_{j+2} + 4f_{j+1} - 3f_j}{2h} + O(h)^2$$

în așa fel încât:

	f_j	f_{j+1}	f_{j+2}	f_{j+3}	f_{j+4}	f_{j+5}
$2hf'(x_j) =$	-3	4	-1			
$h^2f''(x_j) =$	2	-5	4	-1		
$2h^3f'''(x_j) =$	-5	18	-24	14	-3	
$h^4f^{(4)}(x_j) =$	3	-14	36	-24	11	-2

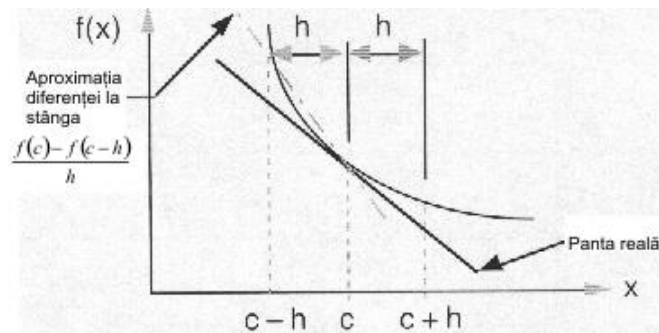
+O(h)²

$$f(c-h) = f(c) - hf'(c) + \frac{h^2}{2!}f''(c) - \frac{h^3}{3!}f'''(c) + \dots$$

$$\Rightarrow f'(c) = \frac{f(c) - f(c-h)}{h} + \frac{h}{2}f''(c) - \frac{h^2}{6}f'''(c) + \dots$$

$$\Leftrightarrow f'(x)\Big|_{x=c} = \frac{f_j - f_{j-1}}{h} + O(h) \Leftrightarrow f'(x)\Big|_{x=c} = \frac{\Delta_b f_j}{h} + O(h)$$

Termenul O(h) poartă denumirea de eroare de trunchiere și reprezintă mărimea erorii introduse prin aproximarea derivatei cu diferențe finite și este de asemenea proporțională cu $\Delta x = h$.



Pentru a aproxima derivate de ordin mai mare (de ordinul 2) se procedează similar ca în cazul diferențierii la dreapta, obținându-se:

$$f''(x)\Big|_{x=c} = \frac{f_j - 2f_{j-1} + f_{j-2}}{h^2} + O(h) \Leftrightarrow f''(x)\Big|_{x=c} = \frac{\Delta_b^2 f_j}{h^2} + O(h)$$

Prin generalizare pentru derivate de ordinul n:

$$f^n(x)\Big|_{x=c} = \frac{\Delta_b^n f_j}{h^n} + O(h) \text{ unde } \Delta_b^n f_j = \Delta_f(\Delta_b^{n-1} f_j)$$

Pentru primele 4 derivate aproximările prin diferențiere la dreapta sunt:

	f_{j-4}	f_{j-3}	f_{j-2}	f_{j-1}	f_j	
$hf'(x_j) =$				-1	1	+O(h)
$h^2 f''(x_j) =$			1	-2	1	
$h^3 f'''(x_j) =$		-1	3	-3	1	
$h^4 f^{(4)}(x_j) =$	1	-4	6	-4	1	

Incluzând mai mulți termeni în dezvoltarea în serie Taylor se poate obține o precizie mai bună. În acest caz:

$$f'(x)\Big|_{x=c} = \frac{3f_j - 4f_{j-1} + f_{j-2}}{2h} + O(h)^2$$

în așa fel încât:

	f_{j-5}	f_{j-4}	f_{j-3}	f_{j-2}	f_{j-1}	f_j	
$2hf'(x_j) =$				1	-4	3	+O(h)^2
$h^2 f''(x_j) =$			-1	4	-5	2	
$2h^3 f'''(x_j) =$		3	-14	24	-18	5	
$h^4 f^{(4)}(x_j) =$	-2	11	-24	26	-14	3	

2.1.4 Diferențiere unidimensională în centru

În acest caz:

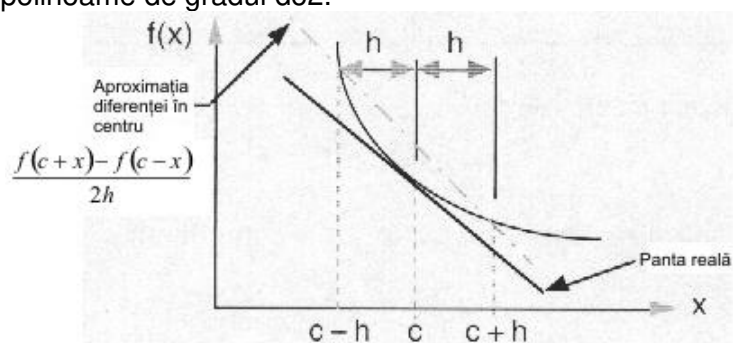
$$f(c+h) = f(c) + hf'(c) + \frac{h^2}{2!} f''(c) + \frac{h^3}{3!} f'''(c) + \dots$$

$$f(c-h) = f(c) - hf'(c) + \frac{h^2}{2!} f''(c) - \frac{h^3}{3!} f'''(c) + \dots$$

$$\Rightarrow f(c+h) - f(c-h) = 2hf'(c) + \frac{h^3}{3} f'''(c) + \dots$$

$$\Rightarrow f'(c) = \frac{f(c+h) - f(c-h)}{2h} - \frac{h^2}{6} f'''(c) - \dots \Leftrightarrow f'(x)\Big|_{x=c} = \frac{f_{j+1} - f_{j-1}}{2h} + O(h)^2$$

Această reprezentare diferențială este de precizie $O(h)^2$ poartă denumirea de reprezentare diferențială centrată a lui $f(x)$ în punctul x_j , care nu este implicat direct, iar termenul de eroare este identic ca cel pentru polinoame de gradul do2.



Pentru a aproxima derivate de ordinul 2 se obține prin calcul, similar ca în paragrafele anterioare:

$$f''(x) \Big|_{x=c} = \frac{f_{j+1} - 2f_j + f_{j-1}}{h^2} + O(h)^2$$

Eroarea de trunchiere la derivata de ordinul întâi este în acest caz $\Delta(x)^2$, respectiv o îmbunătățire față de aproximările prin diferențiere la dreapta sau la stânga.

În general valoarea lui f_j apare doar în reprezentarea derivatelor de ordin par, fapt ce poate fi rezumat prin următoarele expresii:

n par	n impar
$\frac{d^n f}{dx^n} \Big _{x=x_j} = \frac{\Delta_s^n f_{j+0,5n} + \Delta_d^n f_{j-0,5n}}{2h^n} + O(h)^2$	$\frac{d^n f}{dx^n} \Big _{x=x_j} = \frac{\Delta_s^n f_{j+0,5(n-1)} + \Delta_d^n f_{j-0,5(n-1)}}{2h^n} + O(h)^2$

Pentru primele 4 derivate aproximările prin diferențiere centrală a lui $O(h)^2$ sunt:

	f_{j-2}	f_{j-1}	f_j	f_{j+1}	f_{j+2}	
$2hf'(x_j) =$		-1	0	1		
$h^2 f''(x_j) =$		1	-2	1		$+O(h)^2$
$2h^3 f'''(x_j) =$	-1	2	0	-2	1	
$h^4 f^{(4)}(x_j) =$	1	-4	6	-4	1	

Iar pentru $O(h)^4$:

	f_{j-3}	f_{j-2}	f_{j-1}	f_j	f_{j+1}	f_{j+2}	f_{j+3}	
$2hf'(x_j) =$		1	-8	0	8	-1		
$h^2 f''(x_j) =$		-1	16	-30	16	-1		$+O(h)^4$
$2h^3 f'''(x_j) =$	1	-8	13	0	-13	8	-1	
$h^4 f^{(4)}(x_j) =$	-1	12	-39	56	-39	12	-1	

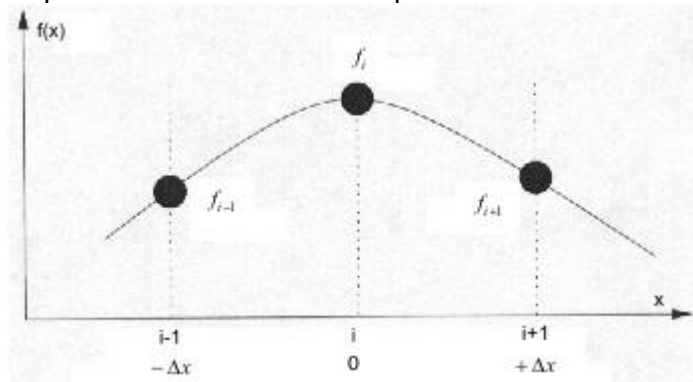
Utilizând teorema lui Taylor pentru o funcție cu două variabile se obțin următoarele rezultate:

Aproximare prin diferențiere la dreapta	Aproximare prin diferențiere la stânga
$\frac{\partial f}{\partial x} \Big _{i,j} = \frac{f_{i+1,j} - f_{i,j}}{h} - O(h)$	$\frac{\partial f}{\partial x} \Big _{i,j} = \frac{f_{i,j} - f_{i-1,j}}{h} - O(h)$
Aproximare prin diferențiere centrală	
$\frac{\partial f}{\partial x} \Big _{i,j} = \frac{f_{i+1,j} - f_{i-1,j}}{2h} - O(h)^2$	$\frac{\partial^2 f}{\partial x^2} \Big _{i,j} = \frac{f_{i+1,j} - 2f_{i,j} + f_{i-1,j}}{h^2} - O(h)^2$
Unde: $f(x_i, x_j) \equiv f_{i,j}$ si $h = x_{i+1} - x_i$	

În mod similar se obțin diferențe finite pentru aproximarea lui $\frac{\partial f}{\partial y}|_{i,j}$ și $\frac{\partial^2 f}{\partial y^2}|_{i,j}$.

2.2 Diferențe finite pentru ecuații diferențiale parțiale

Pentru înțelegere prezentăm următorul exemplu:



Aproximarea funcției este:

$$f(x) \approx ax^2 + bx + c \approx \left(\frac{f_{i-1} - 2f_i + f_{i+1}}{\Delta x^2} \right) x^2 + \left(\frac{f_{i+1} - f_{i-1}}{2\Delta x} \right) x + f_i$$

Atunci când $x=0$ primele două derivate a funcției sunt:

$$\begin{cases} \frac{\partial f}{\partial x}|_i \approx \frac{f_{i+1} - f_{i-1}}{2\Delta x} \\ \frac{\partial^2 f}{\partial x^2}|_i \approx \frac{f_{i-1} - 2f_i + f_{i+1}}{\Delta x^2} \end{cases}$$

O ecuație diferențială se numește cvasilineară dacă este lineară în derivatele cele mai ridicate. O ecuație cvasilineară de ordinul doi, cu două variabile independente și în care funcția necunoscută este u , este:

$$a \frac{\partial^2 u}{\partial x^2} + 2b \frac{\partial^2 u}{\partial x \partial y} + c \frac{\partial^2 u}{\partial y^2} = F\left(x, y, u, \frac{\partial u}{\partial x}, \frac{\partial u}{\partial y}\right)$$

funcție ce poate fi clasificată în trei categorii:

De tip eliptic (ecuația Laplace și Poisson) $\frac{\partial^2 u}{\partial x^2} + \frac{\partial^2 u}{\partial y^2} = 0$ $\frac{\partial^2 u}{\partial x^2} + \frac{\partial^2 u}{\partial y^2} = -g$	De tip parabolic (conducția termică) $\frac{\partial u}{\partial t} - k \frac{\partial^2 u}{\partial x^2} = 0$	De tip hiperbolic (ecuația undei) $\frac{\partial^2 u}{\partial t^2} - \frac{\partial^2 u}{\partial x^2} = 0$
$ac - b^2 \geq 0$	$ac - b^2 = 0$	$ac - b^2 \leq 0$
În probleme de echilibru.	În cazul problemelor de propagare.	

Probleme de echilibru	Probleme de propagare
<p>Ecuatia diferențială $Du = f$ pe un domeniu închis Ω</p> <p>Condițiile de frontieră $Bu = g$ pe marginea $\partial\Omega$</p>	<p>Ecuatia diferențială $D(u) = f$ pe un domeniu deschis Ω</p> <p>Condițiile de frontieră $B(u) = g$ pe marginea $\partial\Omega$</p> <p>Condiții inițiale $I(u) = h$</p>
Acestea sunt probleme de regim staționar și sunt cunoscute ca probleme cu valori de margine pe un domeniu închis.	Acestea sunt probleme de regim nestaționar (tranzitoriu) și sunt

Condițiile obișnuite de margine, ce pot fi specificate unic, sunt:

Dirichlet	Neumann	Robin (mixte)
Valorile lui u la margine sunt specificate.	Valorile derivatei normale la margine $\frac{\partial u}{\partial n}$ sunt specificate.	Combinația lineară dintre valorile și derivatele normale sunt specificate.

Exemple:

- Curgerea în regim vâscos staționar
- Distribuția câmpului de temperatură
- Forțe de echilibru în structuri elastice,
- Distribuția tensiunilor electrice

cunoscute ca probleme cu valori inițiale de frontieră și cu condiții de frontieră pe un domeniu deschis.

Exemple:

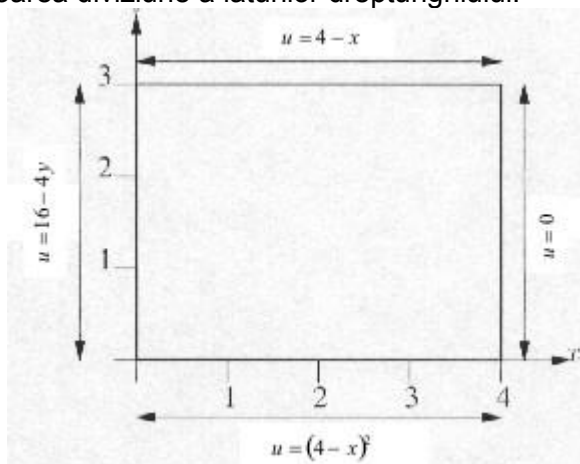
- Propagarea undei de presiune în fluid
- Propagarea căldurii
- Propagarea tensiunilor mecanice și deplasarea în sisteme elastice
- Propagarea undelor electromagnetice

2.2.1 Ecuații diferențiale pentru probleme de echilibru

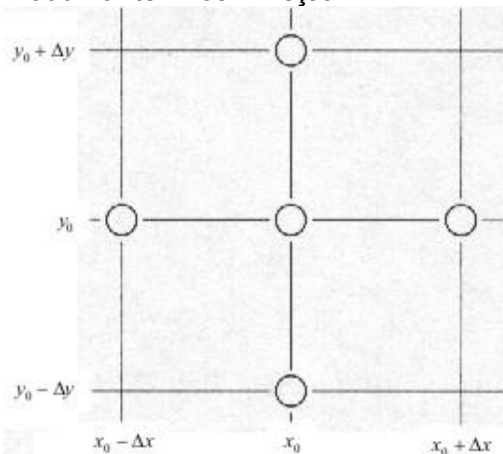
Considerăm ecuația lui Laplace privind distribuția de temperatură într-o placă dreptunghiulară dintr-un material omogen, într-un sistem de coordonate bidimensional de tip cartezian:

$$\nabla^2 u = 0 \Leftrightarrow \frac{\partial^2 u}{\partial x^2} + \frac{\partial^2 u}{\partial y^2} = 0$$

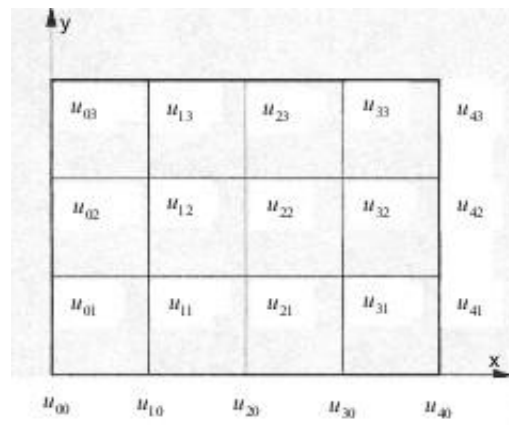
Considerăm următoarea diviziune a laturilor dreptunghiului:



și următorul mod de definire a nodurilor termice în rețea:



În toate nodurile de pe frontieră sunt definite și urmează a determina temperaturile în nodurile din interior.

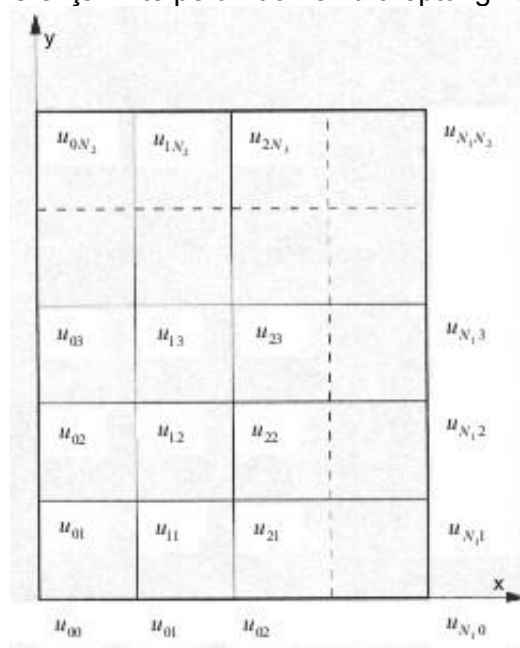


Se obține următorul sistem de ecuații lineare:

$$\begin{cases} u_{20} + u_{11} - 4u_{21} + u_{31} + u_{22} = 0 \\ u_{30} + u_{21} - 4u_{31} + u_{41} + u_{32} = 0 \\ u_{11} + u_{02} - 4u_{12} + u_{22} + u_{13} = 0 \\ u_{21} + u_{12} - 4u_{22} + u_{32} + u_{23} = 0 \\ u_{31} + u_{22} - 4u_{32} + u_{42} + u_{33} = 0 \end{cases}$$

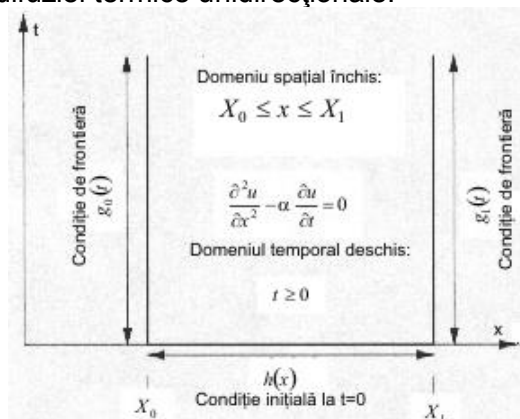
care poate fi rezolvat prin metode matriciale.

În cazul general de diferențe finite pe un domeniu dreptunghiular:

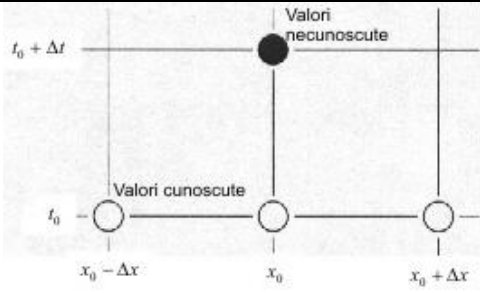
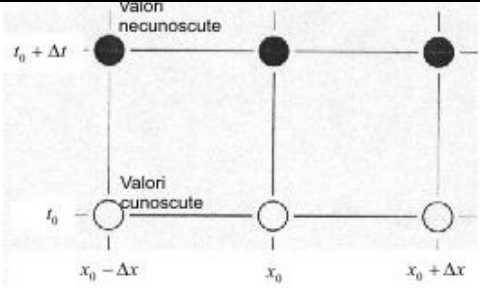


2.2.2 Ecuații diferențiale pentru probleme de propagare

Considerăm ecuația difuziei termice unidirecționale:



unde α reprezintă difuzivitatea termică.

Formularea explicită	Formularea implicită
Expresia în care valoarea necunoscutei este dată explicit în funcție de valorile cunoscute.	Expresia în care pentru calculul valorilor necunoscute este necesar rezolvarea simultană a unui set de ecuații.
	
<p>Această metodă explicită este stabilă numai dacă:</p> $0 \leq \frac{\Delta t}{\alpha(\Delta x)^2} \leq \frac{1}{2} \Rightarrow \Delta t \leq \frac{\alpha(\Delta x)^2}{2}$ <p>Dacă: $\frac{\Delta t}{\alpha(\Delta x)^2} \geq \frac{1}{2}$ soluția este oscilatorie cu amplitudine ce crește exponențial în timp (din analiza stabilității lui Neumann).</p>	<p>Această metodă nu induce erori datorate alegerii incrementului de timp fără restricții relaționale cu incrementul spațial.</p>

CAPITOLUL 3

CALACULUL CU ELEMENTE FINITE

3.1 Analiza ecuațiilor prin metoda elementului finit

3.1.1 Tipuri de probleme

Sub aspectul continuității:

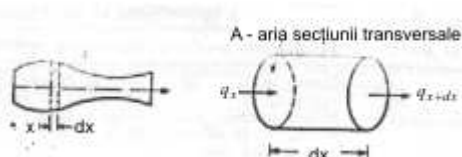
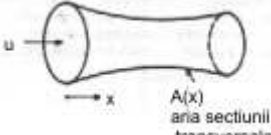
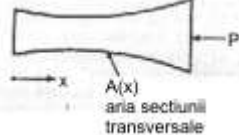
Statice	Dinamice
<ul style="list-style-type: none"> Deși pot fi dependente de timp, efectele inerțiale sunt ignorate sau pot fi neglijate; Ele pot fi strict statice sau numai cvasistatice, iar timpul nu trebuie considerat în mod explicit. 	<ul style="list-style-type: none"> dependența de timp este considerată în mod explicit, deoarece efectele inerțiale implică derivate în timp.

Problemele statice se pot clasifica în:

Lineare	Nelineare
<ul style="list-style-type: none"> Aliura răspunsului este de tip linear, în sensul principilului cauză și efect. 	<ul style="list-style-type: none"> Probleme care nu respectă condiția de linearitate.

3.1.2 Aplicabilitatea generală a metodei

Metoda a fost utilizată pe larg în domeniul structurilor mecanice, însă poate fi utilizată cu succes în multe alte domenii ingineresti, precum conducția termică, curgerea fluidelor, în analiza câmpurilor electrice și magnetice ș.a. Generalizarea aplicabilității metodei elementului finit în problemele ingineresti poate fi remarcată din similitudinea care există între diferitele tipuri de probleme ingineresti, ca de exemplu, pentru cazul tratării unidimensionale a fenomenelor fizice:

Transferul termic	Curgerea unui fluid	Efortul mecanic axial
 <p>Ecuția generală a căldurii dată de Fourier este de forma:</p> $\frac{\partial}{\partial x} \left(\lambda A \frac{\partial T}{\partial x} \right) + \dot{q} A = \rho c \frac{\partial T}{\partial t}$ <p>Dacă sistemul nu dispune de generare internă de căldură $\dot{q} = 0$ și dacă sistemul este în stare de echilibru termic staționar:</p> $\rho c \frac{\partial T}{\partial t} = 0 \Rightarrow \frac{\partial^2 T}{\partial x^2} = 0$	 <p>Pornind de la ecuația bilanțului unei curgeri staționare cu o viteză:</p> $u = \frac{\partial \Phi}{\partial x}$ $\rho A u = \text{constant}$ <p>rezultă că:</p> $\frac{\partial}{\partial x} (\rho A u) = 0 \Rightarrow \frac{\partial^2 \Phi}{\partial x^2} = 0$	 <p>Într-o bară solidă forța aplicată, în funcție de deplasarea axială u și de modulul lui Young:</p> $P = AE \frac{\partial u}{\partial x}$ <p>Dacă:</p> $P = \text{constant}$ $\Rightarrow \frac{\partial^2 u}{\partial x^2} = 0$

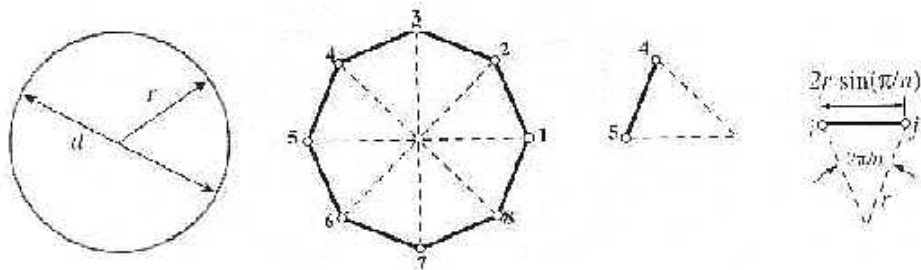
Prin compararea celor trei ecuații, rezultă că o procedură de calcul aplicată uneia dintre ele este identică și pentru celelalte.

3.1.3 Metode de discretizare

Un model matematic continuu poate fi discretizat spațial, respectiv de trecere la un model discret cu un număr finit de grade de libertate, prin următoarele metode:

- Element finit (dominante în probleme lineare și neutilizată în probleme nelineare)
- Element de margine sau de frontieră
- Diferență finită (metodă abandonată în cazul solidelor, dar rămâne în cazul mecanicii fluidelor)
- Volum finit (dedicată legilor de conservare și în probleme din mecanica fluidelor)

Conceptul de element finit este parțial explicat printr-o procedură istorică utilizată de Arhimede, respectiv de determinare a perimetrului unui cerc L , de diametru d . Cercul văzut ca un obiect matematic sursă este înlocuit printr-un poligon, respectiv se realizează o aproximare discretă a cercului



Problema lui Arhimede pentru calculul lungimii unui cerc

Înscriind în cerc un poligon regulat cu n laturi și definind intersecția laturilor polinomului cu cercul ca noduri iar laturile polinomului ca elemente, atunci un element generic generalizat i - j (dezasamblat, conținând un element și două noduri de discontinuitate) are lungimea de:

$$L_{ij} = 2r \sin\left(\frac{\pi}{n}\right)$$

respectiv, determinare independentă de celelalte elemente, numit suport local al metodei elementului finit. Deoarece elementele au aceeași lungime:

$$L_n = nL_{ij} \Rightarrow \pi_n = \frac{L_n}{d} = n \sin\left(\frac{\pi}{n}\right)$$

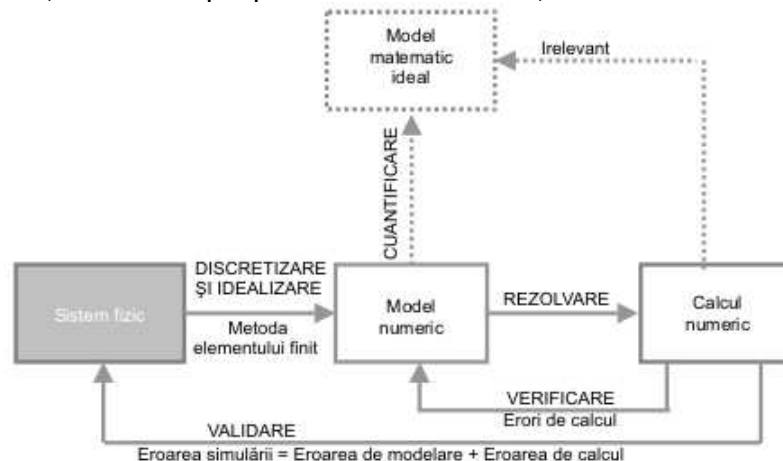
n	π_n
1	0,0000000000000000
2	2,0000000000000000
4	2,828427124746190
8	3,061467458920718
16	3,121445152258052
32	3,136548490545939
64	3,140331156954753
128	3,141277250932773
256	3,1415138011144301

$$\pi = \lim_{n \rightarrow \infty} n \left(\frac{\pi}{n} \right)$$

3.1.4 Metoda elementului finit sub aspect fizic

Procedeele de orice natură, care utilizează metoda elementului finit implică realizarea unei succesiuni de pași. Această succesiune de pași are două configurații, în funcție de mediul în care este utilizată metoda elementului finit și de principalele obiective.

Principala utilizare naturală a metodei elementului finit este aceea de simulare a unui sistem fizic, fapt ce impune realizarea unui model, de unde și denumirea de simulare pe bază de model. Un sistem fizic reprezintă sursa simulării unui proces, în timp ce un model matematic ce se impune creat este în general nerelevant. Discretizarea cu ajutorul metodei elementului finit se poate realiza și ajusta, în mod simplu pe baza măsurărilor, fără a face uz de modelul matematic.

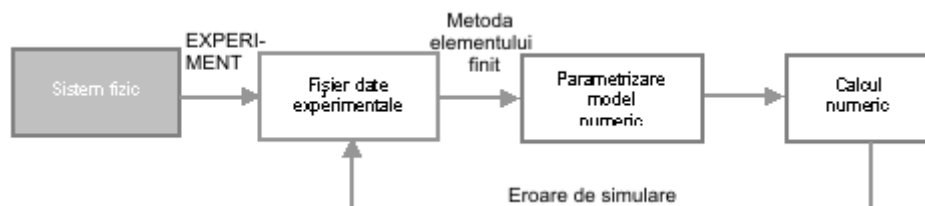


Modelarea și simularea fizică prin metoda elementului finit

Conceptul de eroare se impune în metoda elementului finit prin două căi:

De verificare	De validare
<ul style="list-style-type: none"> - Reprezintă eroarea de rezolvare prin metode numerice a modelului discret și nu este în general importantă; - Această eroare este generată de înlocuirea modelului real cu un model matematic ideal, utilizând metode de discretizare; - Chiar dacă ar exista modele matematice, în cele mai relevante probleme fizice se apelează la modele discrete. 	<ul style="list-style-type: none"> - Compară soluția numerică prin calculul erorii de simulare care combină erorile de modelare și de calcul; - Deoarece eroarea de calcul este în general nesemnificativă, eroarea de simulare poate fi identificată cu eroarea de modelare.

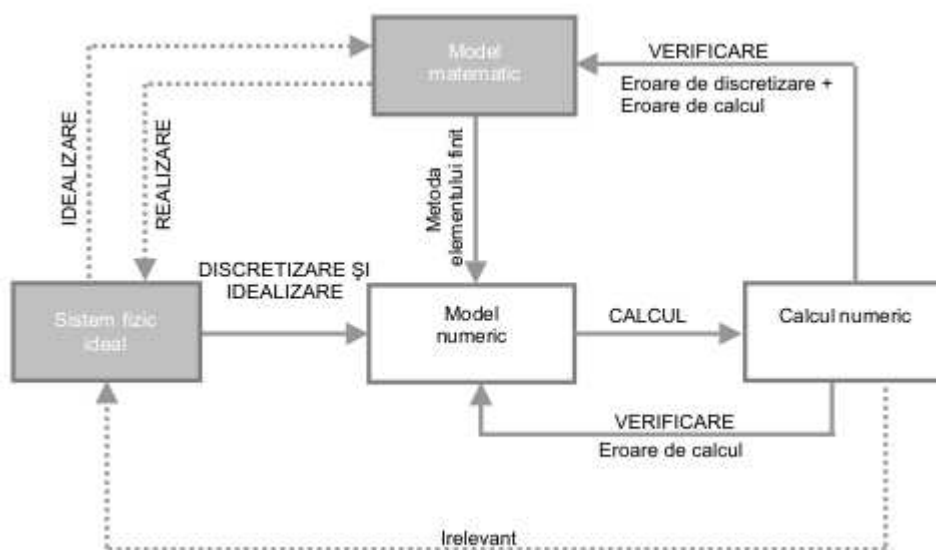
O modalitate de a ajusta modelul numeric, în așa fel încât să corespundă cât mai bine modelului fizic real, poartă denumirea de model reactualizat. În măsura în care condițiile de minimizare sunt în general nelineare, chiar și în cazul în care modelul este linear, reactualizarea procesului se realizează în mod inerent prin proceduri iterative.



Model reactualizat prin date experimentale

3.1.5 Metoda elementului finit sub aspect matematic

O cale naturală de utilizare a metodei elementului finit se axează pe matematică, urmând următorii pași:



Modelarea și simularea matematică prin metoda elementului finit

Modelul matematic este în general o ecuație diferențială ordinară sau parțială, variabile în spațiu și timp. Discretizarea (fără nici o legătură cu fizica), reprezintă modelul discret cu elemente finite generat dintr-o formă variațională sau nu a modelului matematic. Ecuațiile cu diferențe finite sunt procesate prin proceduri care returnează o soluție numerică. Sistemul fizic ideal poate fi prezentat ca o realizare a modelului matematic, modelul matematic fiind văzut ca o idealizare a acestui sistem.

Conceptul de eroare de rezolvare reprezintă cantitatea cu care soluția numerică satisface ecuația numerică și este relativ neimportantă dacă este utilizat calculatorul. Eroarea de discretizare reprezintă cantitatea cu care soluția numerică satisface modelul matematic.

Metoda elementului finit fizic și matematic nu reprezintă secvențe exclusiviste ci complementare. Această sinergie reprezintă una dintre cauzele puterii și acceptanței metodei. Existând două căi de complementaritate a utilizării metodei elementului finit există și două

interpretări complementare; una legată de semnificația fizică și cealaltă focalizată pe contextul matematic.

3.1.6 Interpretarea metodei elementului finit

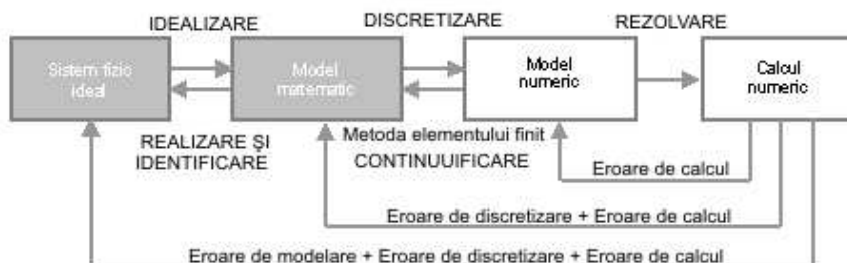
Interpretarea fizică	Interpretarea matematică
<ul style="list-style-type: none"> • Conceptul de bază este de <i>breakdown</i>(dezasamblare, distrugere, partiție, separare, descompunere) a unui sistem complex într-unul mai simplu compus din elemente finite (piese primare), caracterizate printr-un număr finit de grade de libertate; • Gradele de libertate reprezintă valori necunoscute ale funcției într-un set de puncte nodale; • Sistemul original este aproximat de un model discret construit prin conectarea sau asamblarea tuturor elementelor; • Procesul de discretizare constă în împărțirea sistemului în subsisteme. Dacă și subsistemul este complex atunci și acesta va fi supus divizării 	<ul style="list-style-type: none"> • Metoda elementului finit este văzută ca o procedură de obținere a unei aproximări numerice a soluției problemelor cu condiții de frontieră asupra unui domeniu; • Domeniul este înlocuit dintr-un ansamblu de subdomenii numite elemente finite. Prin asamblarea geometrică a subdomeniilor se obține doar o formă aproximativă a domeniului; • Funcția necunoscută este aproximată local pe fiecare element printr-o procedură de interpolare funcție de valorile atribuite funcției și dacă este posibil și a derivatelor ei, pentru un set de puncte nodale, amplasate în general pe marginea elementului.

3.2 Introducerea în modelarea prin metoda elementului finit

3.2.1 Idealizare

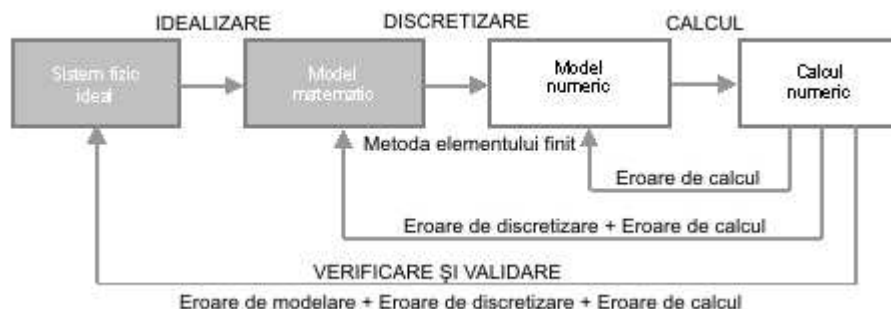
Prin idealizare se trece de la sistemul fizic la modelul matematic. Acesta reprezintă pasul cel mai important în practica inginerescă, respectiv de cel ce trebuie să o efectueze.

Cuvântul model are ca o primă definiție copia sau reprezentarea unui obiect. El reprezintă un dispozitiv simbolic creat pentru a simula și a anticipa aspecte comportamentale previzibile într-un sistem. Trebuie făcută distincția între comportare și aspecte comportamentale.



Simularea unui proces prin metoda elementului finit

Modelarea matematică sau idealizarea reprezintă un proces cu care inginerul sau cercetătorul trece de la un sistem fizic real la un model matematic al sistemului. Procesul este numit idealizare deoarece modelul matematic necesită o abstractizare a realității fizice (necesară reducerii controlabile a complexității). Rezultatele procesate numeric sau analitic pe modelul matematic sunt reinterpretate fizic numai sub aspectul de comportabilitate. Pentru simulare se impune reducerea complexității proporției de manevrabilitate. Acest deziderat se obține prin filtrarea detaliilor fizice ce nu sunt relevante în analiza procesului.



Simularea bazată pe model

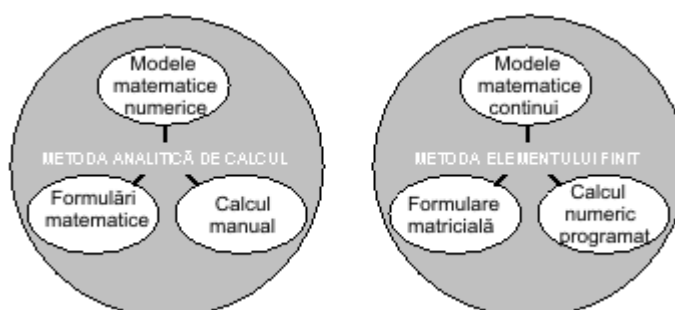
Un scenariu obișnuit industrial este acela că un inginer trebuie să analizeze o structură sau substructură și pentru care el dispune doar de o cutie neagră, care reprezintă un program cu elemente finite. Acest program oferă un catalog cu elemente finite tip, dar din momentul în care se acceptă un element specific din catalog se impune alegerea automată și a modelului matematic pe care se bazează elementul ales. Această alegere este denumită modelare implicită. În cazul în care modelul matematic este impus pentru un model fizic modalitatea de modelare se numește explicită. Această ultimă metodă implică însă multă expertiză tehnică, resurse, experiență tehnică și profesionalism.

În mod practic este utilizată o metodă care combină modelarea explicită cu cea implicită, prin utilizarea unor subprograme, unele destinate modelării fizice iar celelalte simulării fizice.

Cuvântul model constituie un dispozitiv simbolic construit pentru a simula și a anticipa aspecte de așteptat a unui sistem.

3.2.2 Discretizare

Modelarea matematică reprezintă un pas către simplificare cu toate că sistemele fizice nu sunt în mod necesar ușor de rezolvat. Adesea ele implică ecuații diferențiale variabile spațial și temporal și care sunt supuse unor condiții de frontieră sau de interfață. Astfel de modele prezintă o infinitate de grade de libertate. Există două modalități de rezolvare, fie pe cale analitică, fie pe cale numerică:



Compatăție între metodele analitice și cele numerice

Rezolvarea prin metode analitice (soluții în formă precisă)	Rezolvarea prin metode numerice (metoda elementului finit)
<ul style="list-style-type: none"> • Satisfac mai mult intelectual • Din nefericire, acestea sunt aplicabile pentru forme geometrice marginale simple și regulate • Sub aspect ingineresc, fie nu se pretează unui calcul analitic, fie sunt prea istovitoare de rezolvat 	<ul style="list-style-type: none"> • Pentru a realiza practic simularea numerică este necesar de a reduce numărul gradelor de libertate la un număr finit prin metoda de discretizare, respectiv de a genera un model discret • Pentru sisteme ingineresti complexe se impune o descompunere multinivel • Discretizarea se poate realiza atât spațial cât și temporal

În practica inginerescă erorile de modelare pot fi cele mai însemnate, dar sunt greu de evaluat deoarece validarea modelului impune acces și comparație cu date experimentale.

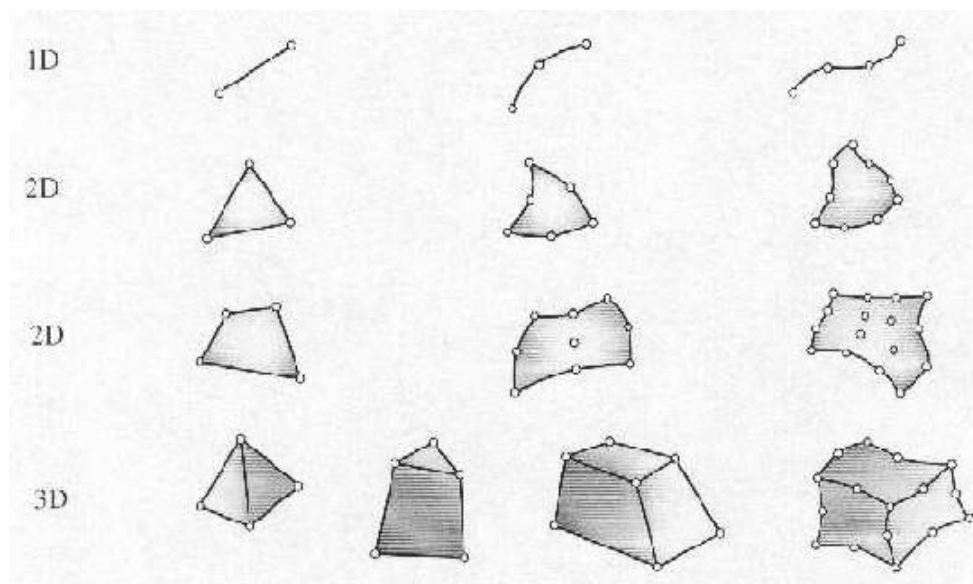
O altă sursă de eroare importantă este eroarea de discretizare. Chiar dacă se ignoră erorile de rezolvare soluția calculată pe baza modelului discret reprezintă doar o aproximare față de soluția exactă a modelului matematic. Măsura acestei abateri se numește eroare de discretizare. Caracterizarea și studierea acelei erori ține de teoria aproximării din analiza numerică (cerințele de convergență a soluției numerice).

În mod intuitiv se poate postula că o precizie mai ridicată a soluției obținute pe modelul discret se poate obține prin creșterea gradelor de libertate, respectiv că eroarea de discretizare va tinde către zero atunci când numărul gradelor de libertate va tinde către infinit.

3.2.3 Atributele elementelor finite

Proprietățile locale pot fi identificate considerându-le în sisteme individuale și izolate, prin pași de deconectare și localizare, respectiv separarea elementului de nodurile din vecinătatea lui și amplasarea lui într-un sistem de coordonate local convențional.

După efectuarea acestor doi pași vor rezulta elemente generice, precum cele ilustrate în figura de mai jos:



Alocarea nodurilor pe un element definit

Datele asociate unui element finit individual sunt:

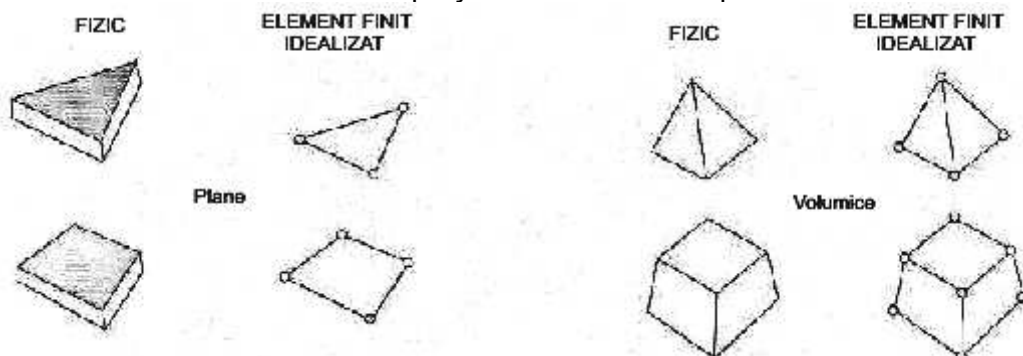
Dimensionalitate intrinsecă	Elementele pot avea 1, 2 sau 3 dimensiuni, sau chiar cu dimensionalitate nulă (punct masic)
Puncte nodale	Fiecare element are un set de puncte nodale (noduri), care servesc definirii elementului geometric și a gradelor de libertate. Acestea sunt amplasate de obicei în colțuri și la capetele elementului, dar și pe fețele și în interiorul elementului.
Geometrie	Definită prin amplasarea punctelor nodale.
Grade de libertate	Specifică starea elementului și posibilitatea de conectare cu elementele adiacente. Ele sunt definite ca valori sau derivate ale variabilei de câmp primare în punctele nodale și arată modul în care variabila primară este evidențiat în modelul matematic.
Forțe nodale	Acestea sunt în corespondență cu gradele de libertate, de exemplu pe bază de bilanț energetic.
Proprietăți constitutive	Specifică natura și proprietățile materialului.

COMPONENTĂ FIZICĂ DE STRUCTURĂ	DENUMIRE MODEL MATEMATIC	ELEMENT FINIT DE DISCRETIZARE
	Bară	
	Traversă	
	Tub, țevă	
	Lonjeron	
	Panou marginal	

Elemente primare de structură

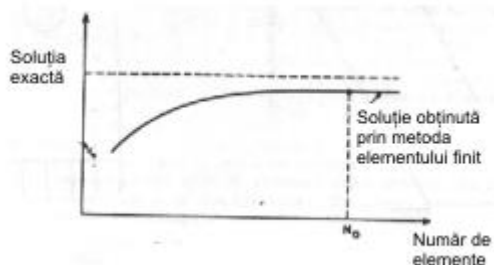
Calificativul de primitiv se utilizează pentru a distinge macroelementele. Primitivele nu sunt desasamblabile în elemente mai simple.

Elementele continue rezultă din împărțirea structurilor componente văzute ca un continuu.



Elemente continue

Numărul de elemente ce pot fi idealizate depinde de precizia de modelare dorită, de dimensiunea elementului și de numărul gradelor de libertate implicate. În general, prin creșterea numărului de elemente precizia de calcul va crește. Totuși, peste un anumit număr de elemente precizia nu mai suferă îmbunătățiri semnificative.



3.3 Elemente de algebra matricială

3.3.1 Noțiuni introductive

Matricile exprimă relațiile algebrice lineare în formă compactă, fapt ce ușurează vizualizarea și înțelegerea esenței. Fie următorul sistem de ecuații liniare:

$$\begin{cases} a_{11}x_1 + a_{12}x_2 + \dots + a_{1j}x_j + \dots + a_{1n}x_n = y_1 \\ a_{21}x_1 + a_{22}x_2 + \dots + a_{2j}x_j + \dots + a_{2n}x_n = y_2 \\ \dots \\ a_{i1}x_1 + a_{i2}x_2 + \dots + a_{ij}x_j + \dots + a_{in}x_n = y_i \\ \dots \\ a_{m1}x_1 + a_{m2}x_2 + \dots + a_{mj}x_j + \dots + a_{mn}x_n = y_m \end{cases}$$

$$\Rightarrow \begin{bmatrix} a_{11} & a_{12} & \dots & a_{1j} & \dots & a_{1n} \\ a_{21} & a_{22} & \dots & a_{2j} & \dots & a_{2n} \\ \dots & \dots & \dots & \dots & \dots & \dots \\ a_{i1} & a_{i2} & \dots & a_{ij} & \dots & a_{in} \\ \dots & \dots & \dots & \dots & \dots & \dots \\ a_{m1} & a_{m2} & \dots & a_{mj} & \dots & a_{mn} \end{bmatrix} \begin{bmatrix} x_1 \\ x_2 \\ \dots \\ x_j \\ \dots \\ x_n \end{bmatrix} = \begin{bmatrix} y_1 \\ y_2 \\ \dots \\ y_i \\ \dots \\ y_m \end{bmatrix}$$

$$\Leftrightarrow [A][x] = [y]$$

3.3.2 Vector

Prin definiție, un set de n numere ce pot fi scrise în forma:

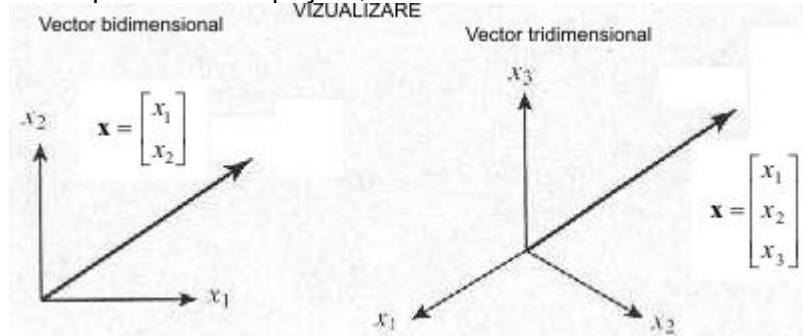
Vector coloană	Vector rând
$\mathbf{x} = \begin{bmatrix} x_1 \\ x_2 \\ \vdots \\ x_n \end{bmatrix}$	$\mathbf{z} = [z_1 \ z_2 \ \dots \ z_n]$

Transpusa unui vector coloană într-un vector rând cu aceleași elemente componente este:

$$\mathbf{x}^T = [x_1 \ x_2 \ x_3 \ \dots \ x_n] \Rightarrow (\mathbf{x}^T)^T = \mathbf{x}$$

Doi vectori, coloană sau rând, \mathbf{x} și \mathbf{y} sunt egali dacă și numai dacă toate componentele lor sunt egale, respectiv $x_i = y_i$, pentru $i=1,2,\dots,n$. Vectorii de ordine de mărime diferite nu pot fi comparați prin egalitate sau inegalitate.

Vizualizarea în reprezentarea spațială, în sistem de coordonate cartezian este:



Vectorii au următoarele proprietăți:

<p>Adunarea și scăderea</p>	$\mathbf{x} + \mathbf{y} \stackrel{def}{=} \begin{bmatrix} x_1 + y_1 \\ x_2 + y_2 \\ \dots \\ x_n + y_n \end{bmatrix}$
<p>Înmulțire cu un scalar (scalarea unui vector)</p>	$c \mathbf{x} \stackrel{def}{=} \begin{bmatrix} cx_1 \\ cx_2 \\ \dots \\ cx_n \end{bmatrix}$ <p>Dacă $c=0$ rezultă un vector nul. Dacă $c < 0$ sensul vectorului se inversează</p>
<p>Produsul scalar a doi vectori</p>	$(\mathbf{x}, \mathbf{y}) = \mathbf{x}^T \mathbf{y} = \mathbf{y}^T \mathbf{x} \stackrel{def}{=} \sum_{i=1}^n x_i y_i \stackrel{sc}{=} x_1 y_1 + \dots + x_n y_n$
<p>Norma Euclidiană</p>	$\ \mathbf{x}\ \stackrel{def}{=} \sqrt{(\mathbf{x}, \mathbf{x})} = \sqrt{\sum_{i=1}^n x_i^2} \stackrel{sc}{=} \sqrt{x_1^2 + \dots + x_n^2} \Rightarrow \ \mathbf{x}\ \stackrel{def}{=} \sqrt{\ \mathbf{x}\ ^2}$
<p>Comutativitate</p>	$\mathbf{x} + \mathbf{y} = \mathbf{y} + \mathbf{x}$ $(\mathbf{x}, \mathbf{y}) = (\mathbf{y}, \mathbf{x})$
<p>Asociativitate</p>	$\mathbf{x} + (\mathbf{y} + \mathbf{z}) = (\mathbf{x} + \mathbf{y}) + \mathbf{z}$
<p>Împărțirea cu un scalar</p>	$\frac{\mathbf{x}}{c} \equiv \frac{\mathbf{x}}{c} \stackrel{def}{=} \left(\frac{1}{c \neq 0} \right) \mathbf{x}$
<p>Vector nul</p>	$\mathbf{o} = [0 \ 0 \ \dots \ 0]$
<p>Vector unitate</p>	$\mathbf{e}_j = [0 \ 0 \ \dots \ 1 \ \dots \ 0]$
<p>Vector unitar</p>	$\mathbf{e} = [1 \ 1 \ \dots \ 1]$

Inegalități importante	$ \langle \mathbf{x}, \mathbf{y} \rangle \leq \ \mathbf{x}\ \ \mathbf{y}\ $ $\ \mathbf{x} + \mathbf{y}\ \leq \ \mathbf{x}\ + \ \mathbf{y}\ $
Normalizare la unitatea de lungime	$\frac{\mathbf{x}}{\ \mathbf{x}\ } = \begin{bmatrix} \frac{x_1}{\ \mathbf{x}\ } \\ \frac{x_2}{\ \mathbf{x}\ } \\ \dots \\ \frac{x_n}{\ \mathbf{x}\ } \end{bmatrix}$
Vector ortogonal	$\cos \theta = \langle \mathbf{x}, \mathbf{y} \rangle = 0 \left(\theta = \frac{\pi}{2} \right)$

3.3.3 Matricea

Un set de mărimi scalare, a_{ij} numite componente, aranjate într-un tablou dreptunghiular, cu m rânduri și n coloane, poartă denumirea de matrice dreptunghiulară de ordinul $m \times n$:

$$\mathbf{A} = \begin{bmatrix} a_{11} & a_{12} \dots a_{1j} \dots a_{1n} \\ a_{21} & a_{22} \dots a_{2j} \dots a_{2n} \\ \dots & \dots & \dots & \dots \\ a_{i1} & a_{i2} \dots a_{ij} \dots a_{in} \\ \dots & \dots & \dots & \dots \\ a_{m1} & a_{m2} \dots a_{mj} \dots a_{mn} \end{bmatrix} \Leftrightarrow \mathbf{A} = [a_{ij}]$$

Transpusa (inversa) unei matrici este:

$$\mathbf{A}^T = [a_{ji}] \Rightarrow (\mathbf{A}^T)^T = \mathbf{A}$$

În cazul în care $m = n$ matricea se numește patrată de ordinul n . Matricea inversă a unei matrici patratice este definită \mathbf{A}^{-1} și este dată prin relația:

$$\mathbf{A}^{-1} \mathbf{A} = \mathbf{I}$$

Cea mai importantă aplicație a matricii inverse este rezolvarea unui sistem de ecuații lineare în următorii pași:

Pre supunem:

$$\mathbf{A}\mathbf{x} = \mathbf{y} \mid \mathbf{A}^{-1} \Rightarrow \mathbf{x} = \mathbf{A}^{-1}\mathbf{y}$$

Principalele proprietăți a matricilor sunt:

Simetrie și nesimetrie	Simetric (diagonală)	Asimetric	
	Elementele din afara diagonalei sunt simetrice.	Toate elementele de pe diagonală sunt nule.	
	$a_{ij} = a_{ji}$	$a_{ij} = -a_{ji}$	
Matrice nulă	$\mathbf{O} = \begin{bmatrix} 0 & 0 \dots 0 \dots 0 \\ 0 & 0 \dots 0 \dots 0 \\ \dots & \dots & \dots & \dots \\ 0 & 0 \dots 0 \dots 0 \\ \dots & \dots & \dots & \dots \\ 0 & 0 \dots 0 \dots 0 \end{bmatrix}$		

Matrice diagonală	$\mathbf{D} = \begin{bmatrix} a_{11} & 0 & \dots & 0 & \dots & 0 \\ 0 & a_{22} & \dots & 0 & \dots & 0 \\ \dots & \dots & \dots & \dots & \dots & \dots \\ 0 & 0 & \dots & a_{nn} & \dots & 0 \\ \dots & \dots & \dots & \dots & \dots & \dots \\ 0 & 0 & \dots & 0 & \dots & a_{nn} \end{bmatrix} \quad (n \times n) \Leftrightarrow D = \text{diag}[a_{11} \ a_{22} \ \dots a_{ii} \ \dots a_{nn}]$	
Matrice triunghiulară	<div>Supradiagonală</div> $\mathbf{U} = \begin{bmatrix} a_{11} & a_{12} & \dots & a_{1i} & \dots & a_{1n} \\ 0 & a_{22} & \dots & a_{2i} & \dots & a_{2n} \\ \dots & \dots & \dots & \dots & \dots & \dots \\ 0 & 0 & \dots & a_{ii} & \dots & a_{in} \\ \dots & \dots & \dots & \dots & \dots & \dots \\ 0 & 0 & \dots & 0 & \dots & a_{nn} \end{bmatrix}$	<div>Subdiagonală</div> $\mathbf{L} = \begin{bmatrix} a_{11} & 0 & \dots & 0 & \dots & 0 \\ a_{21} & a_{22} & \dots & 0 & \dots & 0 \\ \dots & \dots & \dots & \dots & \dots & \dots \\ a_{i1} & a_{i2} & \dots & a_{ii} & \dots & 0 \\ \dots & \dots & \dots & \dots & \dots & \dots \\ a_{n1} & a_{n2} & \dots & a_{in} & \dots & a_{nn} \end{bmatrix}$
Matrice egale	$\mathbf{A} = \mathbf{B} \Rightarrow a_{ij} = b_{ij} \ (i = 1, 2, \dots, m, \ j = 1, 2, \dots, n)$	
Adunarea și scăderea	$\mathbf{A} + \mathbf{B} \stackrel{\text{def}}{=} [a_{ij} + b_{ij}]$ $\mathbf{A} + \mathbf{B} = \mathbf{B} + \mathbf{A} \text{ si } \mathbf{A} + (\mathbf{B} + \mathbf{C}) = (\mathbf{A} + \mathbf{B}) + \mathbf{C}$	
Înmulțirea cu un scalar	$c\mathbf{A} \stackrel{\text{def}}{=} [ca_{ij}]$	
Înmulțirea unei matrici cu un vector	$\mathbf{y} = \mathbf{A}\mathbf{x} \text{ unde } \mathbf{A} = [a_{ij}] (m \times n), \mathbf{x} = \{x_j\} (n) \Rightarrow \mathbf{y} = \{y_i\} (m)$ $y_i \stackrel{\text{def}}{=} \sum_{j=1}^n a_{ij} x_j \stackrel{\text{sc}}{=} a_{ij} x_j, \ i = 1, 2, \dots, m$	
Înmulțirea a două matrici	$\mathbf{C} = \mathbf{A}\mathbf{B} \text{ unde } \mathbf{A} = [a_{ij}] (m \times n), \mathbf{B} = [b_{jk}] (n \times p) \text{ si } \mathbf{C} = [c_{ik}] (m \times p) \Rightarrow$ $c_{ik} \stackrel{\text{def}}{=} \sum_{j=1}^n a_{ij} b_{jk} \stackrel{\text{sc}}{=} a_{ij} b_{jk}, \ i = 1, 2, \dots, m \ k = 1, 2, \dots, p$ $\begin{bmatrix} a_{11} & \dots & a_{1n} \\ \dots & \dots & \dots \\ a_{i1} & \dots & a_{in} \\ \dots & \dots & \dots \\ a_{m1} & \dots & a_{mn} \end{bmatrix} \begin{bmatrix} b_{11} & \dots & b_{1k} & \dots & b_{1p} \\ \dots & \dots & \dots & \dots & \dots \\ \dots & \dots & \downarrow & \dots & \dots \\ b_{n1} & \dots & b_{nk} & \dots & b_{np} \end{bmatrix} = \begin{bmatrix} \dots & c_{ik} & \dots \end{bmatrix}$ $\mathbf{A}(\mathbf{B}\mathbf{C}) = (\mathbf{A}\mathbf{B})\mathbf{C}$ $\mathbf{A}(\mathbf{B} + \mathbf{C}) = \mathbf{A}\mathbf{B} + \mathbf{A}\mathbf{C} \Rightarrow (\mathbf{B} + \mathbf{C})\mathbf{A} = \mathbf{B}\mathbf{A} + \mathbf{C}\mathbf{A}$ $(\mathbf{A}\mathbf{B} \dots \mathbf{N})^T = \mathbf{N}^T \dots \mathbf{B}^T \mathbf{A}^T$	
Ridicarea la putere a unei matrici	$\mathbf{A}^m = \mathbf{A}\mathbf{A}\mathbf{A} \dots \mathbf{A}$	

Principalele proprietăți ale matricii inverse sunt:

Inversa matricii transpuse este egală cu transpusa inversei	$(\mathbf{A}^T)^{-1} = (\mathbf{A}^{-1})^T$
Inversa matricii simetrice este simetrică	$(\mathbf{A}^T)^{-1} = \mathbf{A}^{-1} = (\mathbf{A}^{-1})^T$
Inversa matricii produs	$(\mathbf{B}\mathbf{A})^{-1} = \mathbf{B}^{-1}\mathbf{A}^{-1}$

3.3.4 Determinant

Determinantul unei matrici patratice reprezintă un număr definit astfel:

$$\det|\mathbf{A}| = \pm \Pi a_{1j_1}, a_{2j_2}, \dots, a_{nj_n} \text{ unde } \begin{cases} + \text{daca permutarea}(j_1 j_2 \dots j_n) \text{ este para} \\ - \text{daca permutarea}(j_1 j_2 \dots j_n) \text{ este impara} \end{cases}$$

Determinanții au următoarele proprietăți principiale:

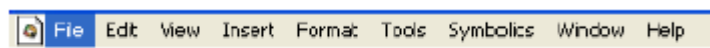
CAPITOLUL 4

4.1 MathCAD Prezenta generală

Sistemul informatic (aplicația) MathCAD este un produs al companiei MathSoft, specializat în rezolvarea problemelor de matematică, fie numeric, fie simbolic. Versiunile MathCAD Professional ≥ 2000 sau MathCAD 11 Enterprise necesită aceleași cerințe hard ca și Windows 2000 sau Windows XP. Lansarea în execuție și părăsirea aplicației MathCAD se fac ca și pentru orice componentă MS Office.

Descrierea ferestrei principale

Fereastra principală are aceeași structură ca și cea a componentelor MS Office. Linia a doua, *meniul principal* al aplicației conține următoarele submeniuri:



Sub-meniul *File* conține comenzile:

New – pentru a începe un nou document de tip MathCAD. Extensia unui document MathCAD este *.mcd*;

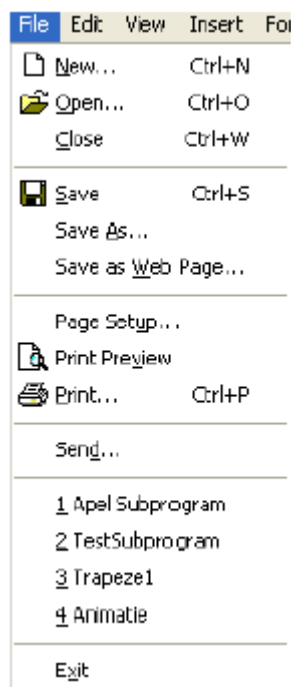
Open – pentru deschiderea unui document MathCAD deja existent; **Close** – pentru închiderea documentului curent;

Save – pentru salvarea documentului curent;

Save as – pentru salvarea cu un alt nume a documentului curent; **Page setup** – pentru stabilirea dimensiunilor hârtiei la imprimantă;

Print preview – pentru vizualizarea documentului înainte de a fi imprimat;

Print – pentru imprimarea documentului curent.



Sub-meniul Edit conține comenzile referitoare la editarea de documente. Câteva dintre comenzile de editare:

Undo – pentru renunțarea la ultima acțiune de editare a documentului curent;

Redo – are efect invers comenzii Undo;

Cut – pentru decuparea zonei selectate din document;

Copy – pentru a trece în Clipboard zona selectată;

Paste – pentru a plasa conținutul din Clipboard în locul precizat;

Paste Special – pentru a plasa obiecte și imagini, care se găsesc în Clipboard, în locul precizat;

Delete – pentru a șterge zona selectată;

Select All – pentru a selecta documentul întreg;

Find – pentru a găsi un cuvânt în documentul curent. Cursorul se poziționează pe cuvânt dacă acesta există;

Replace – pentru găsirea unui cuvânt și înlocuirea acestuia printr-un altul;

Go to page – pentru a plasa cursorul la începutul paginii indicate;

Check spelling – pentru lansarea modulului care controlează sintactica și gramatica documentului.

Sub-meniul View conține următoarele comenzi privind aspectul ecranului :

Tools bar – bara de instrumente, conținând tipurile:

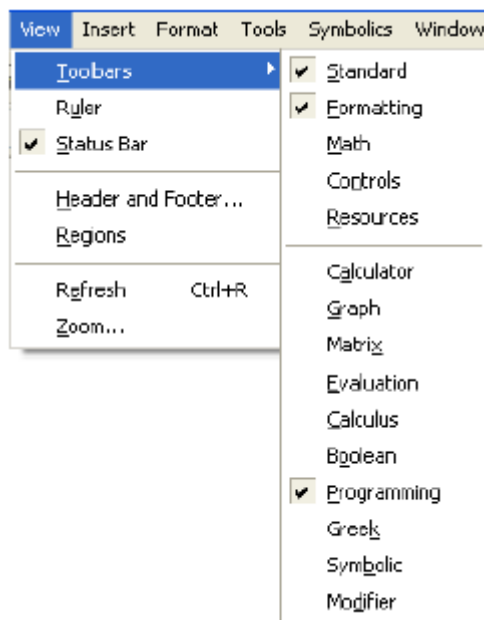
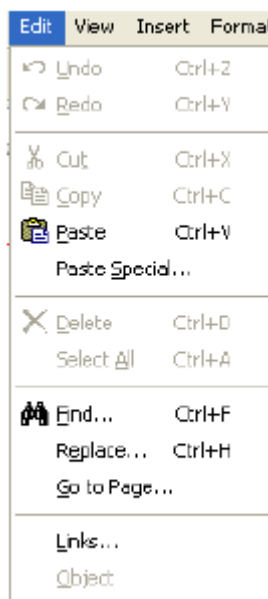
Standard – include butoanele corespunzând celor mai utilizate comenzi ale sub-meniurilor *File*, *Edit*. Ea se plasează sub bara de meniu principală ;

Formating – are butoane pentru stabilirea tipurilor și dimensiunii caracterelor, poziția și indentarea textului ;

Math – conține butoane corespunzând barelor instrumentelor (palette) pentru : calcule aritmetice (*Calculator*), evaluări de expresii aritmetice (*Evaluation*) și logice (*Boolean*), reprezentări grafice de funcții (*Graph*), definirea vectorilor și matricelor și calcul matriceal (*Matrix*), calcul de sume, integrale, derivate, limite (*Calculus*), comenzi pentru scrierea programelor MathCAD (*Programming*), caractere ale alfabetului grecesc (*Greek*), calcul simbolic (*Symbolic*) .

Status bar – bara de stare a documentului curent. Ea se plasează la baza ecranului;

Header and Footer permite inserarea numărului de pagină într-un document fie în



antetul paginii, fie în subsol;

Regions – pentru identificarea zonelor documentului (de text și conținând expresii matematice, programe etc);

Zoom – pentru stabilirea dimensiunii caracterelor în vederea afișării pe ecran;

Refrech – pentru refacerea imaginii afișate pe ecran.

Sub-meniul Insert are comenzi pentru inserarea în document a graficelor, matricelor, funcțiilor, imaginilor, pentru stabilirea unităților de măsură etc. Câteva comenzi ale acestui sub-meniu : **Graph** – MathCAD permite reprezentarea grafică a funcțiilor în două sau trei dimensiuni sub forme diferite ;

Matrix – pentru stabilirea dimensiunilor unui tablou (vector sau matrice) ;

Function – permite inserarea funcțiilor care se găsesc în biblioteca aplicației ;

Unit – MathCAD, având posibilitatea de a rezolva probleme de fizică, mecanică etc, are nevoie de unități de măsură în care sunt exprimate datele ;

Picture – permite inserarea unei imagini în documentul MathCAD ; **Area** – pentru separarea documentului în zone distincte ;

Math/Text Region – pentru delimitarea zonelor documentului în care sunt formule matematice și programe pe de o parte de zonele de text (comentarii) pe de altă parte.

Sub-meniul Format are comenzi pentru aranjarea aspectului documentului. De exemplu :

Equation – pentru stabilirea tipurilor de caractere pentru variabile și constante incluse într-o ecuație;

Result – pentru precizarea formei rezultatelor (numărul de cifre zecimale,

simbolul pentru numărul complex $\sqrt{-1}$ etc);

Text – permite stabilirea tipului și dimensiunii caracterelor unui text ;

Paragraph – pentru indentarea textului ;

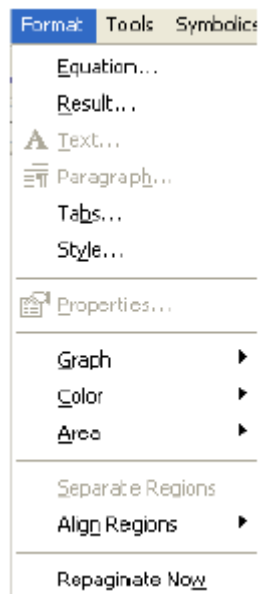
Style – pentru editarea documentului împărțit în secțiuni, capitole, sub-capitole etc ;

Color – permite stabilirea culorii fondului documentului ;

Separate Regions – pentru delimitarea (fără linii) a regiunilor documentului ;

Headers/Footers – pentru inserarea antetului și sub-solului în document ;

Repaginate Now – pentru numerotarea



paginilor documentului.

Sub-meniul Tools conține comenzi pentru lasarea calculelor (fie numerice, fie simbolice). De exemplu :

Calculate – determină execuția calculelor pentru zona unde se găsește cursorul ;

Calculate Worksheet – execută calculele cuprinse în documentul curent ;

Automatic Calculation – execută automat calculele de fiecare dată când o formulă este scrisă ;

Options – permite stabilirea valorii inițiale pentru indicele vecinătăți de măsură, tipul de entități ;

torilor și matricelor, sistemul de

Animation – pentru realizarea unei animații într-o reprezentare grafică a unei funcții.

Sub-meniul Symbolics are comenzi care permit calculul simbolic (calculul derivatelor, primitivelor, dezvoltări în serie Taylor etc). Câteva comenzi ale acestui sub-meniu :

Simplify – pentru simplificarea expresiilor matematice ;

Factor – pentru scrierea expresiilor ca un produs de factori ireductibili ;

Polynomial Coefficients – pentru determinarea vectorului coeficienților unui polinom ;

Variable – are la rândul său o listă de opțiuni care devin accesibile dacă se plasează cursorul pe o variabilă, pentru aflarea rădăcinii (*Solve*) unei ecuații, pentru calcularea derivatei (*Differentiate*), a primitivei (*Integrate*), pentru dezvoltarea în serie Taylor (*Expand to Series*) etc ;

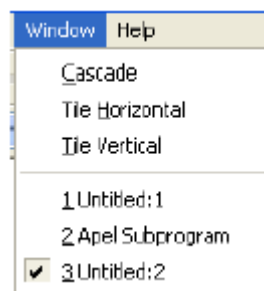
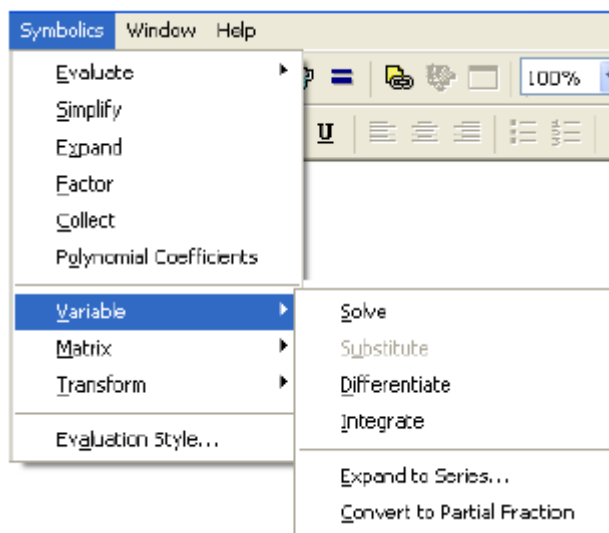
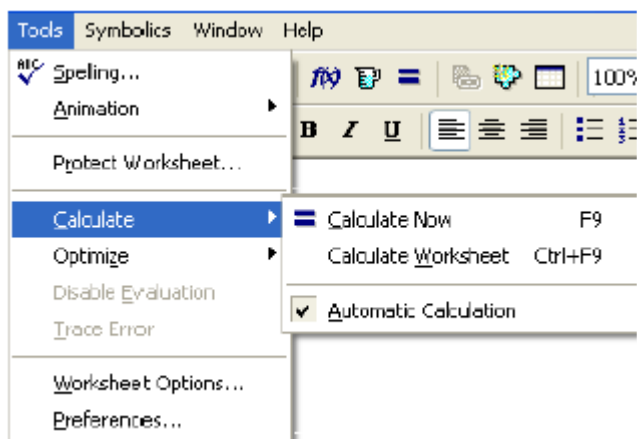
Matrix – pentru determinarea matricei transpuse (*Transpose*), a matricei inverse (*Inverse*), determinantul unei matrice (*Determinant*) ;

Transform – pentru determinarea transformatei directe și a transformatei inverse de tip Fourier, Laplace, Z ;

Sub-meniul Window are comenzi pentru divizarea ferestrei în două

părți, fie orizontale, fie verticale, pentru aranjarea ferestrelor în cascadă și are o listă a documentelor deschise în sesiunea curentă

Sub-meniul Help are informații asupra acestei aplicații și se pot accesa aceste informații fie apăsând tasta F1, fie făcând clic deasupra sub-meniului *Help*.



În zona de editare regiunile pot fi: regiune de calcule (implicită), *Text Region* (comentarii), regiune de grafice. Dacă se suprapun două regiuni, cu *Separate Regions* din sub-meniul *Format*, aceste devin vizibile. Un comentariu se deschide cu semnul " sau din sub-meniul *Insert* se selectează *Text Region*. Pentru părăsirea unei regiuni de text se face clic în afara acesteia sau se folosesc săgețile direcționale.

În MathCAD se face distincție între literele majuscule și cele minuscule în zonele de calcul.

Într-un document MathCAD calculele se fac de la stânga spre dreapta de sus în jos!

Numele de variabile (identificatori) se formează cu litere și/sau cifre prima obligatoriu literă, la care se pot adăuga și indici cum se arată mai jos.

Indicii în MathCAD sunt folosiți pentru:

a) identificarea elementelor unui vector

$v \in R^n$, v_i desemnând a i -a componentă a vectorului v , sau unei matrice

$A \in M_{n,m}(R)$, A_{ij} desemnând elementul de pe linia i și coloana j a matricei A .

Acest indice se obține fie din paleta *Matrix*, fie cu [

Notă: Implicit, în MathCAD, indicii încep cu valoarea zero !

Se poate schimba valoarea inițială a indicilor utilizând *Worksheet Options* din sub-meniul *Tools*, înlocuind zero cu noua valoare în câmpul *Array Origin*, ca în figura alăturată.

b) identificarea coloanelor unei ma-trice,

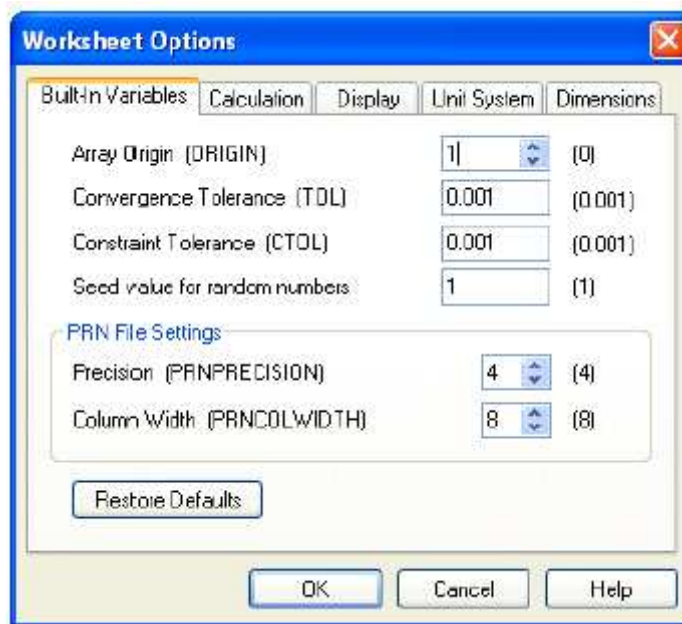
$A \in M_{n,m}(R)$, $A^{<i>$

desemnând coloana a i -a a matricei A . Indicele de coloană se ia fie din paleta *Matrix*, fie se folosește combinația de taste Ctrl și

^

apăsate simultan.

c) identificarea variabilelor (nume de variabile) x_i reprezentând variabila cu acest nume și nu componenta a i -a a unui vector. Acest indice se obține punând după literă caracterul punct (.) apoi indicele.



Atribuirea în MathCAD se face utilizând simbolul : care devine în documentul MathCAD :=
Afișarea pe ecran se face folosind semnul =

Se pot face calcule vectoriale și matriceale utilizând MathCAD, fie numerice, fie simbolice. Tabelul următor prezintă operatorii aritmetici și tipul operanzilor.

Operație	Simbol	Operanzi
Adunare	+	Variabile, constante și funcții numerice, vectori și matrice
Scădere	-	Variabile, constante și funcții numerice, vectori și matrice
Înmulțire	*	Variabile, constante și funcții numerice, vectori și matrice
Împărțire	/	Variabile, constante și funcții numerice
Produs vectorial	\times	Vectori tridimensionali
Ridicare la putere	\wedge	Variabile, constante și funcții numerice

Adunarea, scăderea, produsul vectorilor și matricelor se realizează foarte simplu scriind operanzii și operatorii corespunzători.

Exemple.

a) Fie $X, Y \in R^n$, atunci $U = X + Y, V = X - Y$.

b) $Z = X * Y$

c) fie $A, B \in M_{m,n}(K)$, K fiind R sau C . $E = A + B, D = A - B$.

d) fie $A \in M_{m,n}(K), B \in M_{n,p}(K)$, atunci $F = A * B$.

Calcul numeric

Vom prezenta câteva aplicații în analiza matematică și algebra liniară, care au o mare frecvență în activitățile curente în inginerie, efectuate fără dificultate în MathCAD.

Aplicații în analiza matematică

CAPITOLUL 5

1.1 MATLAB Prezentare Generala

Ce este MATLAB ?

MATLAB® (MATrix LABoratory) este un pachet de programe de înaltă performanță, interactiv, destinat calculului matematic, științific și ingineresc. MATLAB integrează calcul, programare și vizualizare, într-un mediu de lucru prietenos, soluționarea problemelor presupunând folosirea notațiilor matematice clasice. Utilizarea programului MATLAB include:

- Matematică și calcul numeric
- Programare și dezvoltare de algoritmi
- Modelare și simulare
- Analiză de date, exploatarea rezultatelor și vizualizare
- Grafică științifică și inginerescă
- Dezvoltare de aplicații software, incluzând construcție de interfețe grafice cu utilizatorul (GUI)
- Etc.

MATLAB este un produs al companiei americane The Mathworks, Inc. [<http://www.mathworks.com>] și lucrează sub Windows, Unix, LINUX și Machintosh. MATLAB include toate facilitățile unui limbaj complet de programare, admitând interfețe cu limbajul de programare C, C++ și FORTRAN. Versiunea cea mai recentă a pachetului de programe MATLAB este versiunea 6.

MATLAB a cunoscut o puternică evoluție în decursul ultimilor ani, reprezentând astăzi în mediile universitare o unealtă standard de calcul, fiind asociată diverselor cursuri introductive sau avansate în matematică, știință și inginerie. În industrie, MATLAB este recunoscut ca un mijloc de investigație numerică performant, utilizat în sprijinul unei activități de cercetare, dezvoltare și analiză de înalt nivel.

Versiunea completă a pachetului de programe MATLAB conține o întreagă familie de module specifice, denumite tool-box-uri, respectiv blockset-uri, care permit rezolvarea unor aplicații din diverse domenii cum ar fi: mașini, aparate și acționări electrice, control de sistem, aplicații DSP, procesarea materialelor și electro-tehnologii, procesare de semnal, mecanică, industria aeronautică și de automobile, statistică, finanțe și multe altele.

Aceste module sunt colecții de funcții MATLAB (M-files), ușor de asimilat, care extind puterea de calcul a pachetului de programe MATLAB în vederea rezolvării unor clase particulare de probleme. Colecția de module MATLAB conține: Simulink, DSP, Control System, SimPowerSystems, SimMechanics, Data Acquisition, Fuzzy Logic, Image Processing, Partial Differential Equations, Neural Network, Optimization, System Identification, Financial, Statistics, Communications, Database, Virtual Reality etc.

1.2. Structura sistemului MATLAB

Structura sistemului MATLAB constă în cinci părți principale:

Mediul de dezvoltare. Acesta este alcătuit dintr-un set de unelte care facilitează folosirea funcțiilor și fișierelor MATLAB. Multe dintre acestea reprezintă de fapt interfețele grafice și includ fereastra principală MATLAB sau **MATLAB Desktop**, fereastra de comenzi sau **Command Window**, fereastra ce memorează istoria comenzilor sau **Command History**, și browser-ele de **Help**, **Workspace**, **Files**, **Search Path** etc.

Biblioteca de funcții matematice MATLAB. Aceasta constă într-o vastă colecție de algoritmi de calcul, pornind de la funcții elementare precum sumă, sinus, cosinus și aritmetică complexă, până la funcții mai sofisticate precum inversare de matrici, calcul de valori proprii, funcții Bessel, și transformata Fourier.

Limbajul MATLAB. Limbajul MATLAB este un limbaj matrice/vector de înalt nivel ce include instrucțiuni de control al buclor, funcții, structuri de date, comenzi de intrare/ieșire și instrucțiuni de programare orientată pe obiecte. Limbajul MATLAB permite atât "programarea superficială" pentru crearea rapidă a unor mici programe de calcul specifice, cât și "programarea în detaliu" în vederea dezvoltării unor programe complexe de nivel superior.

Handle Graphics®. *Handle Graphics* reprezintă sistemul de grafică MATLAB și include atât comenzi de înalt nivel pentru vizualizarea 2D și 3D a datelor, procesare de imagini, animație și grafică, cât și comenzi de jos nivel ce permit personalizarea completă a reprezentărilor grafice și construirea integrală a interfețelor grafice (GUI) pentru aplicațiile MATLAB.

MATLAB Application Program Interface (API). Aceasta este o bibliotecă ce permite scrierea programelor C și Fortran ce interacționează cu MATLAB. Biblioteca conține facilități de apel de subrutine din MATLAB (dynamic linking), de apelare a MATLAB-ului ca pe o mașină de calcul, și de citire și scriere de fișiere MAT-files.

1.3. Lansarea și ieșirea din MATLAB

1.3.1. Comenzi de lansare MATLAB. Există mai multe modalități de lansare a pachetului de programe MATLAB, și anume:

A)

- **Dublu-clic** pe icoana **MATLAB** de pe **Desktop**



B)

- **Clic** pe **START**



- **Clic** pe **MATLAB**



C)

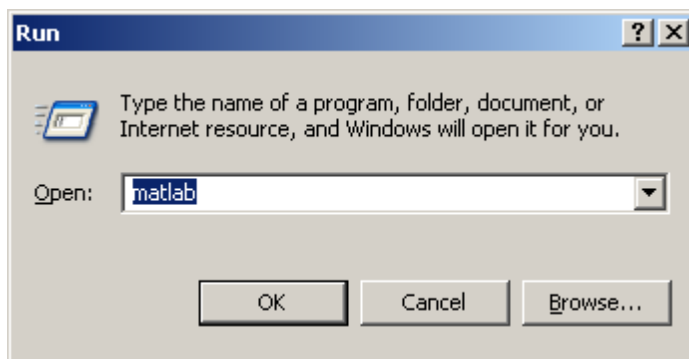
- **Clic** pe **START**



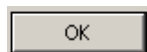
- **Clic** pe **Run**



- **Tastați "matlab"**

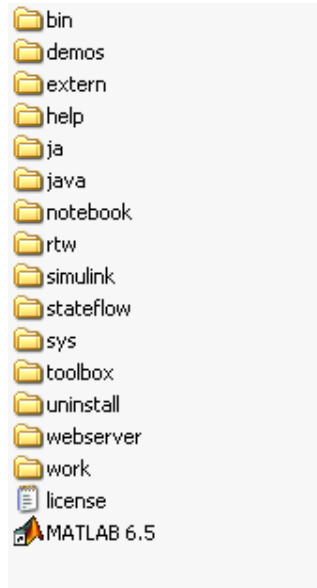


- **Clic** pe **OK**



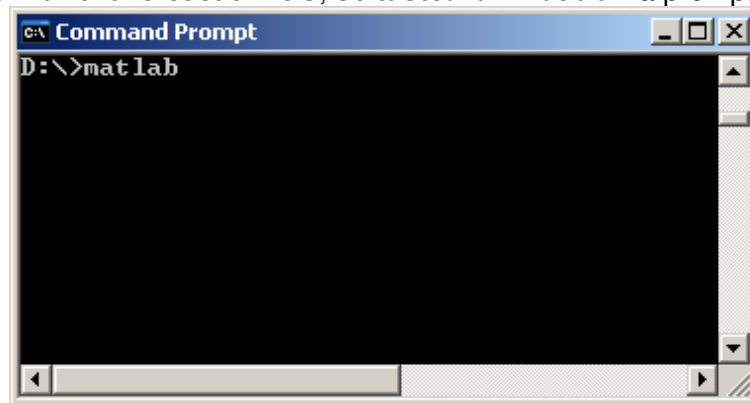
D)

- **Dublu-clic** pe **shortcut-ul "MATLAB 6.5"** din directorul de instalare **C:/MATLAB6p5/**



E)

- În cazul lansării dintr-o fereastră DOS, **se tastează "matlab"** la promptul **DOS**.



F)

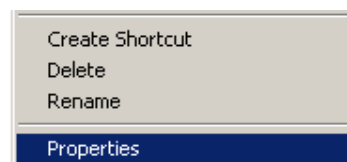
- Etc.

1.3.2. Opțiuni de lansare MATLAB. Există mai multe opțiuni de lansare MATLAB, acestea putând fi activate la lansarea programului, în felul următor:

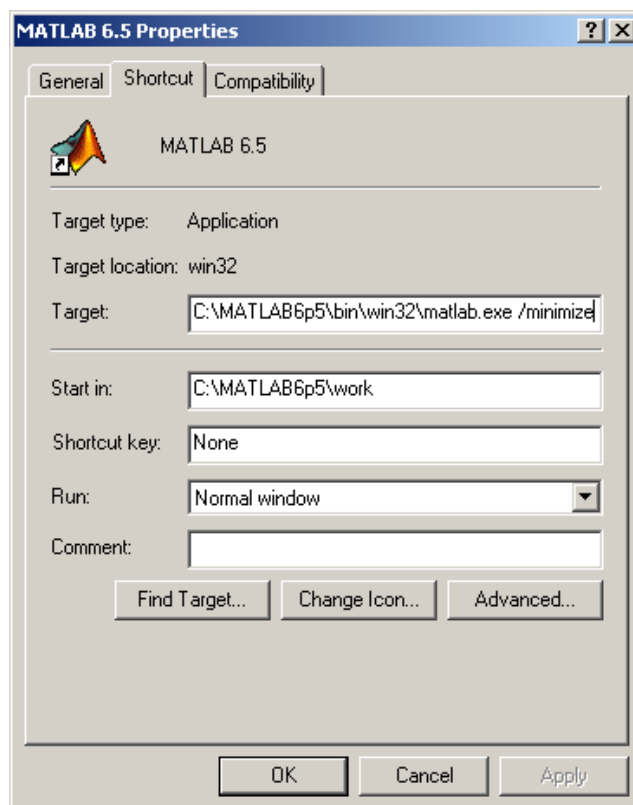
- **Clic-dreapta** pe icoana **MATLAB** de pe Desktop



- **Clic** pe **Properties** în meniul contextual



- **Tastați** în câmpul **Target**, după calea către **"matlab.exe"**, una sau mai multe opțiuni de lansare, cum ar fi opțiunea **/minimize**:



Acțiunile corespunzătoare diverselor opțiuni de lansare MATLAB sunt prezentate în tabelul următor:

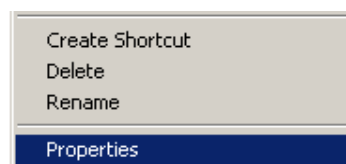
Opțiune	Acțiune
<i>/minimize</i>	Lansare MATLAB în format minimizat, fără afișare de splash.
<i>/nosplash</i>	Lansare MATLAB fără afișare splash.
<i>/r M_file</i>	Lansare MATLAB împreună cu lansarea automată a fișierului cu numele M_file.

1.3.3. Alegerea directorului MATLAB de lucru. Directorul MATLAB de lucru poate fi selectat înainte de lansarea programului, respectând următoarea secvență de comenzi:

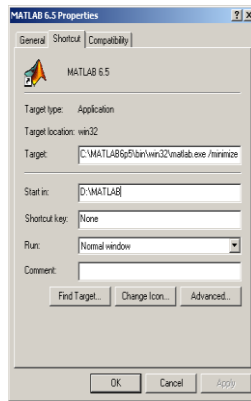
- **Clic-dreapta** pe **icoana MATLAB** de pe **Desktop**



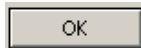
- **Clic** pe **Properties** în meniul contextual



- **Tastați** calea de acces către directorul de lucru, în câmpul **Start in**, ca de exemplu calea **D:\MATLAB:**



- **Enter** sau **clic** pe **OK**



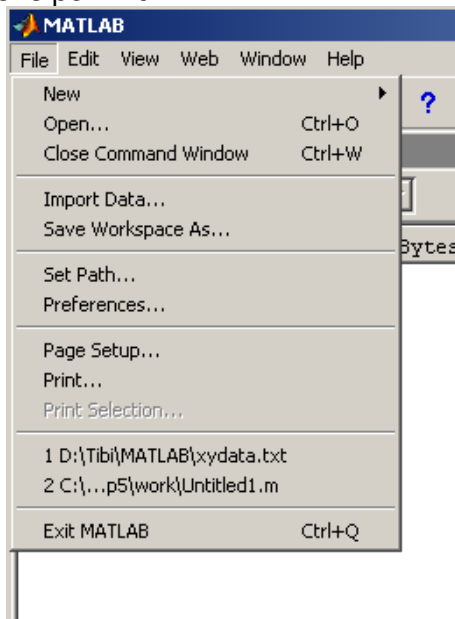
Directorul MATLAB de lucru poate fi selectat și după lansarea programului.

1.3.4. Comenzi de ieșire din MATLAB

Pentru părăsirea programului MATLAB se poate acționa în mai multe feluri, și anume:

A)

- **Clicați** pe meniul **File** + **clic** pe **Exit MATLAB**

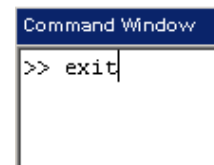


B)

- **Clicați** pe **close box**-ul ferestrei MATLAB Desktop 

C)

- **Tastați** "**exit**" sau "**quit**" în **Command Window**



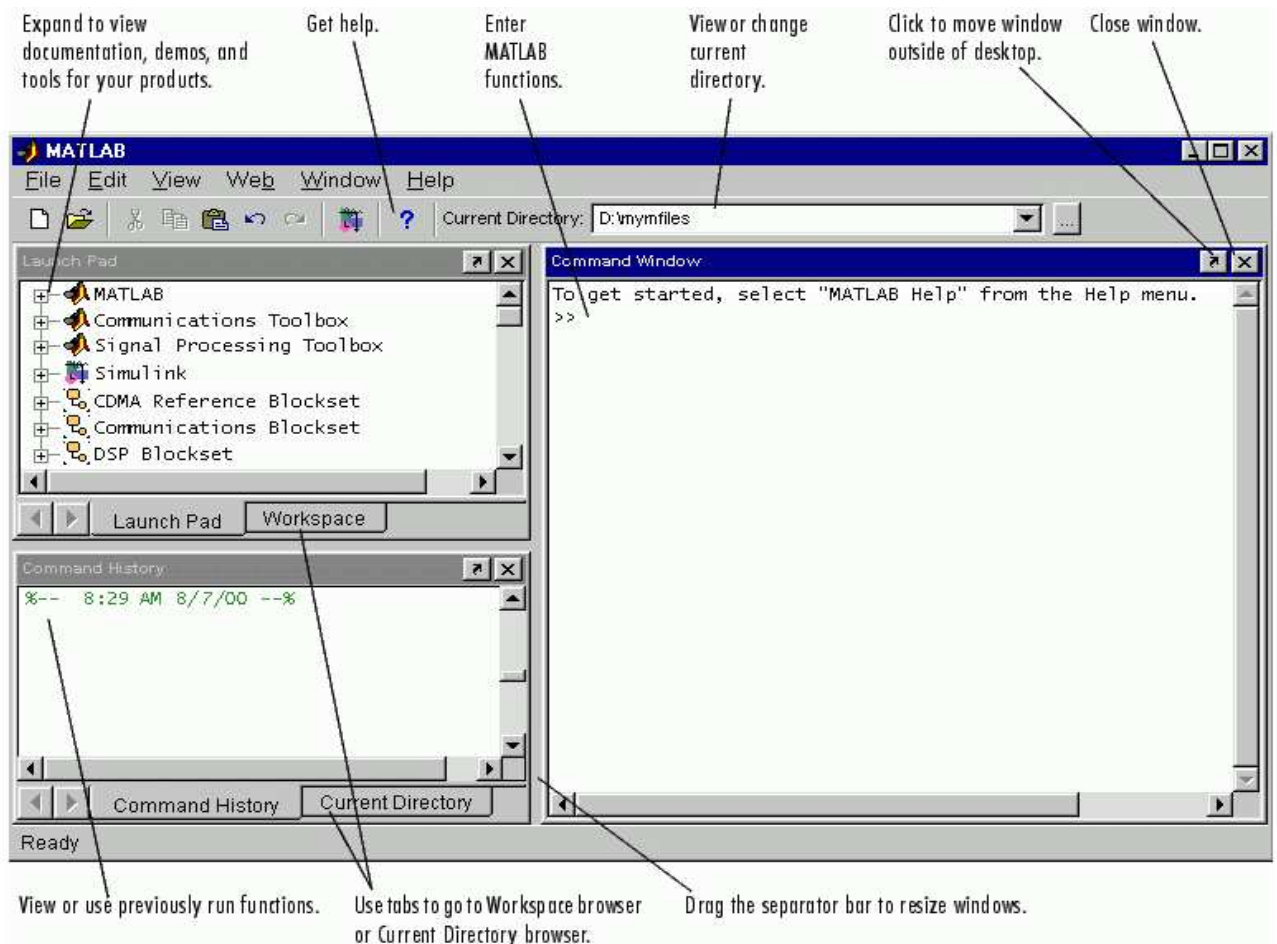
- **Apăsați** pe tasta **Enter** sau **Return**

D)

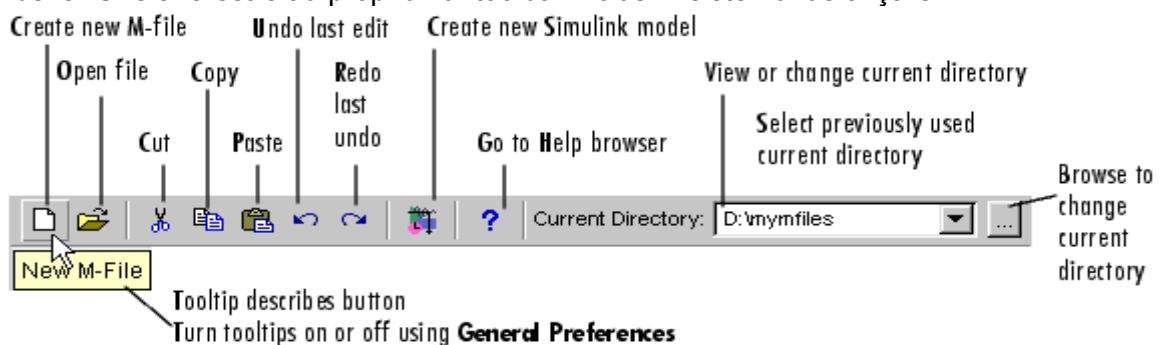
- Etc.

1.4. Ferestrele de lucru MATLAB

1.4.1. Fereastra principală MATLAB (MATLAB Desktop). După lansarea programului MATLAB, în prim plan apare fereastra principală MATLAB, ce conține unelte de control al directoarelor, fișierelor, variabilelor și al aplicațiilor asociate MATLAB-ului.



MATLAB Desktop Toolbar permite accesul ușor la uneltele clasice MATLAB. Ținând cursorul deasupra unui buton, o indicație ajutătoare descriind unealta, va apare într-o căsuță galbenă. Unele ferestre au propriul lor toolbar inclus în sistemul de afișare.



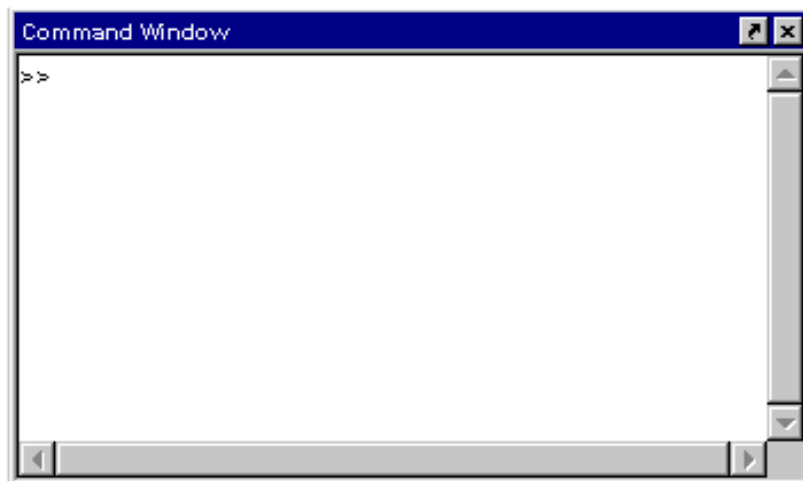
1.4.2. Ferestrele Desktop-ului. Următoarele ferestre sunt supervizate de *MATLAB Desktop*, deși nu toate apar implicit după lansare:

- Fereastra de comenzi (**Command Window**), permite lansarea comenzilor MATLAB;
- Fereastra **Command History**, permite memorarea, vizualizarea, editarea și relansarea funcțiilor lansate anterior în **Command Window**.
- Fereastra **Launch Pad**, permite lansarea uneltelor și accesarea documentației MATLAB
- Fereastra **Current Directory Browser**, permite controlul asupra fișierelor MATLAB și a celor asociate
- Fereastra **Help Browser**, permite vizualizarea și căutarea documentației MATLAB
- Fereastra **Workspace Browser** permite vizualizarea și schimbarea conținutului spațiului de lucru

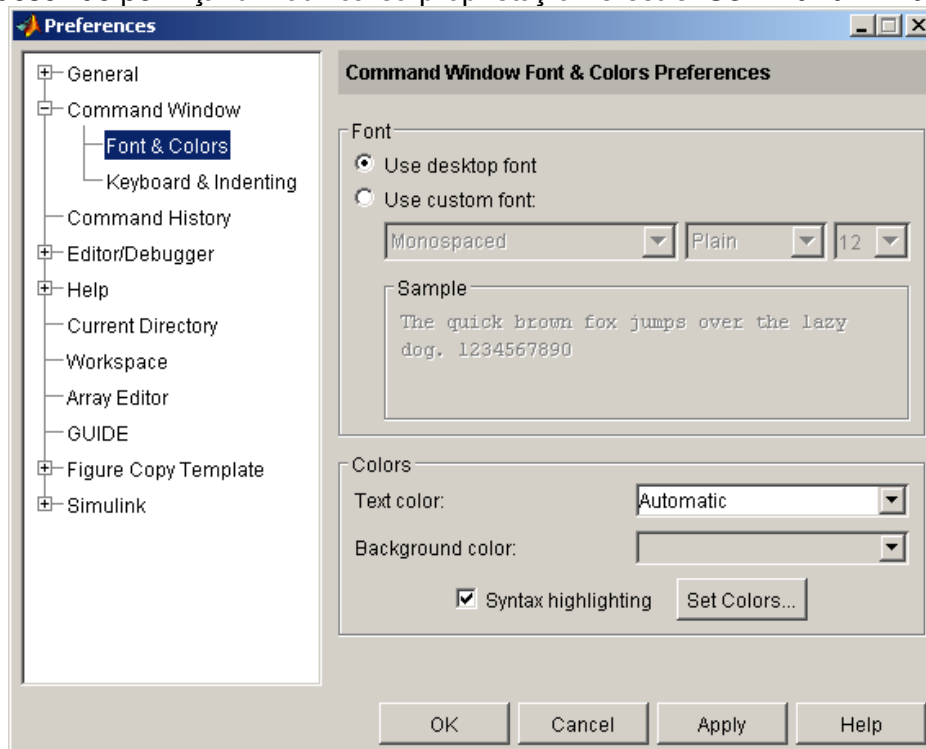
- Fereastra **Array Editor** permite editarea și vizualizarea conținutului variabilelor într-un format tabelar
- Fereastra **Editor/Debugger** permite crearea, editarea și verificarea fișierelor M-files ce conțin funcții MATLAB.

Alte unelte și ferestre MATLAB cum ar fi ferestrele grafice nu sunt supervizate de **MATLAB Desktop**.

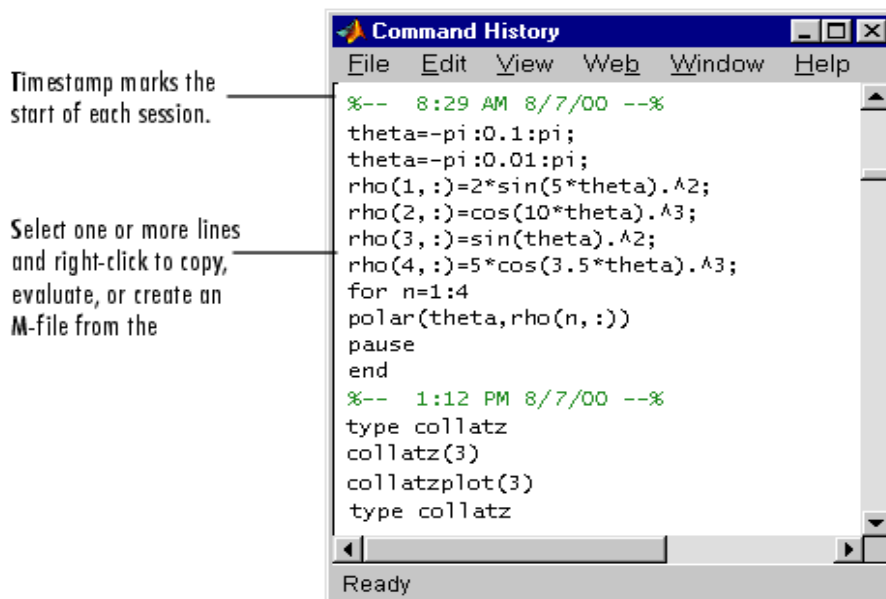
1.4.2.1. Command Window. **Command Window** este fereastra principală de comunicare a utilizatorului cu programul MATLAB. Această fereastră permite lansare de funcții și efectuarea de operații MATLAB. Pentru deschiderea ferestrei se selectează **Command Window** din meniul **View**.



Proprietățile specifice ferestrei **Command Window** permit modificarea formatului de afișare a valorilor numerice, setarea automată a ecoului în cadrul unei sesiuni MATLAB, specificarea fontului, a stilului, a dimensiunii literelor, setarea culorilor folosite pentru sublinierea instrucțiunilor specifice etc. Pentru afișarea cutiei de dialog cu proprietățile ferestrei **Command Window**, selectați **Preferences** din meniul **File** al **MATLAB Desktop**. Cutia de dialog se deschide permițând modificarea proprietăților ferestrei **Command Window**.



1.4.2.2. Fereastra *Command History*. Fereastra ***Command History*** apare când lansezi MATLAB. Fereastra ***Command History*** afișează o listă a funcțiilor lansate recent în ***Command Window***.



Afișarea funcțiilor în *Command History Window*. Lista de comenzi afișate în ***Command History*** include atât funcții din sesiunea curentă cât și funcții din sesiuni anterioare. Ora și data pentru fiecare sesiune apare în partea superioară a listei de funcții aferente acelei sesiuni de lucru. Folosiți ***scroll-bar***-ul sau săgețile up și down pentru a naviga în fereastra ***Command History***. Fișierul specific unelei ***Command History*** este ***history.m***. Tastați ***prefdir*** în ***Command Window*** pentru a vedea locația acestui fișier. Fișierul ***history.m*** este încărcat odată cu lansarea programului MATLAB și suprascris când ieșiți din MATLAB.

Ștergerea funcțiilor din *Command History Window*. Se recomandă ștergerea funcțiilor din ***Command History window*** când se strâng prea multe și navigarea devine dificilă. Toate funcțiile sunt înregistrate până când alegeți opțiunea de a le șterge. Pentru a șterge o funcție, selectați funcția sau folosiți ***Shift+clac*** sau ***Ctrl+clac*** pentru a selecta mai multe, sau folosiți ***Ctrl+A*** pentru a le selecta pe toate. Apoi ***clac-dreapta*** și selectați una dintre opțiunile de ștergere din meniul contextual:

Delete Selection – șterge funcția selectată

Delete to Selection – șterge toate funcțiile anterioare până la cea selectată

Delete Entire History – șterge toate funcțiile din ***Command History window***

O altă cale de ștergere a întregii liste de funcții constă în selectarea comenzii ***Clear Command History*** din meniul ***Edit***.

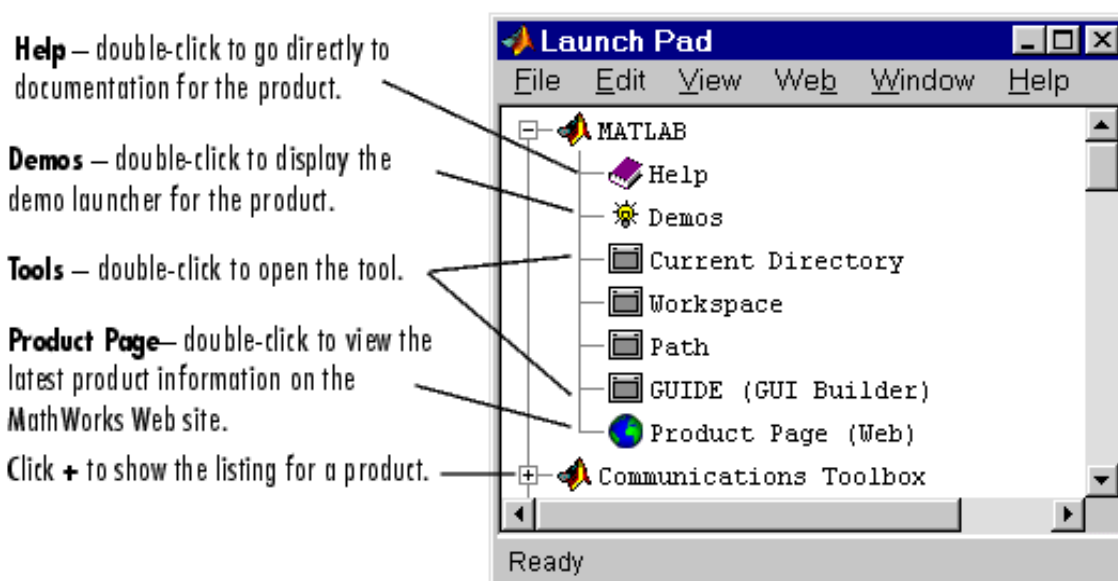
Lansarea funcțiilor din *Command History Window*. ***Dublu-clac*** pe orice funcție din ***Command History window*** pentru a executa acea funcție. De exemplu, ***dublu-clac*** pe ***edit myfile*** pentru a deschide fișierul ***myfile.m*** în ***Editor***. Puteți deasemenea lansa o funcție cu ***clac-dreapta*** pe funcție și selectând ***Evaluate Selection*** din meniul contextual, sau copiind funcția în ***Command Window***.

Copierea funcțiilor din *Command History Window*. Selectați o funcție, sau cu ***Shift+clac*** sau ***Ctrl+clac*** selectați mai multe funcții, sau folosiți ***Ctrl+A*** pentru a selecta toate funcțiile. Apoi puteți executa următoarele comenzi.

Acțiune	Mod de lucru
Lansarea funcțiilor în <i>Command Window</i>	<i>Copiați</i> selecția în clipboard prin <i>clac-dreapta</i> și selectarea opțiunii <i>Copy</i> din meniul contextual. Selecția se copiază cu <i>Paste</i> în <i>Command Window</i> (altă alternativă constă în executarea unui dragging al selecției în <i>Command Window</i>). În <i>Command Window</i> se editează la nevoie funcția și se apasă pe <i>Enter</i> sau <i>Return</i> pentru executarea funcției.

Copierea funcțiilor în altă fereastră	Copiați selecția în clipboard prin clic-dreapta și selecția comenzii Copy din meniul contextual. Copiați selecția într-un fișier M-file deschis în Editor sau altă aplicație.
Crearea unui fișier M-file din funcțiile selectate	Clic-dreapta pe selecție și selectează Create M-File din meniul contextual. Editor -ul deschide un nou fișier M-file ce conține funcțiile pe care le-ați selectat din Command History window .

1.4.2.3. Fereastră Launch Pad. Fereastră **Launch Pad** din MATLAB permite accesul ușor la unelte, demo-uri, și documentația produselor MathWorks. Pentru lansare selectați **Launch Pad** din meniul **View** din **MATLAB Desktop**. Îndată sunt listate toate produsele MathWorks instalate pe sistemul dvs.



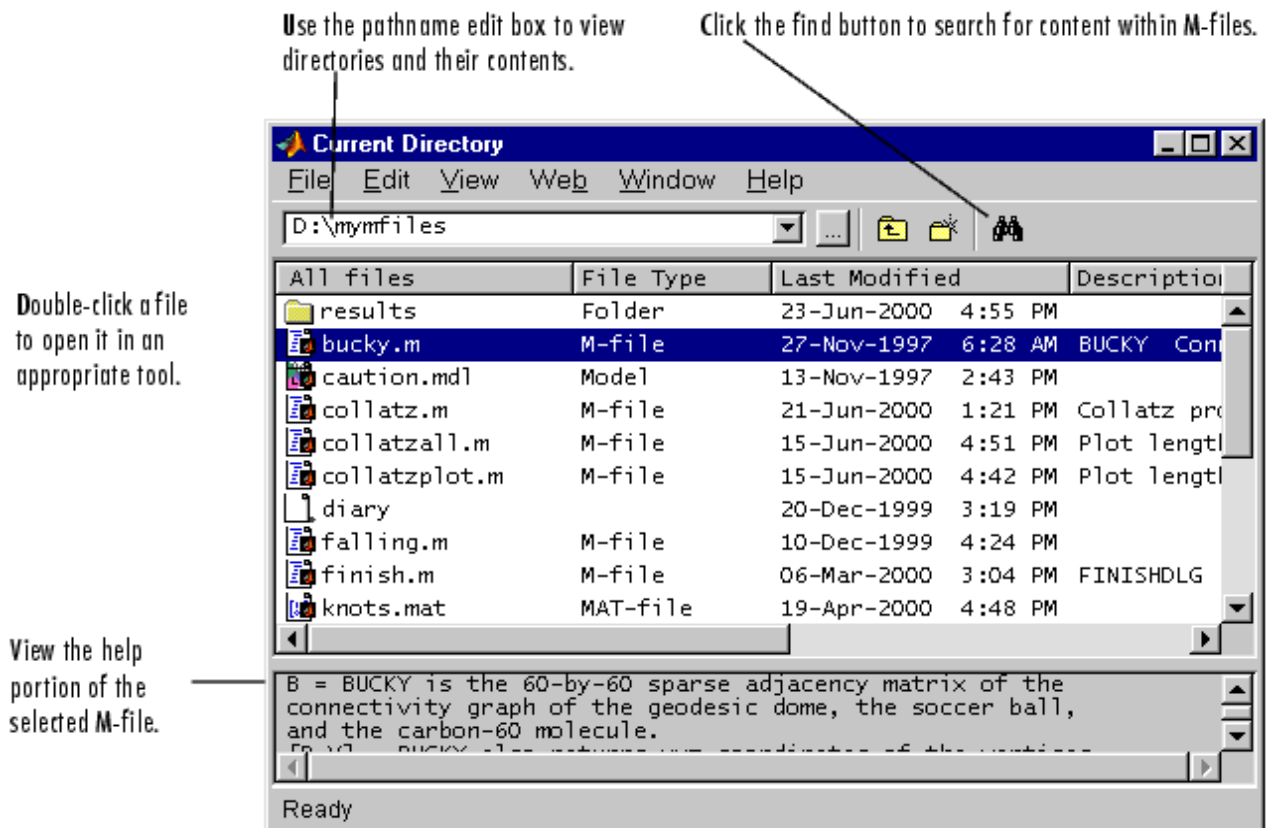
Pentru listarea în detaliu a unui produs, **clicați** pe semnul **+** plasat în stânga produsului. Pentru a anula listarea, **clicați** pe semnul **-** din stânga produsului. Pentru a deschide una sau mai multe liste, **dublu-clic** pe lista, sau **clic-dreapta** și selectați **Open** din meniul contextual. Acțiunea depinde de lista pe care ați selectat-o, după cum este prezentat în tabelul următor.

Icoana	Descrierea acțiunii în urma lansării
	Documentația produsului respectiv se deschide în fereastră Help browser
	Se lansează Demo launcher al produsului respectiv
	Unealta selectată se deschide
	Pagina web a produsului pe site-ul MathWorks Web cu informații recente se deschide în browser-ul dvs. Web

Actualizarea ferestrei Launch Pad. Fereastră **Launch Pad** include comenzi pentru toate produsele găsite în calea de căutare MATLAB când se lansează sesiunea MATLAB. Dacă schimbați calea de căutare după lansarea unei sesiuni, de pildă prin adăugarea unui director toolbox, fereastră **Launch Pad** nu este automat actualizată. **Clic-dreapta** în fereastră **Launch Pad** și selectați **Refresh** din meniul contextual pentru a actualiza fereastră **Launch Pad** așa încât să afișeze toate produsele în calea curentă de căutare.

1.4.2.4. Current Directory Browser. Pentru a căuta, vizualiza, deschide, și pentru a modifica directoare și fișiere asociate MATLAB-ului, folosiți **Current Directory browser**. Pentru a deschide **Current Directory browser**, selectați **Current Directory** din meniul **View**

din **MATLAB Desktop**, sau tastați **filebrowser** la promptul **Command Window**. Puteți deasemenea să o deschideți din **Launch Pad**, sub MATLAB.



Principalele operațiuni cu directoare și fișiere ce pot fi efectuate folosind **Current Directory browser** sunt:

- vizualizarea și modificarea directoarelor,
- crearea, redenumirea, copierea și ștergerea directoarelor și fișierelor,
- deschiderea fișierelor,
- lansarea și vizualizarea conținutului fișierelor,
- căutarea și înlocuirea conținutului fișierelor.

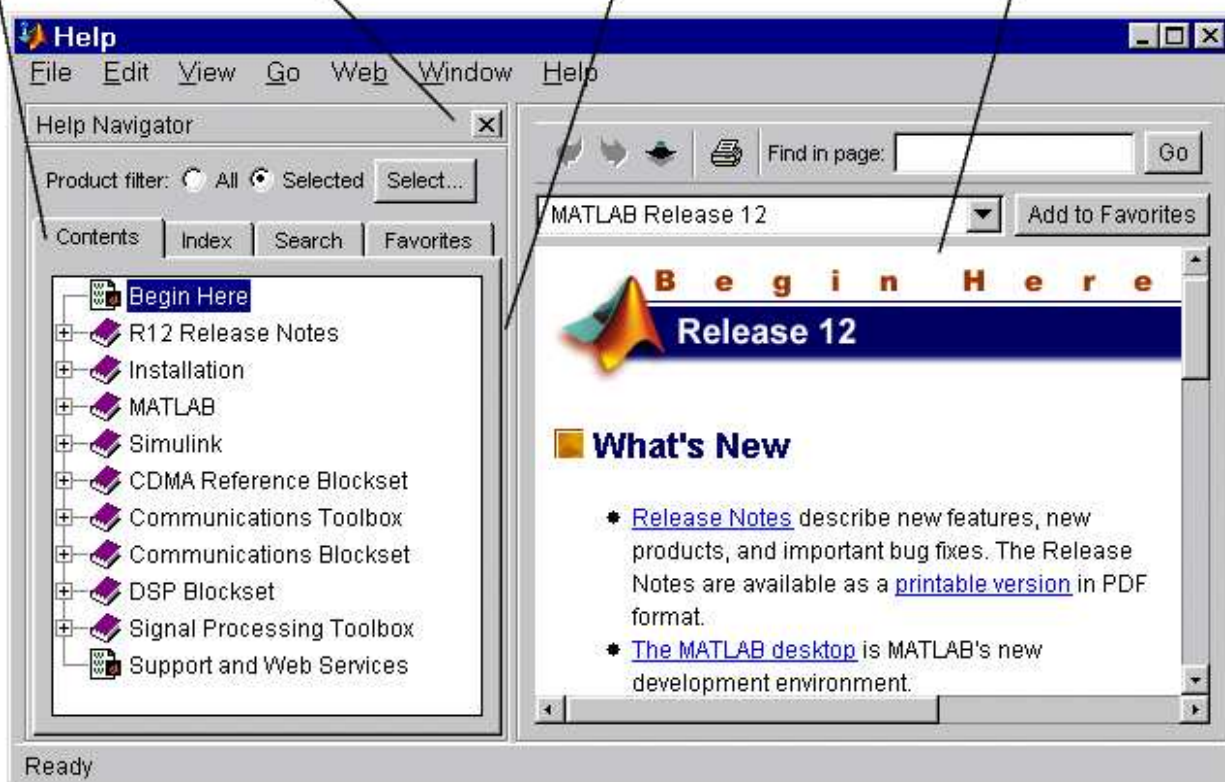
1.4.2.5. Fereastra Help Browser. Se folosește **Help browser** pentru căutarea și vizualizarea documentației MATLAB și produsele MathWorks. **Help browser** este un **Web browser** integrat în MATLAB Desktop care afișează documente HTML. Pentru lansarea **Help browser**:

- **Clicați** pe butonul **help ?** din **toolbar** sau
- **Tastați helpbrowser** în **Command Window** sau
- **Selectați Help** din meniul **View** sau
- Folosiți meniul **Help** în orice unealtă MATLAB.

Tabs in the **Help Navigator** pane provide different ways to find documentation. View documentation in the display pane.

Use the close box to hide the pane.

Drag the separator bar to adjust the width of the panes.



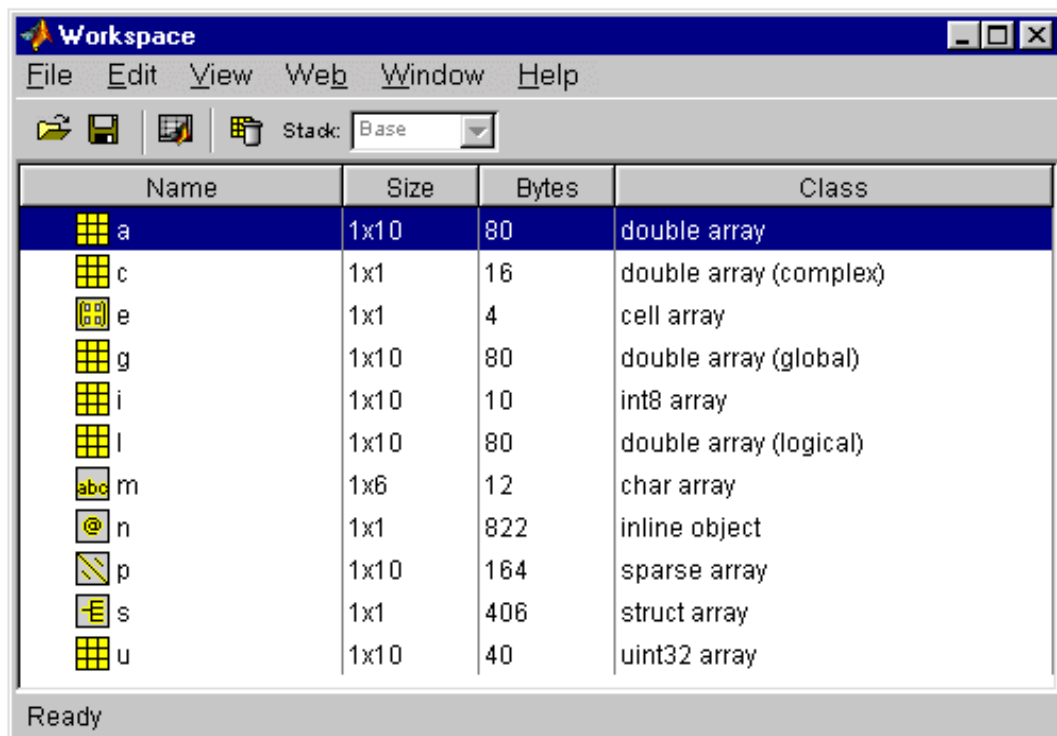
Help browser conține două panouri:

- Panelul **Help Navigator** din stânga, care se folosește pentru căutarea informației. Acesta include un filtru **Product Filter** și ferestrele **Contents**, **Index**, **Search**, și **Favorites**.
- Panelul **display** din dreapta, folosit pentru vizualizarea documentației.

Proprietățile specifice ferestrei **Help Browser** pot fi modificate selectând **Preferences** din meniul **File** al ferestrei **MATLAB Desktop**. Cutia de dialog se deschide și permite selectarea opțiunii **Help** în urma căreia se deschide fereastra **Help Preferences** pentru modificarea proprietăților ferestrei **Help Browser**. Se pot modifica caracteristicile fontului folosit în ferestrele **Help Browser**, se poate selecta locația documentației, etc.

1.4.2.6. Fereastra Workspace Browser. Folosiți **Workspace browser** pentru executare de operațiuni în spațiul de lucru MATLAB. Pentru a lansa **Workspace browser**, există mai multe modalități și anume:

- Din meniul **View** din **MATLAB Desktop**, selectați **Workspace**,
- În **Launch Pad**, dublu-clic pe **Workspace**,
- **Tastați workspace** la promptul **Command Window**.



Printre operațiunile ce pot fi executate din **Workspace browser** sunt:

- vizualizarea **Current Workspace**
- salvarea **Current Workspace**
- încărcarea **Saved Workspace**
- ștergerea **Workspace Variables**
- crearea graficelor din **Workspace Browser**
- vizualizarea și editarea **Workspace Variables** folosind **Array Editor**

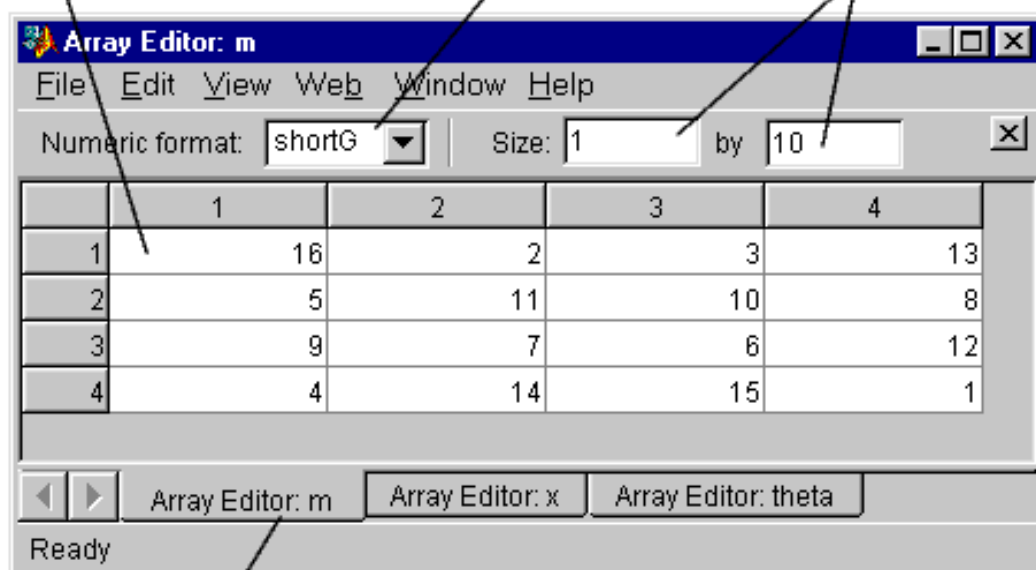
Proprietățile specifice ferestrei **Workspace Browser** pot fi modificate selectând **Preferences** din meniul **File** al ferestrei **MATLAB Desktop**. Cutia de dialog se deschide și permite selectarea opțiunii **Workspace** în urma căreia se deschide fereastra **Workspace Preferences** pentru modificarea proprietăților ferestrei **Workspace**. Se pot modifica caracteristicile fontului folosit în **Workspace browser** și se poate opționa pentru afișarea unei căsuțe de dialog de confirmare a ștergerii variabilelor.

1.4.2.7. Fereastra Array Editor. **Array Editor** se folosește pentru afișarea și editarea unei reprezentări vizuale 1D și 2D a vectorilor de tip numere, șiruri de caractere etc. Pentru a lansa **Array Editor** din **Workspace browser** se selectează în **Workspace browser** variabila pe care doriți să o afișați (**Shift+clic** sau **Ctrl+clic** pentru a selecta mai multe variabile). **Clicați** pe butonul **open** de pe **toolbar**, sau **clic-dreapta** și selectați **Open Selection** din meniul contextual. Alternativ, în cazul unei singure variabile, puteți face **dublu-clic** pe aceasta pentru a o deschide. **Array Editor** se lansează, afișând valorile variabilelor selectate. Nu puteți deschide un vector cu 10,000 elemente sau mai multe.

Pentru a afișa conținutul unei variabile în workspace, tasteți numele variabilei la promptul **Command Window**.

Pentru a afișa o variabilă în **Array Editor**, folosiți funcția **openvar('nume_variabila')** având ca argument numele variabilei pe care doriți să o afișați.

Change values of array elements. Change the display format. Change the dimensions of the array.



Use the tabs to view the different variables you have open in the Array Editor.


Modificarea valorilor elementelor în Array Editor. În **Array Editor**, **clicăți** pe celula a cărei valoare doriți să o modificați. Tastați o nouă valoare. Apăsăți **Enter** sau **Return**, sau **clicăți** în alta celula și modificarea va avea loc. Pentru a modifica dimensiunile unui vector, **tastați** noile valori corespunzând numărului de rânduri și coloane în **Size fields**. Dacă creșteți dimensiunea, noile rânduri și coloane sunt adăugate la sfârșit și sunt umplute cu zerouri. Dacă descreșteți dimensiunea, veți pierde datele; MATLAB șterge rândurile și coloanele de la sfârșit. Anumite tipuri de date nu permit modificarea dimensiunii; pentru aceste variabile, câmpul **Size** nu este editabil. Dacă deschideți un fișier MAT-file existent și efectuați modificări asupra acestuia folosind **Array Editor**, va trebui să salvați acel MAT-file dacă doriți ca schimbările să fie salvate.

Controlul afișării valorilor în Array Editor. În **Array Editor**, selectați o variabilă în lista **Numeric format** pentru a controla modul de afișare a valorilor numerice.


Proprietățile specifice ferestrei **Array Editor** pot fi modificate selectând **Preferences** din meniul **File** al ferestrei **MATLAB Desktop**. Cutia de dialog se deschide și permite selectarea opțiunii **Array Editor** în urma căreia se deschide fereastra **Array Editor Preferences** de modificare a proprietăților. Se pot modifica caracteristicile fontului folosit în fereastra **Array Editor**, se poate selecta formatul numeric implicit etc.

1.4.2.7. Fereastra Editor/Debugger. Fereastra **Editor/Debugger** a MATLAB-ului pune la dispoziție o interfață grafică cu utilizatorul ce permite editarea elementară de text și verificarea (debugging) oricărui tip de fișier M-file. **Editor/Debugger** este o unealtă care se poate folosi pentru editare, debugging sau ambele. Există diferite modalități de lansare a ferestrei **Editor/Debugger**:


Lansarea ferestrei Editor/Debugger în vederea creării unui nou fișier M-File. Pentru a

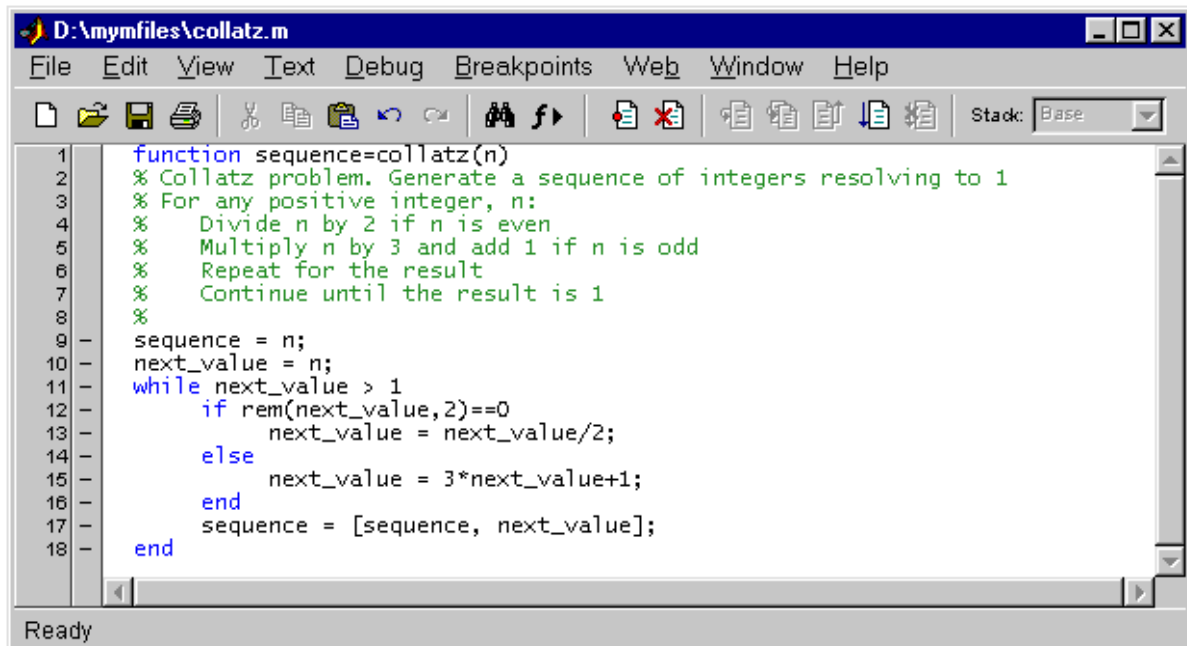
crea un nou fișier M-file în **Editor/Debugger**, fie **clicăți** pe butonul **new file**  din **toolbar-ul** MATLAB, sau selectați **File + New + M-file** din meniul **MATLAB Desktop**. Puteți deasemenea crea un fișier M-file folosind meniul contextual în **Current Directory browser**. **Editor/Debugger** se deschide dacă nu cumva deja este deschisă, cu un fișier gol în care puteți scrie instrucțiunile fișierului M-file.

Dacă **Editor/Debugger** este deschis, puteți crea mai multe fișiere noi folosind butonul **new**

file  din **toolbar**, sau selectați **File + New + M-file**. Funcția echivalentă de creare a fișierelor M-file noi în **Editor/Debugger** este funcția **edit** tastată în **Command Window**. Dacă tastați **edit filename.m** și fișierul cu acest nume nu există încă, apare un mesaj care

va întreabă dacă doriți să creați un nou fișier cu numele **filename.m**. Dacă alegeți **da**, **Editor/Debugger** creează un fișier gol cu numele **filename.m**, altfel fișierul nu va fi creat.

Lansarea ferestrei Editor/Debugger pentru deschiderea fișierelor M-Files existente. Pentru a deschide un fișier M-file existent în **Editor/Debugger**, **clicăți** pe butonul **open**  din **toolbar**-ul MATLAB sau **Editor/Debugger**, sau selectați **File + Open** și apoi din **Open dialog box**, **selectați** fișierul M-file și **clicăți** pe **Open**. Se pot de asemenea deschide fișiere din **Current Directory browser**.

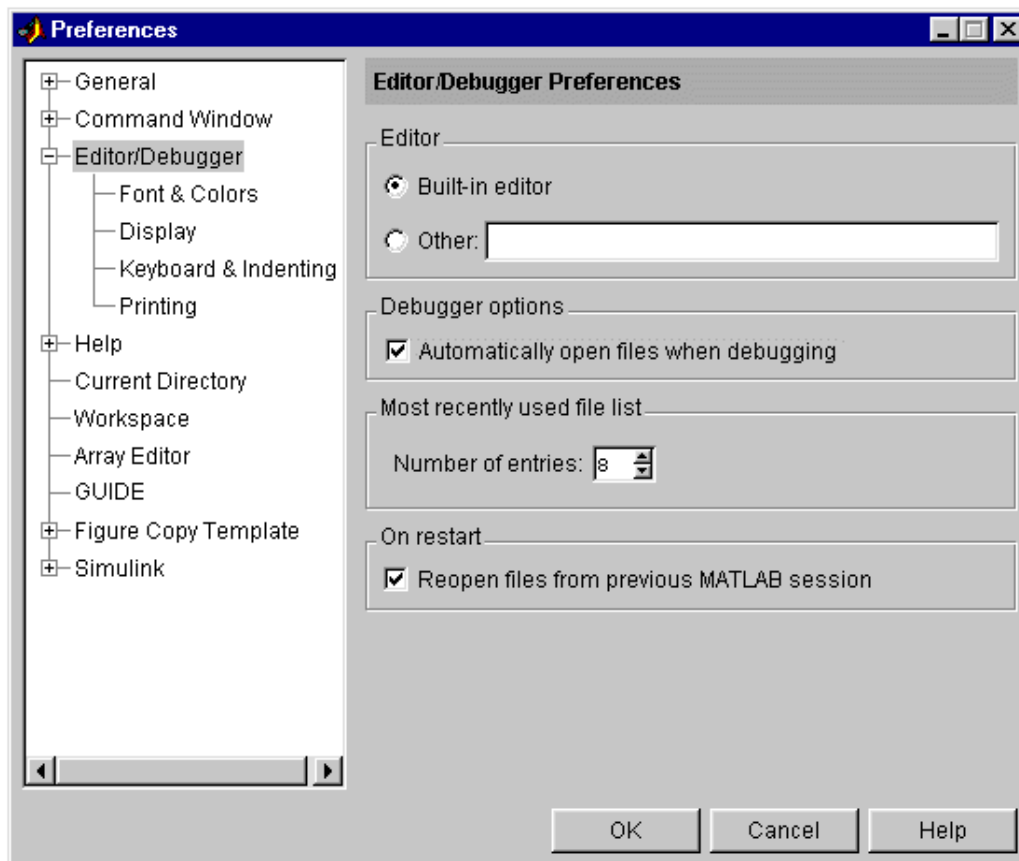


Puteți selecta un fișier în vederea deschiderii din lista celor mai recent folosite fișiere, în partea inferioară a meniului **File** în **MATLAB Desktop** sau în **Editor/Debugger**. Puteți schimba numărul de fișiere care apar în listă.

O funcție echivalentă folosită pentru editarea sau deschiderea unui fișier M-file existent în **Editor/Debugger** este funcția **edit filename.m**

Lansarea ferestrei Editor/Debugger fără a lansa MATLAB. Pe platformele Windows, puteți folosi MATLAB Editor fără să lansați MATLAB prin **dublu-clic** pe fișierul M-file în **Windows Explorer**. Fișierul M-file se deschide în **MATLAB Editor**. Pentru a deschide fereastra **Editor** fără fișier, lansați fișierul **MATLAB6p5/bin/win32/meditor.exe**. Se pot deschide mai multe sesiuni simultane de **meditor**. Când lansați **MATLAB Editor** fără lansare MATLAB, **Editor** devine o aplicație de sine stătătoare.

Proprietățile ferestrei **Editor/Debugger** se pot modifica selectând **Preferences** din meniul **File** al ferestrei **MATLAB Desktop**. Cutia de dialog se deschide și permite selectarea opțiunii **Editor/Debugger** în urma căreia se deschide fereastra **Editor/Debugger Preferences** de modificare a proprietăților.



Se pot modifica caracteristicile fontului și culorilor folosite în fereastra **Editor/Debugger**, se poate selecta modul de afișare, salvare etc.

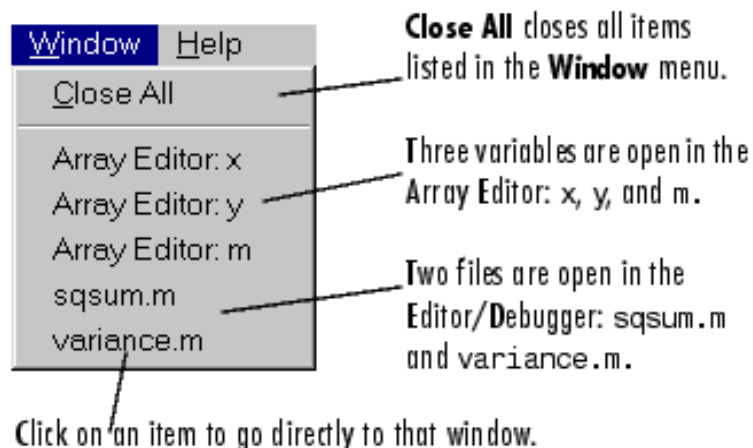
1.5. Configurarea Desktop-ului

1.5.1. Deschiderea uneltelor Desktop. Pentru a deschide o unealtă a desktop-ului, **selecțai** unealta din meniul **View** sau **dublu-clic** pe unealta respectivă în lista de unelte afișate în **Launch Pad**. Unealta se deschide în locația pe care o ocupa ultima data când a fost deschisă. Există câteva unelte controlate de **MATLAB Desktop** care nu se pot deschide din meniul **View** sau **Launch Pad**, și anume:

- **Array Editor** – care se deschide prin **dublu-clic** pe variabila în **Workspace Browser**,
- **Editor/Debugger** – care se deschide prin crearea unui nou fișier M-file sau prin deschiderea unui fișier existent M-file.

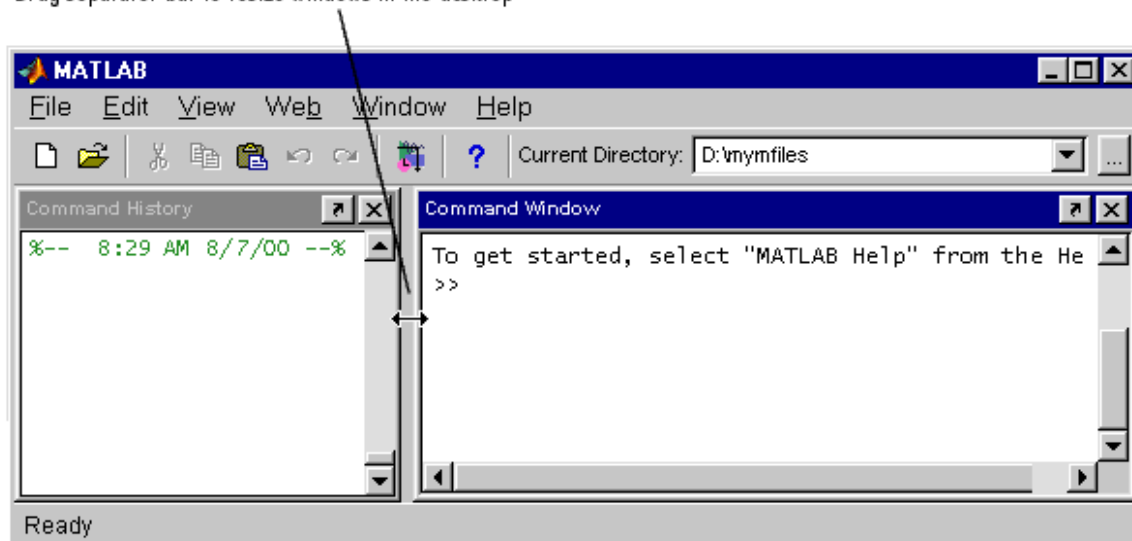
Unelte se pot deschide și prin folosirea funcțiilor. De pildă, funcția **helpbrowser** deschide **Help browser**.

1.5.2. Căutarea documentelor folosind Desktop Tools. Meniul **Window** afișează toate documentele **Editor/Debugger**, toate variabilele din **Array Editor**, și toate ferestrele figură. Selectați o entitate în meniul **Window** pentru a ajunge direct la acea fereastră sau document. Selectați **Close All** pentru a închide toate entitățile listate în meniul **Window**. De pildă, meniul **Window** de mai jos ilustrează trei documente deschise în **Array Editor** și două documente deschise în **Editor/Debugger**. Selectând **variance.m**, de pildă, determină fereastra **Editor/Debugger** cu fișierul **variance.m** deschis, să devină fereastră activă.



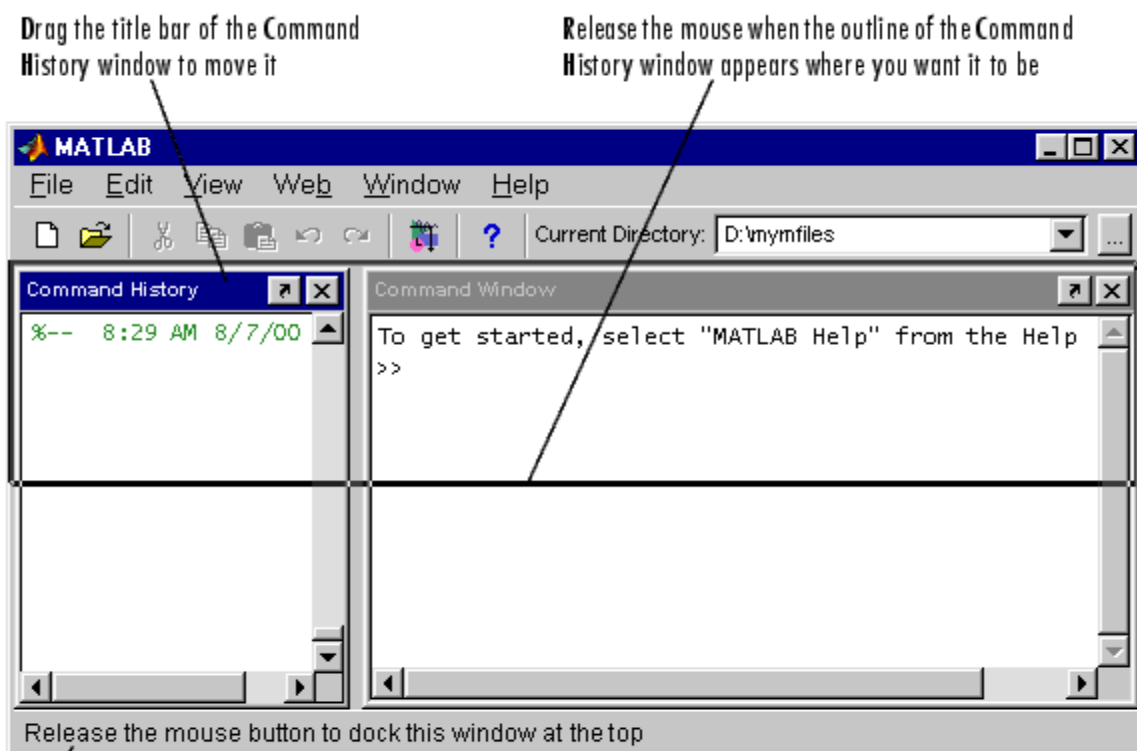
1.5.3. Redimensionarea ferestrelor. Pentru redimensionarea ferestrelor în MATLAB Desktop, se folosește bara separator, care este bară dintre două ferestre: **Mutați cursorul** deasupra barei separator. Cursorul capătă o altă formă. **Draggați bara separator** pentru a modifica dimensiunile ferestrelor.

Drag separator bar to resize windows in the desktop

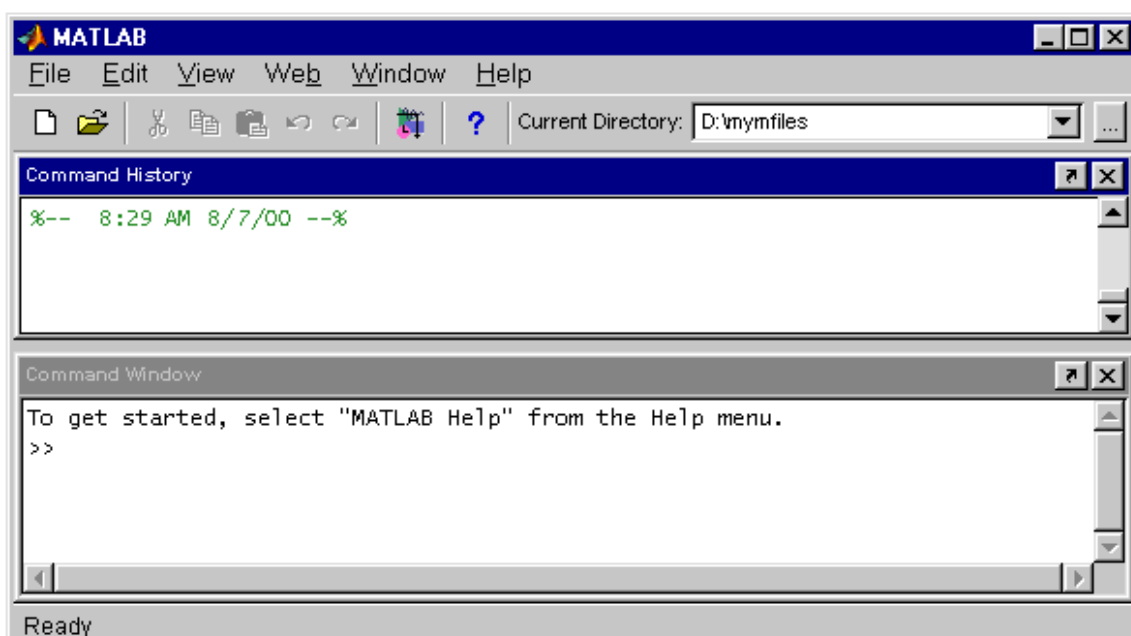


1.5.4. Mutarea ferestrelor. Exista trei modalități de bază de mutare a ferestrelor **MATLAB Desktop**: mutare în interiorul **MATLAB Desktop**, mutare în afara **MATLAB Desktop**, mutare în interiorul **MATLAB Desktop** prin gruparea ferestrelor (**Tabbing**).


Mutare în interiorul MATLAB Desktop. Pentru a muta o fereastră într-o altă locație în **MATLAB Desktop** draggați **title bar**-ul ferestrei spre noua locație. Pe măsura ce mutați fereastra, un contur al acesteia va deveni vizibil. Când conturul se apropie de o poziție posibilă, conturul se fixează în acea locație. **Status bar** afișează instrucțiuni despre mutarea ferestrei în timpul schimbării conturului. În exemplul de mai jos, **Command History window** este inițial la stânga ferestrei **Command Window** și este mutată deasupra **Command Window**. Când **title bar**-ul ferestrei **Command History** atinge zona inferioară a **toolbar**-ului, conturul devine vizibil.



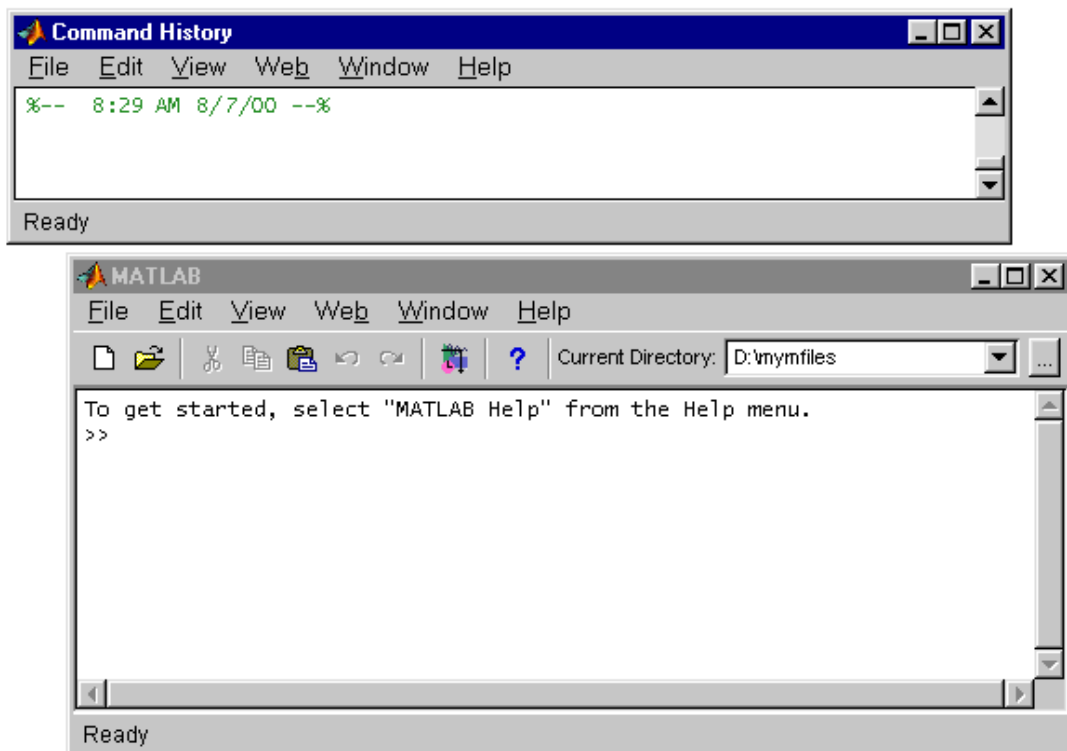
Eliberați mouse-ul pentru a vizualiza fereastra în noua locație. Celelalte ferestre în desktop sunt redimensionate pentru a se adapta la noua configurație. Următorul exemplu arată cum este dispus desktop-ul după mutarea **Command History window** deasupra **Command Window**.



Mutare în afara MATLAB Desktop. Pentru a muta ferestre în afara **MATLAB Desktop** există mai multe variante:

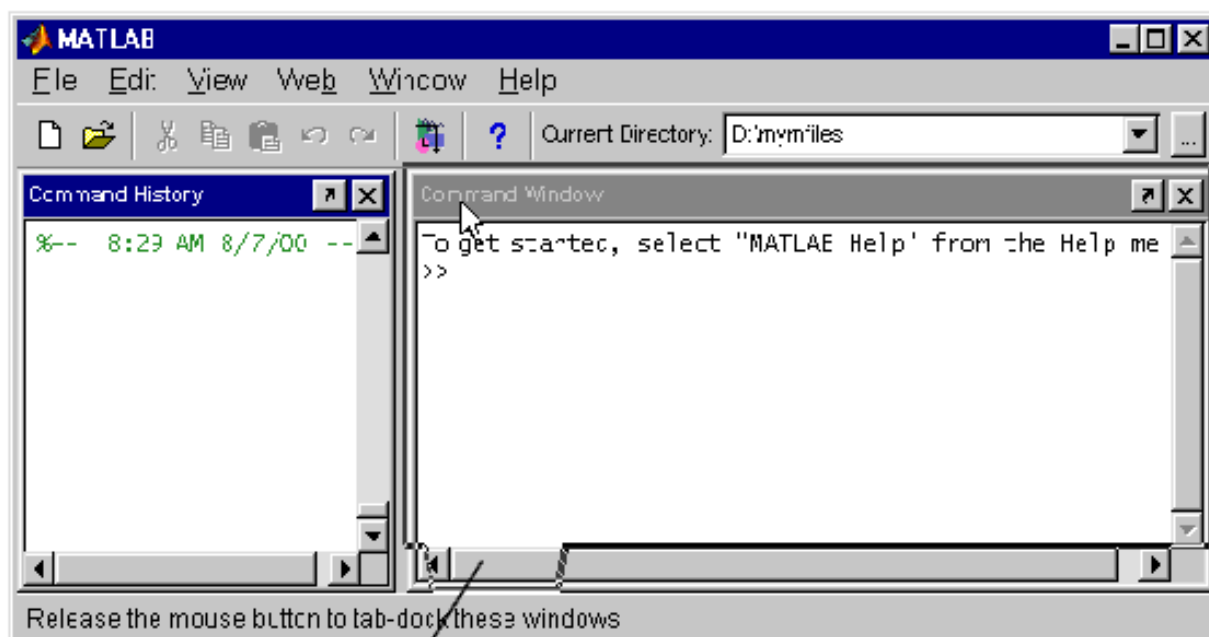
- **Clicăți** pe săgeata  din title bar-ul ferestrei pe care doriți să o mutați în afara **MATLAB Desktop**,
- **Selectați Undock** din meniul **View** al acelei ferestre; fereastra trebuie să fie activă,

- **Mutați title bar**-ul ferestrei în afara **MATLAB Desktop**; pe măsură ce mutați **title bar**, un contur al ferestrei va apare. Când cursorul este în afara **MATLAB Desktop**, **eliberați** mouse-ul. Fereastra apare în afara **MATLAB Desktop**. În exemplul următor, **Command History window** a fost mutată în afara **MATLAB Desktop**.



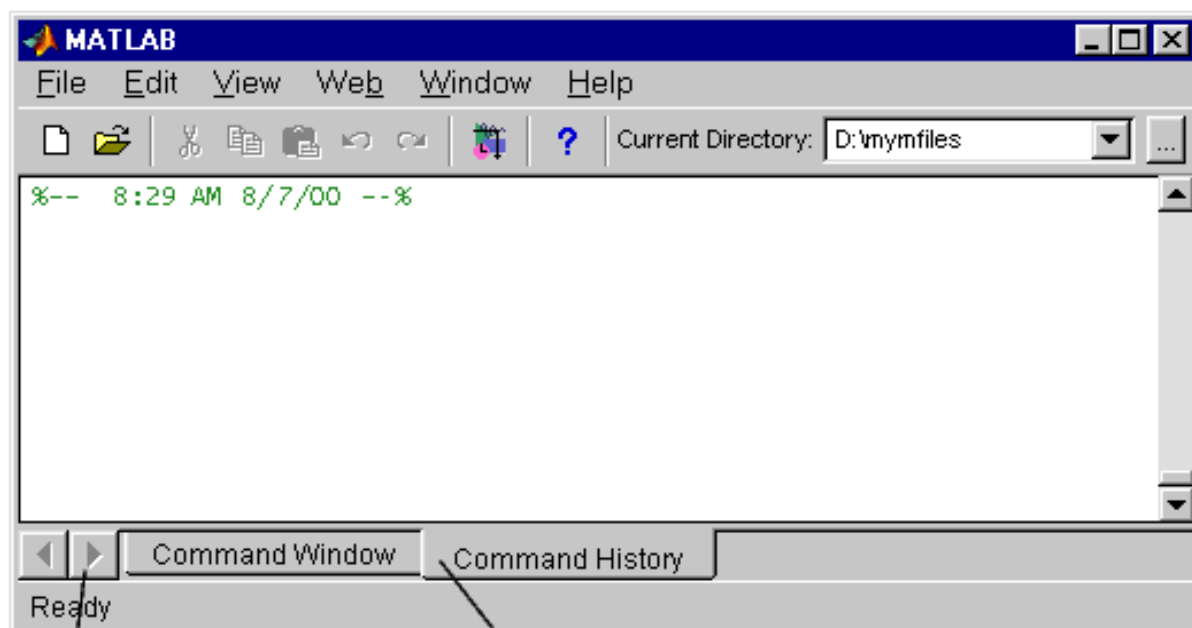
Mutarea ferestrelor din exteriorul MATLAB Desktop în interior. Pentru a muta o fereastră din exteriorul **MATLAB Desktop** în interior, selectați opțiunea **Dock** din meniul **View** al ferestrei respective.

Gruparea (Tabbing) ferestrelor împreună. Puteți grupa ferestrele așa încât acestea să ocupe același spațiu în **MATLAB Desktop**, păstrând însă accesul la toate ferestrele. Pentru a grupa împreună ferestre **mutați (dragging) title bar**-ul unei ferestre din desktop deasupra **title bar**-ului unei alte ferestre din desktop. Conturul ferestrei pe care o mutați se suprapune peste fereastra a doua, și partea inferioară a conturului include un tab. În exemplul următor, **Command History window** este inițial la stânga **Command Window** și **title bar** este **dragată** deasupra **title bar**-ului ferestrei **Command Window**.



Outline of window, including tab

Apoi **eliberați** mouse-ul. Ambele ferestre ocupă același spațiu și în zona inferioară a ferestrelor apar tab-uri ce permit identificarea ferestrelor. În exemplul următor, fereastra **Command History** și **Command Window** sunt grupate împreună, cu fereastra **Command History** activă.




Use arrows to show any tabs that aren't in view. In this example, the arrows are grayed, indicating all tabs are in view.

There are labeled tabs for each tool tabbed together in the window. Click a tab to view that tool.


Vizualizarea ferestrelor grupate. Pentru a vizualiza o fereastră grupată, **clicăți** pe **tab-ul** ferestrei. Fereastra trece în prim plan și devine fereastră curentă activă. Dacă există mai

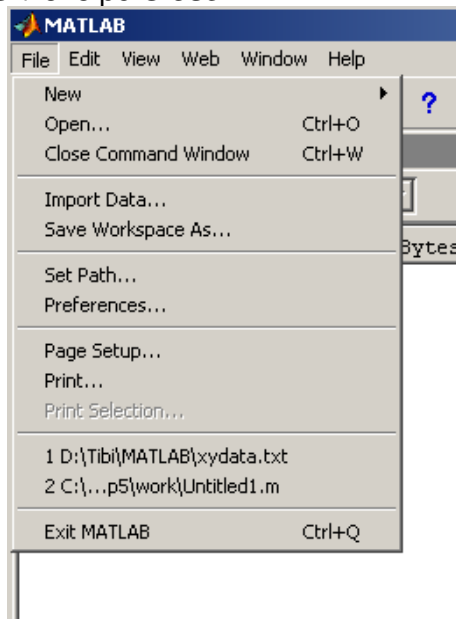
multe tab-uri într-o fereastră decât sunt vizibile, **folosiți săgețile spre dreapta** pentru a vedea și alte tab-uri.

Mutarea ferestrelor grupate. Pentru a muta o fereastră grupată spre o altă locație, **mutați title bar-ul** sau **tab-ul** spre noua locație. O puteți muta în interiorul sau exteriorul **MATLAB Desktop**.

Închiderea ferestrelor grupate. Când **clicați** pe **close box-ul**  ferestrei care este parte a unui grup de ferestre, se închide doar fereastra în cauză. Nu puteți închide toate ferestrele grupate deodată, ci una câte una.

1.5.5. Comenzi de închidere a unei ferestre MATLAB. Pentru închiderea unei ferestre MATLAB se poate acționa în mai multe feluri, și anume:

- **Clicați** pe **close box-ul** ferestrei 
- **Deselectați** în meniul **View** fereastra care trebuie închisă
- **Clicați** pe meniul **File** + **clic** pe **Close**



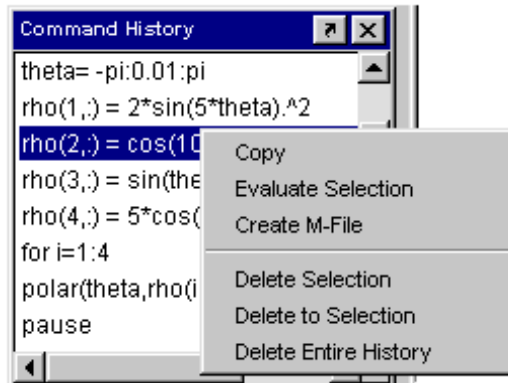
1.5.6. Configurația predefinită a MATLAB Desktop. Există șase configurații predefinite de **MATLAB Desktop**, pe care le puteți selecta din meniul **View** + **Desktop Layout**:

- **Default** – conține ferestrele **Command Window**, **Command History** și **Current Directory browser** grupate împreună, și **Launch Pad** și **Workspace browser** grupate deasemenea împreună.
- **Command Window Only** - conține doar fereastra **Command Window**. Această opțiune face ca **MATLAB Desktop** sa apară similar cu versiunile de MATLAB anterioare.
- **Simple** - conține fereastra **Command History** și **Command Window**, una lângă alta.
- **Short History** - conține fereastra **Current Directory browser** și **Workspace browser** grupate împreună deasupra ferestrei **Command Window** și deasupra ferestrei **Command History** de talie redusă.
- **Tall History** - conține ferestrele **Command History** în stânga și **Current Directory browser** și **Workspace browser** grupate împreună deasupra ferestrei **Command Window**.
- **Five Panel** - conține fereastra **Launch Pad** deasupra ferestrei **Command History** în stânga, **Workspace browser** deasupra **Current Directory browser** în centru, și **Command Window** în dreapta. După selectarea unei configurații predefinite, puteți muta, redimensiona, și deschide/ închide ferestrele.

1.5.7. Accesarea The MathWorks pe Web. Puteți accesa din **MATLAB Desktop** paginile Web clasice ale MathWorks, selectând una dintre următoarele opțiuni: The MathWorks Web

Site, MATLAB Central, MATLAB File Exchange, MATLAB Newsgroup Exchange, Check for Updates, Products, Membership, Technical Support Knowledge Base.

1.5.8. Meniul contextual. Multe dintre facilitățile **MATLAB Desktop** sunt disponibile din meniurile contextuale, cunoscute ca **pop-up** meniuri. Pentru a accesa un meniu contextual, **clic-dreapta** pe o entitate și meniul contextual împreună cu operațiunile specifice devine vizibil. Mai jos se prezintă meniul contextual al ferestrei **Command History window**.



Access context (pop-up) menus by right-clicking on a selection.

1.5.9. Taste cu rol de prescurtare și accelerare. Puteți accesa multe articole de meniu folosind prescurtări sau taste acceleratoare cum ar fi **Ctrl+X** care este identic cu operațiunea **Cut** pe platforme Windows, sau **Alt+F** pentru accesarea meniului **File**. Multe dintre prescurtări sunt listate mai jos:

Enter – echivalent al unui **dublu-clic**, execută acțiunea curentă asupra unei selecții. De pildă, **apăsând Enter** când este selectată o linie în **Command History window** acea comandă este executată în **Command Window**.

Escape – anulează acțiunea curentă.

Ctrl+Tab sau **Ctrl+F6** – **deplasare** spre **tab-ul următor** în desktop, sau spre **fișierul următor** deschis în **Editor/Debugger**.

Ctrl+Shift+Tab – **deplasare** spre **tab-ul anterior** în desktop, sau spre **fișierul anterior** deschis în **Editor/Debugger**.

Ctrl+Page Up – **deplasare** la **tab-ul următor** într-un grup de unelte sau fișiere grupate împreună.

Ctrl+Page Down – **deplasare** spre **tab-ul anterior** într-o fereastră.

Alt+F4 – **închide** desktop-ul sau fereastra în afara desktop.

Alt+Space – **afisează** meniul sistem.

1.5.9. Selectarea simultană a mai multor articole. În multe ferestre ale desktop-ului, puteți selecta simultan mai multe articole și apoi puteți executa o acțiune asupra tuturor articolelor. Puteți selecta simultan mai multe articole **clicând pe primul articol ținând apăsată tasta Ctrl** și apoi **clicând pe articolul următor** pe doriți să-l selectați. Repetați acest ultim pas până ați selectat toate articolele dorite. **Dacă țineți apăsată tasta Shift** în locul tastei **Ctrl** în timp ce **clicați** pe un articol, **veți selecta toate articolele** cuprinse între cele două articole selectate. Puteți executa asupra articolelor o comandă comună cum ar fi de pildă **Delete**.

1.5.10. Folosirea Clipboard-ului. Puteți executa operațiuni **cut** și **copy** asupra unei selecții dintr-o fereastră **desktop** spre **clipboard** și apoi să executați paste în altă fereastră desktop. Folosiți meniul **Edit**, meniurile contextuale, sau prescurtările standard. De pildă, puteți executa **copy** asupra unei selecții de comenzi din **Command History window** și să executați **paste** în desktop. Articolul **Paste Special** din meniul **Edit** deschide selecția din clipboard în **Import Wizard**. O puteți folosi pentru a copia datele dintr-o altă aplicație, cum ar fi din Excel, în MATLAB.

Pentru a anula cea mai recentă execuție **cut**, **copy**, sau **paste**, selectați **Undo** din meniul **Edit**. Folosiți **Redo** pentru a executa din nou acele operațiuni (acțiune opusă lui **Undo**). Puteți deasemenea realiza **copierea prin draggarea selecției**. De pildă, dacă selectați ceva din **Command History window** și **dragați selecția în Command Window**, este echivalent cu execuția comenzii **paste**. Puteți în continuare să editați liniile în **Command Window**.

1.5.11. Proprietăți generale ale MATLAB Desktop. Puteți modifica proprietățile predefinite ale **MATLAB Desktop**, cum ar fi fontul utilizat în **Command Window**. Proprietățile rămân valabile pe durata sesiunii MATLAB. Unele ferestre vă permit controlul acestor aspecte din meniul propriu ferestrei respective. Pentru modificarea proprietăților selectați **Preferences** din meniul **File**. Cutia de dialog **Preferences** se deschide și permite modificarea proprietăților prin selecția tipului de proprietăți.

În exemplul de mai jos sunt modificate proprietățile **General**. Dacă apare un semn + în stânga articolului, **clicați** pe + pentru a afișa în detaliu articolele conținute, și apoi **selectați** articolul ale cărui proprietăți doriți să le modificați. Panelul din dreapta reflectă tipul de proprietăți pe care le-ați selectat. În panelul din dreapta specificați proprietățile dorite și **clicați** pe **OK**. Proprietățile se vor schimba imediat.

